



Departamento de Química Orgânica

Estudo fitoquímico da fração AcOEt do extrato etanólico das folhas de *Arrabidaea brachypoda* (DC) Bureau – Bignoniaceae e atividades antioxidante e inibitória da enzima mieloperoxidase das substâncias isoladas

Fernanda Garcia (Mestranda)

Orientadora: Profa. Dra. Vanderlan da Silva Bolzani Co-orientador: Prof. Dr. Cláudio Viegas Junior

Dissertação de Mestrado apresentada ao Instituto de Química – Campus de Araraquara da Universidade Estadual Paulista, como requisito para a obtenção do título de Mestre, no curso de pós-graduação em Química, área de concentração Química Orgânica.

Araraquara-2008

FICHA CATALOGRÁFICA

Garcia, Fernanda

G216e

Estudo fitoquímico da fração AcOEt do extrato etanólico das folhas de *Arrabidaea brachypoda* (DC) Bureau – Bignoniaceae e atividades antioxidante e inibitória da enzima mieloperoxidase das substâncias isoladas / Fernanda Garcia. - Araraquara : [s.n], 2008

100 f.: il.

Dissertação (mestrado) – Universidade Estadual Paulista, Instituto de Química

Orientador: Vanderlan da Silva Bolzani Co-orientador: Cláudio Viegas Júnior

1. Produtos Naturais. 2. Flavonóides. 3. Flavonóis. 4. Desreplicação. I. Título.

Elaboração: Serviço Técnico de Biblioteca e Documentação do Instituto de Química de Araraquara

Seção Técnica de Aquisição e Tratamento da Informação

FERNANDA GARCIA

Dissertação apresentada ao Instituto de Química, Universidade Estadual Paulista, como parte dos requisitos para obtenção do título de Mestre em Química.

Araraquara, 14 de março de 2008.

BANCA EXAMINADORA

Profa Dra Vanderlan da Silva Bolzani (Orientadora)

Instituto de Química - UNESP, Araraquara

Prof. Dr Wilson Roberto Cunha

Universidade de Franca - UNIFRAN, Franca

Dra Mary Ann Foglio

Universidade Estadual de Campinas - UNICAMP, Campinas

Dados Curriculares

Fernanda Garcia

1. Dados Pessoais

1.1 Nascimento: 13/10/1983

1.2 Nacionalidade: Brasileira

1.3 Naturalidade: Cosmópolis-SP

1.4 Estado Civil: Solteira

1.5 Filiação: Pai - Carlos André Garcia

Mãe - Ivonete de Fátima Garcia

1.6 Profissão: Química

2. Formação Acadêmica

2.1 Graduação: Bacharelado em Química Tecnológica

Data de Conclusão: 10/12/2005

Instituição: Instituto de Química de Araraquara - UNESP

2.2 Mestrado: Química, Área de Concentração - Química Orgânica

Data de Conclusão: 14/03/2008

Instituição: Instituto de Química de Araraquara – UNESP

3. Bolsas Concedidas

3.1 Bolsista do Grupo PET (Programa de Educação Tutorial). MEC-SESU. 2003 a 2005

3.2 Bolsista de Mestrado. CNPq. 04/2006 a 03/2008Título do projeto: Estudo fitoquímico de Arrabidaea brachypoda

4. Apresentação de Estágio Supervisionado

GARCIA, F. Estágio Curricular Supervisionado na Indústria Sucocítrico Cutrale, Araraquara, 2005.

5. Participação em Congressos e Eventos Científicos

Workshop Pós-Graduação em Química da SBQ - Regional Interior Paulista Waldemar Saffioti "Estratégias para maior entrosamento e fortalecimento dos Cursos de Pós-Graduação em Química do Interior Paulista". Instituto de Química – UNESP, Araraquara, 2006.

I Workshop "Pós-Graduação em Química: Formação de Recursos Humanos e Transferência de Tecnologia". Instituto de Química – UNESP, Araraquara, 2006.

PIVATTO, M.; GARCIA, F.; DANUELLO, A.; SERRANO, M. A. R.; LOPES, N. P.; YOUNG, M. C. M.; FURLAN, M.; BOLZANI, V. S. Screening for alkaloids and biological evaluation of *Senna/Cassia* species.). In: First Brazilian Conference on Natural Products, 2007, São Pedro-SP-Brasil.

GARCIA, F.; REGASINI, L. O.; FURLAN, M.; PAULETTI, P. M.; SILVA, D. H. S.; CASTRO-GAMBOA, I.; VIEGAS JÚNIOR, C.; BOLZANI, V. S.; BRANDÃO, L. T.; YOUNG, M. C. M. Two new flavonols from the leaves of *Arrabidaea brachypoda* (Bignoniaceae). In: First Brazilian Conference on Natural Products, 2007, São Pedro-SP-Brasil.

XXVII Annual Meeting on Micromolecular Evolution, Systematics and Ecology (RESEM)

6. Prêmios

Diploma de honra ao mérito de melhor aluno do curso de Bacharelado em Química Tecnológica no período de 2002 a 2005.

Dedico	esse	traba	lho
--------	------	-------	-----

à meu pai Carlos (In memorian).

"As pessoas têm estrelas que não são as mesmas; para uns, que víajam, as estrelas são guías; para outros, elas não passam de pequenas luzes; para outros, os sábios, são problemas; para o meu negociante, eram ouro, mas todas essas estrelas se calam. Tu, porém, terás estrelas como nínguém... Quando olhares o céu à noite, porque habitarei uma delas, porque numa delas estarei ríndo, então será como se todas as estrelas te ríssem! E tu terás estrelas que sabem rír! E quando te houveres consolado (a gente sempre se consola), tu te sentirás contente por me teres conhecido. Tu serás sempre meu amígo. Terás vontade de rír comígo. E abrirás às vezes a janela à toa, por gosto... E teus amígos ficarão espantados de ouvir-te rír olhando o céu. Tu explicarás então: "Sím, as estrelas, elas sempre me fazem rír!" E eles te julgarão maluco. Será uma peça que te prego..."

(Pequeno Príncipe – Antoine de Saint-Exupéry)

à minha mãe Ivonete:

"Me desespero a procurar Alguma forma de lhe falar Como é grande o meu amor por você Nunca se esqueça nem um segundo Que eu tenho o amor maior do mundo Como é grande o meu amor por você." (Roberto Carlos/Erasmo Carlos)

à minha irmã Juliana:

I was born a child of grace Nothing else about the place Everything was ugly but your beautiful face And it left me no illusion

> I saw you in the curve of the moon In the shadow cast across my room You heard me in my tune When I just heard confusion

> > All because of you All because of you All because of you I am... I am (Bono Vox)

Agradecimentos

À professora Dra. Vanderlan da Silva Bolzani pela orientação, pelo carinho e pela confiança depositada em mim.

Ao professor Dr. Cláudio Viegas pela atenção e co-orientação.

À professora Dra. Patrícia Pauletti pela ajuda dada em um momento decisivo do meu trabalho.

Aos funcionários do departamento de química orgânica, em especial Nivaldo e Albertinho pelo grande auxílio na realização deste trabalho.

Aos professores do departamento pela dedicação em transmitir o conhecimento e pela atenção.

Aos alunos do departamento de química orgânica que, direta ou indiretamente, contribuíram para a realização desse trabalho.

Aos meus amigos do NuBBE III Aline, Camila, Cristiano, Daniara, Fernando, Mike, Marília e Néia pelo apoio e carinho.

Aos meus amigos Amanda, Binha, Breno, Dani, Gra, Jana, Luis, Marina, Marcos, Nina pelo companheirismo, pelas loucuras e pela paciência. "Cada pessoa que passa em nossa vida, passa sozinha, é porque cada pessoa é única e nenhuma substitui a outra! Cada pessoa que passa em nossa vida passa sozinha e não nos deixa só porque deixa um pouco de si e leva um pouquinho de nós. Essa é a mais bela responsabilidade da vida e a prova de que as pessoas não se encontram por acaso." (Charles Chaplin)

À CNPq e FAPESP pelo suporte financeiro.

Sede como os pássaros que, ao pousarem um instante sobre ramos muito leves, sentem-nos ceder, mas cantam! Eles sabem que possuem asas. Victor Hugo

Resumo

O presente trabalho visou o estudo químico da *Arrabidaea brachypoda*, uma espécie pouco estudada, possuindo somente um registro de trabalho sobre o seu estudo químico na literatura. Primeiramente foi feito um trabalho de desreplicação dos extratos etanólicos dos caules, das folhas e das inflorescências em HPLC-DAD usando padrões de xantonas isoladas da *A. samydoides*. Observou-se que a espécie estudada não possuia xantonas como seus principais constituintes. A fração AcOEt do extrato etanólico das folhas forneceu dois flavonóis derivados de quercetina inéditos: arrabidosídeo A e arrabidosídeo B, além dos flavonóis rutina e isoquercitrina. A atividade antioxidante desses flavonóis frente ao radical DPPH foi avalidada e os valores de Cl_{50} foram: isoquercetrina 15,10 μ M, rutina 4,88 μ M, arrabidosídeo A 8,95 μ M e arrabidosídeo B 5,34 μ M. Além disso, essas substâncias foram ensaiadas para a atividade inibitória de mieloperoxidase (MPO). Os valores de Cl_{50} para essa atividade foram: isoquercetrina 3,75 nM, rutina 3,60 nM, arrabidosídeo A 1,80 nM e arrabidosídeo B 4,82 nM e mostraram o potencial antiinflamatório desses flavonóis.

Abstract

The scope of this work was the phytochemical study of *Arrabidaea brachypoda* with only one previous chemical study reported in the literature. Initially a dereplication method was applied to the barks, leaves and flowers ethanolic extracts using xanthones previously isolated from *A. samydoides* as standards. The crude extract of *A. brachypoda* did not show xanthones as major constituents. The AcOEt fraction obtained from leaves ethanolic extract yielded two new falvonols: arrabidoside A and arrabidoside B, along with isoquercitrin and rutin. The antioxidant activity of these flavonols was evaluated using DPPH and IC $_{50}$ values obtained were: isoquercitrin 15,10 μ M, rutin 4,88 μ M, arrabidoside A 8,95 μ M and arrabidoside B 5,34 μ M. Inhibitory activity of mieloperoxidase enzyme of the four flavonols was also evaluated. The values of IC $_{50}$ obtained were: isoquercitrin 3,75 nM, rutin 3,60 nM, arrabidoside A 1,80 nM and arrabidoside B 4,82 nM and showed de anti-inflammatory potential of these flavonols.

Índice

1.	Intro	dução	19
1.1	Far	nília Bignoniaceae	20
1.2	Gê	nero <i>Arrabidaea</i>	21
1.3	3 Arr	abidaea brachypoda	25
1.4	Fla	vonóides	26
1	.4.1	Estrutura e biossíntese de flavonóides	26
1	.4.2	Função dos flavonóides nas plantas	28
1	.4.3	Propriedades medicinais dos flavonóides	29
1	.4.4	Capacidade antioxidante dos flavonóides	29
1.5	5 Enz	zima mieloperoxidase (MPO)	31
2.	Objet	tivos	32
3.	Meto	dologia	32
3.1	Ins	trumentação	32
3.2	2 Col	eta e identificação do material vegetal	33
3.3	B Pre	paro dos extratos etanólicos brutos	33
3.4	Pre	paro das amostras para HPLC analítico	34
3.5	Pre	paro da fração AcOEt das folhas para análise em HPLC preparativo	34
3.6	Pre	paro de Fra3 e Fra8 para análise em HPLC preparativo	34
3.7	' Ativ	ridade antioxidante	34
3.8	8 Ativ	ridade inibidora da enzima mieloperoxidase (MPO)	35
4.	Resu	Itados e Discussões	36
4.1	Est	udo químico de A. brachypoda	36
4.2	2 Est	udo químico do extrato etanólico das folhas da A. brachypoda	43
4.3	Cai	racterização espectrométrica das substâncias de I – IV	47
4	.3.1	Substâncias I e II	47
4	.3.2	Substâncias III e IV	51
4.4	Pot	encial antioxidante dos flavonóis I – IV	58
4.5	5 Inib	oição da enzima mieloperoxidase (MPO)	59
5.	Cons	iderações finais	60
	Refe	rências	61
	Anex	ns	65

Lista de Figuras

Figura 1	Foto de um exemplar de <i>Arrabidaea</i> b <i>rachypoda</i>	25
Figura 2	Estrutura básica dos flavonóides	26
Figura 3	Esqueleto químico dos a) flavonóides principais; b) isoflavonóides;	
	c) neoflavonóides; d) flavonóides	27
Figura 4	Cromatograma do extrato etanólico das folhas; gradiente	
	$MeOH:H_2O,\ 5-100\%\ MeOH\ em\ 50\ min,\ solução\ 1,0\ mg/mL,\ fluxo$	
	1,0 mL/min, coluna Phenomenex LC ₁₈ 5 μ m, 250 x 4,6 mm, λ = 254	
	nm, injeção de 20 μL	36
Figura 5	Cromatograma do extrato etanólico das inflorescências; gradiente	
	$MeOH:H_2O,\ 5-100\%\ MeOH\ em\ 50\ min,\ solução\ 1,0\ mg/mL,\ fluxo$	
	1,0 mL/min, coluna Phenomenex LC ₁₈ 5 μ m, 250 x 4,6 mm, λ = 254	
	nm, injeção de 20 μL	36
Figura 6	Cromatograma do extrato etanólico dos caules; gradiente	
	MeOH:H ₂ O, 5-100% MeOH em 50 min, solução 1,0 mg/mL, fluxo	
	1,0 mL/min, coluna Phenomenex LC ₁₈ 5 μ m, 250 x 4,6 mm, λ = 254	
	nm, injeção de 20 μL	37
Figura 7	Espectros de absorção no UV dos picos com tempo de retenção	
	tr = 34,1 min e tr = 38,9 min, respectivamente	37
Figura 8	Comparação entre os cromatogramas dos extratos etanólicos das	
	folhas (vermelho), dos caules (azul) e das inflorescências (verde),	
	e da substância 10	38
Figura 9	Comparação entre os cromatogramas dos extratos etanólicos das	
	folhas (vermelho), dos caules (azul) e das inflorescências (verde),	
	e da substância 12	38
Figura 10	Comparação entre os cromatogramas dos extratos etanólicos das	
	folhas (vermelho), dos caules (azul) e das inflorescências (verde),	
	e da substância 13	39
Figura 11	Comparação entre os cromatogramas dos extratos etanólicos das	
	folhas (vermelho), dos caules (azul) e das inflorescências (verde),	
	e da substância 14	39
Figura 12	Comparação entre os cromatogramas dos extratos etanólicos das	
	folhas (vermelho), dos caules (azul) e das inflorescências (verde),	
	e da substância 16	40

Figura 13	Comparação entre os cromatogramas dos extratos etanólicos das	
	folhas (vermelho), dos caules (azul) e das inflorescências (verde),	
	e da substância 17	40
Figura 14	Espectros de absorção no UV dos padrões de xantonas.	41
Figura 15	Espectros de absorção no UV dos picos mais intensos do	
	cromatograma do extrato etanólico das folhas	42
Figura 16	Espectros de absorção no UV dos picos mais intensos do	
	cromatograma do extrato etanólico dos caules	42
Figura 17	Espectros de absorção no UV dos picos mais intensos do	
	cromatograma do extrato etanólico das inflorescências	42
Figura 18	Partição do extrato etanólico das folhas	43
Figura 19	Cromatograma da fração AcOEt; gradiente MeOH:H₂O, 5-100%	
	MeOH em 50 min; λ = 254 nm. Espectro de absorção no UV dos	
	picos 1 e 2	44
Figura 20	Cromatograma da fração AcOEt, HPLC analítico, fase móvel	
	MeOH:H ₂ O 0,1% HAc (52:48)	45
Figura 21	Cromatograma da fração AcOEt, HPLC preparativo, fase móvel	
	MeOH:H ₂ O 0,1% HAc (48:52)	45
Figura 22	Purificação das frações Fra3 e Fra8	46
Figura 23	Cromatograma de Fra3 nas condições usadas para a purificação	46
Figura 24	Cromatograma de Fra8 nas condições usadas para a purificação	47
Figura 25	Espectro de ESI-MS-MS do íon molecular 785 da substância III	54
Figura 26	Espectro de ESI-MS-MS do íon molecular 815 da substância IV	54
Figura 27	Espectro de absorção no UV da substância III	55
Figura 28	Espectro de absorção no UV da substância IV	55
Figura 29	Gráfico da curva de determinação da % de seqüestro de DPPH	58

Lista de Tabelas

Tabela 1.	Substâncias isoladas do gênero Arrabidaea	23
Tabela 2.	Massa do material seco e do extrato etanólico	34
Tabela 3.	Frações obtidas na separação em HPLC preparativo da fração	
	AcOEt das folhas	45
Tabela 4.	Dados de RMN de ¹ H (500 MHz) e RMN de ¹³ C (126 MHz) dos	
	flavonóis I e II (DMSO-d ₆)	50
Tabela 5.	Dados de RMN de ¹ H (500 MHz) e RMN de ¹³ C (126 MHz) do	
	arrabidosídeo A (DMSO-d ₆)	56
Tabela 6.	Dados de RMN de ¹ H (500 MHz) e RMN de ¹³ C (126 MHz) do	
	arrabidosídeo B (DMSO-d ₆)	57
Tabela 7.	Potencial antioxidante dos flavonóis I – IV frente ao radical DPPH	59
Tabela 8.	Atividade inibitória dos flavonóis $I - IV$ frente à enzima	
	mieloperoxidase	59

Lista de Anexos

Anexo 1.	Espectro de RMN de ¹ H de Fra3 (500 MHz – DMSO-d ₆)	66
Anexo 2.	Espectro de RMN de ¹ H de Fra5 (500 MHz – DMSO-d ₆)	66
Anexo 3.	Espectro de RMN ¹ H de Fra8 (500 MHz – DMSO-d ₆)	67
Anexo 4.	Ampliação do espectro de RMN ¹ H de Fra8 (δ 6,0–7,7; 500 MHz,	67
	DMSO- <i>d</i> ₆)	
Anexo 5.	Espectro de RMN de ¹ H do flavonol I (500 MHz – DMSO-d ₆)	68
Anexo 6.	Ampliação do espectro de RMN de ¹ H (δ 0–4,0) do flavonol I	68
Anexo 7.	Ampliação do espectro de RMN de 1 H (δ 5,4–7,7) do flavonol I	69
Anexo 8.	Espectro de RMN de 13 C do flavonol I (126 MHz – DMSO- d_6)	69
Anexo 9.	Ampliação do espectro de RMN de 13 C (δ 60–105) do flavonol I	70
Anexo 10.	Ampliação do espectro de RMN de 13 C (δ 115–80) do flavonol I	70
Anexo 11.	Espectro de RMN de ¹ H do flavonol II (500 MHz – DMSO-d ₆)	71
Anexo 12.	Ampliação do espectro de RMN (δ 2,5–4,0) de ¹ H do flavonol II	71
Anexo 13.	Ampliação do espectro de RMN de ¹ H (δ 4,0–7,6) do flavonol II	72
Anexo 14.	Espectro de RMN de ¹³ C do flavonol II (126 MHz – DMSO- <i>d</i> ₆)	72
Anexo 15.	Ampliação do espectro de RMN de 13 C (δ 65–105) do flavonol II	73
Anexo 16.	Ampliação do espectro de RMN de 13 C (δ 115–178) do flavonol II	73
Anexo 17.	Ampliação do mapa de contornos do g HMBC do flavonol ${f II}$	
	(500 MHz – DMSO- ₆)	74
Anexo 18.	Espectro de RMN de ¹ H do flavonol III (500 MHz–DMSO-d ₆)	74
Anexo 19.	Ampliação do espectro de RMN de ¹ H (δ 3,0–5,7) do flavonol III	75
Anexo 20.	Ampliação do espectro de RMN de ¹ H (δ 6,0-7,7) do flavonol III	75
Anexo 21.	Espectro de RMN de ¹³ C do flavonol III (126 MHz–DMSO- <i>d</i> ₆)	76
Anexo 22.	Ampliação do espectro de RMN de 13C (δ 55–77) do flavonol III	76
Anexo 23.	Ampliação do espectro de RMN de 13 C (δ 9 –126) do flavonol III	77
Anexo 24.	Ampliação do espectro de RMN de 13C (δ 130–180) do flavonol III	77
Anexo 25.	Mapa de contornos gHMQC do flavonol III (500 MHz–DMSO- d_6)	78
Anexo 26.	Ampliação do mapa de contornos g HMQC (δ 53–75) do flavonol III	78
Anexo 27.	Ampliação do mapa de contornos $gHMQC$ (δ 70–78) do flavonol III	79
Anexo 28.	Ampliação do mapa de contornos $gHMQC$ (δ 91–103) do flavonol	
	III	79

Anexo 29.	Ampliação do mapa de contornos <i>g</i> HMQC (δ 110–145) do flavonol	80
Anexo 30.	Mapa de contornos g HMBC do flavonol III (500 MHz–DMSO- d_6)	80
Anexo 31.	Ampliação do mapa de contornos gHMBC (δ 14–23) do flavonol III	81
Anexo 32.	Ampliação do mapa de contornos gHMBC (δ 40–75) do flavonol III	81
Anexo 33.	Ampliação do mapa de contornos gHMBC (δ 65–78) do flavonol III	82
Anexo 34.	Ampliação do mapa de contornos gHMBC (δ 145–175) do flavonol	
	III	82
Anexo 35.	Ampliação do mapa de contornos gHMBC (δ 90–106) do flavonol	
	III	83
Anexo 36.	Ampliação do mapa de contornos gHMBC (δ 124–142) do flavonol	
	III	83
Anexo 37.	Ampliação do mapa de contornos gHMBC (δ 110–128) do flavonol	
	III	84
Anexo 38.	Ampliação do mapa de contornos gHMBC (δ 140–152) do flavonol	
	III	84
Anexo 39.	Ampliação do mapa de contornos $gHMBC$ (δ 154–169) do flavonol	
	III	85
Anexo 40.	Mapa de contornos g COSY flavonol III (500 MHz - DMSO- d_6)	85
Anexo 41.	Ampliação do mapa de contornos g COSY (δ 0–3,8) do flavonol III	86
Anexo 42.	Ampliação do mapa de contornos g COSY (δ 4,0–7,8) do flavonol	
	III	86
Anexo 43.	Ampliação do mapa de contornos g COSY (δ 6,0–7,8) do flavonol	
		87
Anexo 44.	Espectro de DEPT 135 º do flavonol III (126 MHz - DMSO-d ₆)	87
Anexo 45.	Espectro de NOESY 1D δ_{H} 3,83 do flavonol III (500 MHz–DMSO-d ₆)	88
Anexo 46.	Espectro de HOMODEC (500 MHz – DMSO- d_6) de δ 5,60; δ 4,90,	
	δ 4,41, δ 3,49, δ 3,31, δ 3,21 e δ 3,10 do flavonol III	88
Anexo 47	Espectro de RMN de ¹ H do flavonol IV (500 MHz - DMSO- <i>d</i> ₆)	89
Anexo 48.	Ampliação do espectro de RMN de 1 H (δ 3,0–5,0) do flavonol IV	89
Anexo 49.	Ampliação do espectro de RMN de ^1H (δ 5,6–7,7) do flavonol IV	90
Anexo 50.	Espectro de RMN de ¹³ C do flavonol IV (126 MHz–DMSO- <i>d</i> ₆)	90
Anexo 51.	Ampliação do espectro de RMN de 13 C (δ 55–77) do flavonol IV	91

Anexo 52.	Ampliação do espectro de RMN de 13 C (δ 90–140) do flavonol IV
Anexo 53.	Ampliação do espectro de RMN de 13 C (δ 140–178) do flavonol IV
Anexo 54.	Mapa de contornos g HMQC do flavonol IV (500 MHz–DMSO- d_6)
Anexo 55.	Ampliação do mapa de contornos g HMQC (δ 66–77) do flavonol IV
Anexo 56.	Ampliação do mapa de contornos g HMQC (δ 65–79) do flavonol IV
Anexo 57.	Ampliação do mapa de contornos g HMQC (δ 90–130) do flavonol
	IV
Anexo 58.	Ampliação do mapa de contornos g HMQC (δ 90–145) do flavonol
	IV
Anexo 59.	Mapa de contornos gHMBC do flavonol IV (500 MHz-DMSO-d ₆)
Anexo 60.	Ampliação do mapa de contornos g HMBC (δ 62–5) do flavonol IV
Anexo 61.	Ampliação do mapa de contornos g HMBC (δ 64–80) do flavonol IV
Anexo 62.	Ampliação do mapa de contornos gHMBC(δ 130-170) do flavonol
	IV
Anexo 63.	Ampliação do mapa de contornos g HMBC (δ 90–125) do flavonol
	IV
Anexo 64.	Ampliação do mapa de contornos g HMBC (δ 135–170) do flavonol
	IV
Anexo 65.	Mapa de contornos gCOSY do flavonol IV (500 MHz–DMSO-d ₆)
Anexo 66.	Ampliação do mapa de contornos gCOSY (δ 3,0–5,8) do flavonol
	IV
Anexo 67.	Ampliação do mapa de contornos gCOSY (δ 6,0-7,8) do flavonol
	IV
Anexo 68.	Espectro de DEPT 135 º do flavonol IV (126 MHz–DMSO-d ₆)
Anexo 69.	Espectro de NOESY1D δ_H 3,80 do flavonol IV (500 MHz–DMSO-
	d ₆)

Símbolos e Abreviaturas

ACN - acetonitrila

DEPT - Diostortionless Enhancement by Polarization Transfer

DMSO-*d*₆ – dimetilsulfoxido deuterado

DPPH - 1,1 difenil -2-picril-hidrazila

ESI-MS – Electrospray Ionization – Mass Spectrometry

Fra - fração acetato de etila folhas Arrabidaea bracypoda

gHMQC - Gradient Heteronuclear Multiple Quantun Correlation

gHMBC - Gradient Heteronuclear Multiple Bond Correlation

gCOSY ¹H-¹H – Gradient Correlated Spectroscopy

HAc - ácido acético

HOMODEC - Homonuclear Decoupling

HPLC - High Performance Liquid Cromatography

MHz - megahertz

MPO - mieloperoxidase

NOESY 1D - Nuclear Overhauser Enhancement Espectroscopy

P.A. – para análise

RMN de ¹H – ressonância magnética nuclear de hidrogênio

RMN de ¹³C – ressonância magnética nuclear de carbono

δ_H – deslocamento químico de hidrogênio

 δ_{C} – deslocamento químico de carbono

d – dubleto

dd - duplo dubleto

sl - singleto largo

m - multipleto

J – constante de acoplamento

IV - infravermelho

UV - ultravioleta

Introdução

Mesmo com a falta de apoio das grandes indústrias farmacêuticas, os produtos naturais ainda mostram um impacto significativo no processo de descoberta de novos fármacos. Nesse contexto, 23 produtos naturais e derivados de produtos naturais foram lançados no mercado na Europa, no Japão e nos Estados Unidos desde 2001 a 2005. Além disso, um total de 136 produtos naturais e seus derivados foi submetido a vários estágios de testes clínicos para diversas finalidades terapêuticas (LAM, 2007).

O Brasil, com aproximadamente 22% de todas as angiospermas, possui a maior biodiversidade do planeta, mesmo contabilizando o alto índice de devastação que vem ocorrendo em todos os seus biomas. Apesar dessa enorme variedade de plantas, muitas das quais com aplicação medicinal, apenas uma pequena parcela teve algum estudo químico ou farmacológico. Assim, a exploração sustentável da biodiversidade brasileira, mesmo na era pós-genômica, é um tema recorrente e merece destaque na busca de novos fármacos (BOLZANI et al., 1999).

Desta forma, o estudo da flora paulista, em especial de espécies que acumulam substâncias bioativas já caracterizadas torna-se importante e estratégico na busca de modelos estruturais para o avanço da Química Medicinal (BOLZANI et al., 1999).

Nos últimos anos, o NuBBE (Núcleo de Bioensaios, Biossíntese e Ecofisiologia de Produtos Naturais) vem concentrando esforços na busca por substâncias com atividades antitumoral, antifúngica, antimalárica e antioxidante. Várias espécies coletadas nos biomas do Estado de São Paulo foram selecionadas devido a alguma atividade biológica apresentada constituindo-se uma extratoteca bastante representativa quanto ao número de extratos (aproximadamente 1780) (AGRIPINO et al., 2004; BOLZANI et al., 1999; PAULETTI, YOUNG, BOLZANI, 2003). Dentre as espécies selecionadas, *Arrabidaea samydoides* demonstrou especial interesse por acumular xantonas com forte atividade antioxidante (PAULETTI et al., 2003) e antimalárica (PAULETTI, 2004). Objetivando a continuidade das pesquisas com o gênero *Arrabidaea*, o presente trabalho visou a identificação de outras classes de metabólitos secundários na espécie *Arrabidaea brachypoda* de interesse do NuBBE. As plantas de Bignoniaceae apresentam uma variação química muito grande e o gênero *Arrabidaea* foi pouco estudado, tornando a busca de novos metabólitos promissora.

1.1 Família Bignoniaceae

A família Bignoniaceae é representada por mais de 100 gêneros e por volta de 800 espécies, é encontrada em regiões tropicais e a maioria de seus membros encontra-se dispersados pela América do Sul e África (CRONQUIST, 1981). As suas espécies encontradas, principalmente, em regiões do Cerrado, ecossistema típico do centro e do sudeste do Brasil. O Cerrado, hoje, é um ecossistema ameaçado devido à introdução de monoculturas e criações de gado nessa área durante as últimas três décadas. Ele representa o segundo maior bioma da América do Sul depois da floresta tropical e inicialmente cobria um quarto do território brasileiro (BLATT et al., 1998).

Os exemplos mais representativos dessa família são jacarandá (*Jacaranda brasiliana*) e ipês amarelo e roxo (*Tabebuia alba* e *T. avellanedaea*) pois são empregados na construção civil, carpintaria e confecção de instrumentos musicais; sendo também amplamente utilizados como ornamentais devido à beleza de suas florações (LORENZI, 1988). Na América do Sul, o ipê roxo é amplamente usado na medicina popular como fitoterápico na prevenção e tratamento do câncer (FUJIMOTO et al., 1991).

Os gêneros da família Bignoniaceae encontram-se agrupados em 7 tribos: Tecomeae Endl., Bignonieae Dumort, Crescentieae G. Don., Oroxyleae, Eccremorcarpeae Hogg, Tourrettieae G. Don. e Colleeaea. No Brasil ocorrem 56 gêneros e cerca 338 espécies incluindo muitos táxons endêmicos (GENTRY, 1980) e estas se encontram nas três primeiras tribos (VON POSER et al., 2000).

Os estudos químicos com Bignoniaceae demonstram uma diversidade grande de classes de metabólitos especiais entre os quais se incluem lignanas, flavonóides, iridóides, triterpenos, xantonas, naftoquinonas, ácidos cinâmicos e benzóicos e seus derivados. Os alcalóides são raramente encontrados, não se caracterizando como marcadores quimiotaxonômicos deste táxon (OLIVEIRA et al., 1990).

Um número de atividades biológicas vem sendo experimentalmente observado para os membros dessa família. No Brasil, as plantas desta família são usadas popularmente como adstringentes, antitérmicas e para tratar reumatismos, diarréias, câncer e infecções microbianas (OLIVEIRA et al., 1990; ROCHA et al., 2004).

1.2 Gênero Arrabidaea

É o maior gênero da tribo Bignonieae, com aproximadamente 100 espécies. Sua taxonomia é complexa, pois muitas características diagnósticas de *Arrabidaea* são compartilhadas com espécies de outros gêneros. É caracterizado pela inflorescência em panícula ou tirso multifloro, mas também podem ser encontradas espécies com racemos paucifloros. As flores têm corola rósea a roxa, raramente alva, mas nunca amarela. O gênero mais próximo morfologicamente é *Cuspidaria*, que se diferencia de *Arrabidaea* pelos lacínios do cálice, mais alongados (SILVA & QUEIROZ, 2003).

Existem poucos relatos de estudos químicos desse gênero na literatura e abaixo estão listadas algumas substâncias já descritas (Tabela 1).

 Tabela 1. Substâncias isoladas do gênero Arrabidaea.

Substância	Nome	Parte da	Espécie	Referência
		planta		
1	<i>trans</i> - hidroxiprolinobetaína	-	A. candidans	ADRIAN- ROMERO et al., 2007
2	isoverbascosídeo	cascas do caule	A. harleyi	LIMA et al., 2003
3	verbascosídeo	cascas do caule	A. harleyi	LIMA et al., 2003
4	6,7,3',4'-tetraidroxi- 5-metoxi-flavilium	folhas	A. chica	ZORN et al., 2001
5	carajurona	folhas	A. chica	ZORN et al., 2001
6	carajurina	folhas	A. chica	ZORN et al., 2001
7	6,7,3'-trihidroxi-5,4'- dimetoxi-flavilium	folhas	A. chica	ZORN et al., 2001
8	acacetina	folhas	A. chica	ZORN et al., 2001
9	alpinetina	folhas	A. triplinervia	LEITE et al., 2006
10	crisina	caules	A. samydoides	PAULETTI, YOUNG, BOLZANI, 2003
11	carajuflavona	folhas	A.chica	TAKEMURA et al., 1995
12	2-(2'- <i>O-trans</i> -cafeoil)- <i>C</i> - β-D-glicopiranosil- 1,3,6,7-	caules	A. samydoides	PAULETTI et al., 2003
13	tetraidroxixantona 2-(2'- <i>O-trans</i> -cinamoil)- <i>C</i> - β-D-glicopiranosil- 1,3,6,7- tetraidroxixantona	caules	A. samydoides	PAULETTI et al., 2003
14	2-(2'- <i>O-trans</i> -cumaroil)- <i>C</i> -β-D-glicopiranosil- 1,3,6,7- tetraidroxixantona	caules	A. samydoides	PAULETTI et al., 2003
15	2-(2'- <i>O</i> -benzoil)- <i>C</i> -β-D-glicopiranosil- 1,3,6,7-	caules	A. samydoides	PAULETTI et al., 2003
16	tetrahidroxixantona muraxantona	caules	A. samydoides	PAULETTI et
17	mangiferina	caules	A. samydoides	al., 2003 PAULETTI et al., 2003
18	ácido ursólico	folhas	A. triplinervia A.	LEITE et al., 2006; PAULETTI et
19	ácido pomólico	folhas	samydoides A. triplinervia	al., 2003 LEITE et al., 2006

Continuição da Tabela 1. Substâncias isoladas do gênero Arrabidaea.

Substância	Nome	Parte da Planta	Espécie	Referência
20	3β, 16α-diidroxi-olean-	caules	А.	PAULETTI,
	12-eno		samydoides	YOUNG,
				BOLZANI, 2003
21	eritrodiol	folhas	Α.	PAULETTI,
			samydoides	YOUNG,
				BOLZANI, 2003
22	ácido oleanólico	folhas	A. chica	ZORN et al.,
			Α.	2001, LEITE et
	_		samydoides	al., 2006
23	uvaol	folhas	Α.	PAULETTI,
			samydoides	YOUNG,
24	0 '1 1	•		BOLZANI, 2003
24	β-sitosterol	caules	A.	PAULETTI,
			samydoides	YOUNG,
05	L a. a. L		4	BOLZANI, 2003
25	lupeol	caules	A.	PAULETTI,
			samydoides	YOUNG,
06	a ati a ma a at a va l	aavilaa	Λ	BOLZANI, 2003
26	estigmasterol	caules	A.	PAULETTI,
			samydoides	YOUNG,
				BOLZANI, 2003

1.3 Espécie Arrabidaea brachypoda

A. brachypoda (Figura 1) pertence à tribo Bignonieae Dumort. É um arbusto nativo do Cerrado de até 0,70 cm de altura. Caracteriza-se pelas folhas simples e flores róseas-roxas em inflorescências terminais (SILVA & QUEIROZ, 2003).



Figura 1. Foto de um exemplar de Arrabidaea brachypoda.

A literatura descreve apenas um estudo químico dessa espécie o qual relata a composição flavonoídica da cera epicuticular das folhas (ALCERITO et al., 2002):

1.4 Flavonóides

O metabolismo fenilpropanoídico transforma fenilalanina em uma variedade de micromoléculas importantes, incluindo lignanas, ésteres derivados do ácido sinápico, estilbenos e flavonóides. Essas micromoléculas dão origem a um grande número de metabólitos especiais das plantas, compostos esses não requeridos para o crescimento e desenvolvimento normais, através de caminhos metabólicos comuns a todas as plantas. É esperado que exista entre 50.000 e 100.000 produtos de metabólitos especiais de plantas, e aproximadamente 20% do carbono fixado pela fotossíntese é direcionado para via dos fenilpropanóides, gerando a maioria das substâncias fenólicas encontradas na natureza, incluindo os flavonóides. Os flavonóides constituem a maior classe de grupos de produtos naturais. Muito do interesse crescente em flavonóides deve-se às propriedades medicinais que eles possuem com respeito à saúde humana (VERVERIDIS et al., 2007).

1.4.1 Estrutura e biossíntese de flavonóides

A estrutura básica de um flavonóide consiste de 15 átomos de carbono arranjados em três anéis ($C_6 - C_3 - C_6$), que são denominados A, C e B (Figura 2). Entre as muitas subclasses de flavonóides estão as flavonas, as flavanonas, as isoflavonas, os flavonóis, as flavan-3-óis, as antocianidinas, as biflavonas, as chalconas, as auronas e as cumarinas. Taninos hidrolisáveis, proantocianidinas, (oligômeros de flavan-3-óis), derivados do ácido cafeico e lignanas são todos compostos fenólicos e são classificados separadamente (PIETTA, 2000).

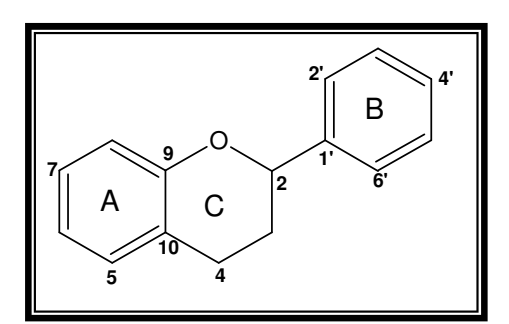


Figura 2. Estrutura básica dos flavonóides

Dependendo da posição da ligação do anel B ao anel C, o grupo flavonóide pode ser dividido em 4 classes:

- > Flavonóides principais
- Isoflavonóides
- Neoflavonóides
- > Flavonóides minoritários

O termo secundário é usado somente para distinguir casos em que a estrutura básica do flavonóide não é mantida como nas chalconas (anel C aberto) ou auronas (anel C substituído por um anel de 5 carbonos) (VERVERIDIS et al., 2007).

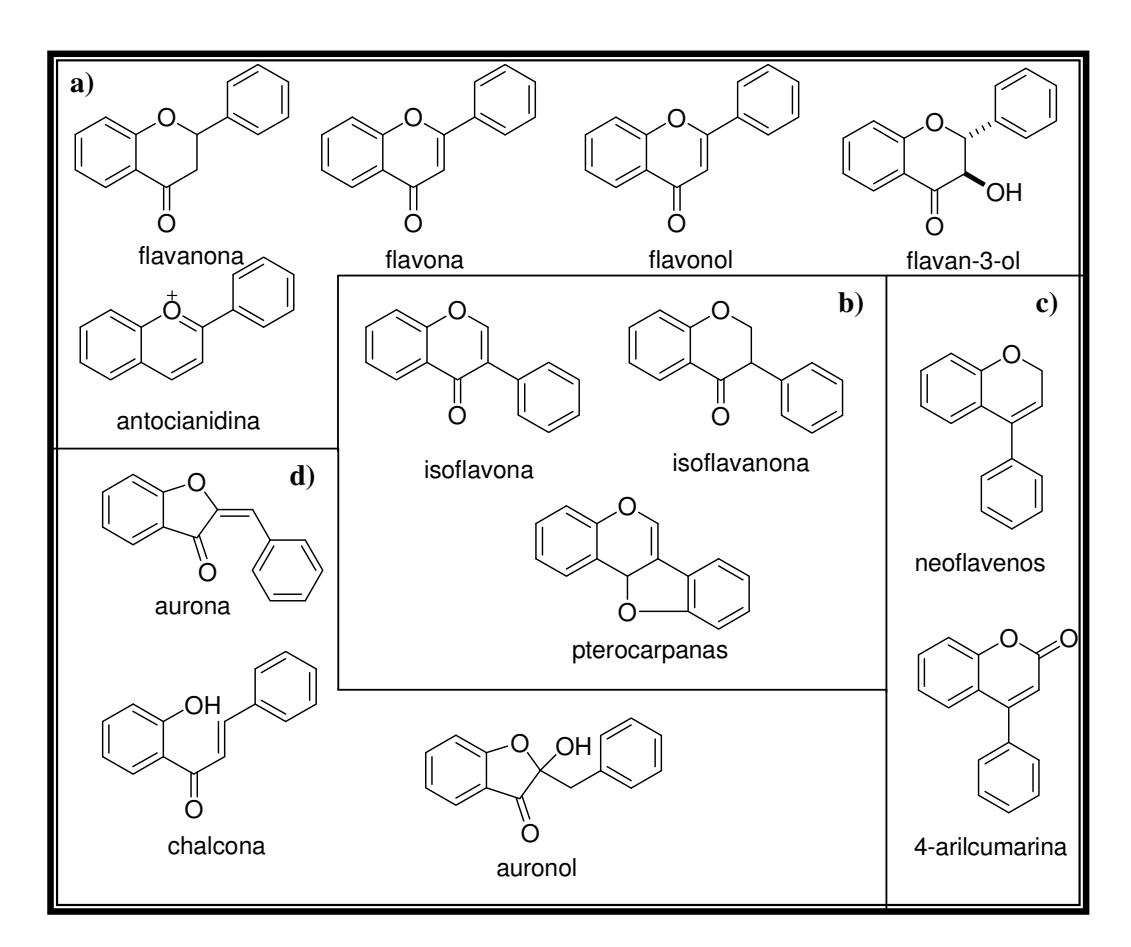


Figura 3. Esqueleto químico dos: a) flavonóides principais; b) isoflavonóides; c) neoflavonóides e d) flavonóides minoritários.

A maioria desses grupos compartilha um precursor chalcônico comum e por isso são biogeneticamente e estruturalmente relacionados. Eles diferem entre si pela saturação no anel C, na locação do anel B nas posições C-2, C-3, C-4 e no padrão de hidroxilação. Flavonóides podem ser modificados por hidroxilação, metoxilação, ou *O*-e *C*-glicosilações. Além disso, grupos prenila (isoprenilas, geranilas e farnesilas) podem se ligar covalentemente ao flavonóide e anéis adicionais podem ser conectados ao esqueleto básico do flavonóide. Flavonóides glicosilados podem ser acilados por moléculas alifáticas ou de ácidos aromáticos (VERVERIDIS et al., 2007).

Em plantas, os flavonóides apresentam-se glicosilados. O fato dos flavonóides serem encontrados em formas combinadas, geralmente como glicosídeos, sugere que a combinação com esses compostos é parte importante na economia da planta, pelo menos porque os glicosídeos possuem uma solubilidade maior e maior mobilidade que as agliconas. O armazenamento desses fenólicos na forma glicosídica pode bem ser um método das plantas para que esses compostos não interfiram em certos mecanismos celulares vitais (VERVERIDIS et al., 2007).

Apesar de a forma glicosilada ser a mais comum, flavonóides também são acumulados na forma de agliconas. Outro grupo de flavonóides substituídos é o de flavonóides sulfatados, que é, aparentemente, restrito a certas espécies de plantas (VERVERIDIS et al., 2007).

Esses compostos são biossintetizados a partir dos aminoácidos aromáticos fenilalanina e tirosina, e também do malonato (HAHLBROCK, 1981). O anel B e parte do anel heterocíclico do esqueleto do flavonóide provém de 4-cumaroil-CoA enquanto que o anel A origina-se a partir de três unidades de acetato-malonato. A enzima chave para a formação do esqueleto do flavonóide é a chalcona sintetase, que catalisa a etapa de condensação das três unidades de acetado da via do malonato com 4-cumaroil-CoA formando um intermediário com 15 átomos de carbono (2',4',6',4-tetraidroxichalcona) (HARBORNE, 1994).

1.4.2 Função dos flavonóides nas plantas

Estas substâncias têm papéis diferentes na ecologia das plantas. Devido a suas cores atraentes, flavonas, flavonóis e antocianidinas atuam como sinalizadores visuais para agentes polinizadores. Por causa da adstringência, catequinas e outros flavonóis podem representar um sistema de defesa contra parasitas. Flavonóides atuam como catalisadores na fase luminosa da fotossíntese e/ou como reguladores do canal de ferro envolvido na fosforilação (PIETTA, 2000). Eles também podem funcionar como protetores contra o estresse oxidativo nas células das plantas

seqüestrando espécies reativas de oxigênio (EROS) produzidas pelo sistema de transporte eletrônico fotossintético (HARBORNE, 1994). Além disso, por causa de sua capacidade de absorção na faixa do UV, flavonóides protegem as plantas contra radiação solar e seqüestra as EROS gerados por essa radiação (PIETTA, 2000).

Além disso, muitos flavonóides como também outros fenólicos, são potencialmente citotóxicos e possuem atividade antimicrobiana. Por essas razões, eles são estocados nas plantas ligados à açúcares, sulfatos ou ambos, nos vacúolos como formas hidrossolúveis (VERVERIDIS et al., 2007).

1.4.3 Propriedades medicinais dos flavonóides

Nos últimos anos, o interesse pelas propriedades farmacológicas destas substâncias tem crescido bastante. Estudos com flavonóides mostraram um amplo espectro de ações biológicas, como antiviral, antiinflamatória, propriedades antialérgicas, efeitos cardioprotetores e anticarcinogênicos. A maioria dessas atividades está relacionada à capacidade antioxidante e quelante dos flavonóides (PIETTA, 2000).

1.4.4 Capacidade antioxidante dos flavonóides

Dentre as atividades medicinais mais investigadas pela literatura, destaca-se a capacidade dos flavonóides de seqüestrar espécies reativas de oxigênio (EROS). Apesar dessa atividade ser intensamente descrita, os flavonóides vem ganhando maior notoriedade devido aos impactos das EROS e dos processos de oxidação na espécie humana e no metabolismo e fisiologia das plantas (REDDY et al., 2007)

A oxidação é a transferência de elétrons de um átomo para outro e representa uma parte essencial da vida aeróbica e do metabolismo, uma vez que o oxigênio molecular é o último receptor de elétrons no sistema de fluxo eletrônico que produz energia na forma de ATP. Porém, podem surgir problemas quando o fluxo eletrônico se torna desacoplado (transferência de um único elétron desemparelhado), gerando radicais livres. Exemplos de radicais livres conhecidos como espécies reativas de oxigênio (EROS) são o superóxido (O2), peroxila (ROO), alcoxila (RO), hidroxila (OH) e óxido nítrico (NO) (PIETTA, 2000). Os radicais livres hidroxila e alcoxila são muito reativos e rapidamente reagem com moléculas em células próximas, e provavelmente causam danos intensos nas estruturas celulares. Por outro lado, o ânion superóxido, lipídeos hidroxiperoxidases e oxido nítrico são menos reativos. Além disso, em organismos vivos existem outras EROS que não são radicais como oxigênio

singlete (${}^{1}O_{2}$), peróxido de hidrogênio ($H_{2}O_{2}$) e ácido hipocloroso (HOCI) (PIETTA, 2000).

As EROS possuem diferentes papéis nos organismos vivos. Alguns são positivos e estão relacionados aos seus envolvimentos com a produção de energia, fagocitose, regulação do crescimento da célula e sinalização intercelular, e síntese de compostos biológicos importantes. No entanto, as EROS podem ser muito prejudiciais sendo que elas podem reagir com lipídeos da membrana celular, proteínas e consequentemente induzir danos nessas moléculas, carboidratos, DNA e lipoproteínas. Essas injúrias oxidativas acreditam-se serem responsáveis pelo envelhecimento precoce e muitas doenças degenerativas cardiológicas, catarata, deficiências cognitivas como Doença de Alzheimer e câncer (PIETTA, 2000).

Uma definição ampla para o termo antioxidante é: "uma substância que, quando presente em baixas concentrações, comparada ao substrato oxidável (que inclui várias substâncias encontradas em tecidos vivos, incluindo proteínas, lipídeos, carboidratos e ácidos nucléicos), impede ou previne, significamente, a oxidação desse substrato" (VANNUCCHI, 1998).

Os principais meios biológicos de defesa antioxidantes podem ser divididos em três grupos: antioxidantes enzimáticos, antioxidantes não enzimáticos e proteínas ligadoras de metais. Os sistemas enzimáticos envolvem as enzimas redutase e oxidase da glutationa, particularmente a glutationa peroxidase, a superóxido dismutase e a catalase, que converte peróxido de hidrogênio em água e oxigênio molecular. A proteção não-enzimática por pequenas moléculas, dentre as quais as mais utilizadas são glutationa, ubiquinona, ácido úrico, bilirrubina, NADPH e NADH, flavonóides, vitamina C, vitamina E e carotenóides. Entre as proteínas ligadoras de metais podemos citar ceruloplasmina (cobre), metalotioneína (cobre), albumina (cobre), transferrina (ferro), ferritina (ferro) e a mioglobina (ferro) (YEN et al., 2001).

Está bem estabelecido que a capacidade que alguns flavonóides exercem na inibição de radicais livres depende do arranjo dos substituintes nas suas estruturas. Algumas propriedades de proteção contra o estresse oxidativo são reportadas como sendo dependente da estrutura e relacionadas à presença de um grupo catecol no anel B (hidroxilação em C-3' e C-4', propriedade de doação de próton), resultando na estabilidade da espécie reativa; à química do anel C, particularmente a presença do grupo carbonila em C-4 em conjugação com uma insaturação situada ente os carbonos C-2 e C-3 ou à presença de hidroxilas nas posições 3 e 5 ou outro grupo funcional na posição C-3 resultante da esterificação da hidroxila em C-3 com o ácido gálico em conjugação com a insaturação em C-2 e C-3 favorecendo a quelação de metais e impedindo a catálise das reações dos radicais livres. Flavonóis e flavonas

possuem quase todas essas características e são abundantes em plantas. Isto é exemplificado pela quercetina que satisfaz todos os critérios acima, possuindo uma das atividades antioxidantes mais potentes entre os flavonóides. No entanto, se a hidroxila em C-3 estiver glicosilada como no caso da rutina a atividade seqüestradora de radicais livres é reduzida à 50%. Outros flavonóides candidatos a antioxidantes são os galatos de catequinas e as hidroxiflavonas. Antocianidinas, precursores de antocianinas, cianidinas e delfinidinas estruturalmente apresentam a maioria dos critérios citados acima e desmonstraram possuir um grande potencial antioxidante (VERVERIDIS et al., 2007).

1.5 Enzima mieloperoxidase (MPO)

A mieloperoxidase é uma enzima catiônica em pH fisiológico e, desta maneira, é capaz de se ligar a estruturas biológicas aniônicas, tais como: fosfolipídeos de membranas celulares. Esta enzima, também, catalisa a geração de HOCI, biomolécula que promove injúria celular (WEISS, 1989; eq. 1, eq. 2).

Cl' +
$$H_2O_2$$
 MPO Cl' + H^+ + H_2O (pH > pKa) eq. 1

Cl' + H_2O_2 MPO HOCl + H_2O (pH < pKa) eq.2

O HOCI pode ser considerado como o agente oxidante mais abundante gerado por leucócitos do sangue. O ácido hipocloroso é um agente oxidante extremamente reativo. Além de atacar biomoléculas de grande importância fisiológica, tais como: tióis, tioéteres, aminas, aminoácidos, nucleotídeos e ascorbato, ele é capaz de gerar outras EROS, tais como: oxigênio singlete e radical hidroxila, através de uma reação com peróxido de hidrogênio e ânion superóxido, respectivamente (WEISS, 1989).

A literatura correlaciona a injúria oxidativa promovida por MPO e HOCI com inúmeros processos inflamatórios, tais como: artrite reumatóide, fibrose cística, doença inflamatória intestinal, injúria pulmonar neonatal, etc (EDWARDS & HALLETT, 1997; DHANESHWAR et al., 2006). A mieloperoxidase foi encontrada em lesões de aterosclerose humana (DAUGHERTY et al., 1994), sugerindo, assim, possuir função de agente oxidante clorado nos processos aterogênicos (LAPENNA & CUCCURULLO, 1996). Neste contexto, o HOCI pode modificar, por oxidação, lipoproteínas de baixa densidade para uma forma aterogênica, principal causa dos problemas vasculares. Aparentemente, ocorre a oxidação de resíduos de lisina da apoproteína B-100, constituinte da lipoproteína (HAZELL & STOCKER, 1993; HAZELL et al., 1994).

Apesar da MPO catalisar a formação de um importante microbicida (HOCI), indivíduos deficientes em MPO não apresentam maiores comprometimentos, a não ser uma aparente susceptibilidade à infecções fúngicas (SILVA, 2001). Dessa forma, a busca por inibidores de MPO a partir de fontes naturais torna-se de grande valia na descoberta de agentes antiinflamatórios, bem como no desenvolvimento de novas estratégias terapêuticas.

2. Objetivos

- avaliação do perfil de metabólitos secundários via High Performance Liquid Cromatography (HPLC) das frações obtidas para posterior estudo de desreplicação, uma das metas atuais do NuBBE.
- estudo químico de A. brachypoda, visando o isolamento e a determinação estrutural de substâncias fenólicas polares para posterior avaliação do efeito antitumoral, antimalárico, antioxidante e antifúngico visando contribuir com o projeto "Conservation and sustainable use of plant diversity from Cerrado and Atlantic forest: chemical diversity and prospection for potential drugs" (Programa Biota-FAPESP).

3. Metodologia

3.1 Instrumentação

- Os solventes utilizados foram da marca Merck ou Synth de qualidade P.A. e grau HPLC para as análises em HPLC;
- As concentrações das soluções foram efetuadas em rota-evaporador Büchi-RE 121 sob pressão reduzida;
- Cromatógrafo líquido da marca Varian ProStar®, consistindo de uma bomba ternária modelo 240, um detector de arranjo de diodo modelo 330 e um injetor automático modelo 410, controlados pelo programa Star Chromatography Workstation versão 5.3. A coluna utilizada foi Phenomenex LC₁₈ 5 μm, 250 x 4,6 mm;
- Cromatógrafo líquido da marca Varian ProStar® analítico, consistindo de uma bomba ternária modelo 310, um detector UV-visível modelo 233 controlados pelo programa Star Chromatography Workstation versão 5.3;

- injetor manual da marca Rheodyne modelo 7725i. A coluna utilizada foi Synergi Hydro RP, 4 μm, 80Å, 250 x 4,6 mm, fluxo de 1,0 mL/min;
- Cromatógrafo líquido da marca Varian PrepStar® preparativo, consistindo de duas bombas modelo SD-1, um detector UV-visível da marca ProStar modelo 320, controlados pelo programa Star Chromatography Workstation versão 5.3; injetor manual da marca Rheodyne modelo 7725i. A coluna utilizada foi Synergi Hydro RP Axia Packed, 4 μm, 80 Å, 100 x 21,2 mm, fluxo de 8,5 mL/min;
- \succ Todas as análises nos cromatógrafos líquidos foram feitas com $\lambda = 254$ nm, exceto no cromatógrafo líquido com detector de arranjo de diodo;
- Espectrômetro de massas de alta resolução ESI-TOF, modelo ultrOTOF_Q (Bruker Daltonics®, Billerica, MA, EUA), bomba de infusão, fluxo de 100 μL/h. Fase móvel utilizada para a solubilização da amostra foi MeOH. Os dados de massa foram adquiridos no modo negativo.
- ➤ Espectrômetro de RMN Varian INOVA 500 (11,7 Tesla), operando em freqüência de 500 MHz para os núcleos de hidrogênio e 126 MHz para o carbono.

3.2 Coleta e identificação do material vegetal

O material botânico (folhas, caules e inflorescências) foi coletado em Assis – SP em fevereiro de 2006, identificado pela Dra. Inês Cordeiro e sua exsicata (col. Brumati 40) foi depositada no Herbário do Instituto de Botânica de São Paulo, São Paulo. Este material foi seco em estufa a 40°C, pulverizado em moinho de facas e armazenado no NuBBE.

3.3 Preparo dos extratos etanólicos brutos

O material pulverizado foi submetido à extração exaustiva com etanol. Depois, fez-se a concentração do solvente a pressão reduzida obtendo o extrato etanólico das folhas, dos caules e das inflorescências (Tabela 2).

Tabela 2. Massa do material seco e do extrato etanólico.

Parte da Planta	Massa material seco (g)	Massa extrato bruto (g)	Rendimento
Folhas	39,9	6,00	15%
Caules	54,7	1,62	3%
Inflorescências	8,61	1,23	14%

3.4. Preparo das amostras para HPLC analítico

O pré-tratamento das amostras que foram analisadas em HPLC foi feito com um cartucho de C_{18} da marca J.T.Baker®. As amostras foram solubilizadas em MeOH, passadas pelo cartucho e secas. Depois, as amostras foram solubilizadas em MeOH de modo a ter-se uma solução de concentração entre 1 a 5 mg/mL. Essa solução foi filtrada em uma seringa adaptada com uma membrana de politetrafluoroetileno (PTFE), diâmetro de poro de 0,45 μ m da marca Gelman®, coletando o filtrado em frasco de 1.5 mL.

3.5 Preparo da fração AcOEt das folhas para análise em HPLC preparativo

Para o pré-tratamento da fração, 1,00g da mesma foi solubilizada em MeOH e depois eluida em um cartucho de C₁₈ da marca J.T.Baker®. Depois de seca, a fração foi solubilizada na fase móvel utilizada na análise até concentração de 100 mg/mL e em seguida, foi feita uma filtração utilizando um sistema constituído de uma seringa adaptada com uma membrana de politetrafluoroetileno (PTFE), diâmetro de poro de 0,45 μm da marca Gelman®.

3.6 Preparo de Fra3 e Fra8 para análise em HPLC preparativo

As duas frações foram solubilizadas na fase móvel que foi utilizada na análise de modo a se preparar um solução 10 mg/mL. Em seguida, foram filtradas com seringa adaptada com uma membrana de politetrafluoroetileno (PFTE), diâmetro de poro de 0,45 µm da marca Gelman®.

3.7 Atividade antioxidante

A solução de DPPH (200 μ M) foi preparada em metanol. Para as substâncias que foram testadas e para o controle positivo (quercetina) foram preparadas soluções

de 1 mg/mL em metanol e depois essas soluções foram diluídas para as seguintes concentrações: 100, 80, 40, 20, 10 e 5 μ M. Em uma placa de 96 poços foi adicionada uma alíquota de 100 μ L de cada solução em triplicata e depois foi adicionado 200 μ L de DPPH. Essa placa foi mantida durante 30 min no escuro e depois a absorbância foi medida no espectrofotômetro Bio-TEK® leitor de microplacas. A avaliação da forma reduzida do DPPH gerado foi determinada através da diminuição da absorbância a 517nm:

Fórmula: % de següestro do radical livre estável DPPH.

 $\% = \frac{(absorb \hat{a}ncia\ do\ controle\ DPPH-absorb \hat{a}ncia\ da\ amostra\ teste\ ou\ controle\ positivo)}{absorb \hat{a}ncia\ do\ controle\ DPPH}$

3.8 Atividade inibidora da enzima mieloperoxidase (MPO)

O ensaio envolvendo a inibição de mieloperoxidase foi desenvolvido no Laboratório de Bioquímica, Departamento de Bioquímica e Tecnologia do Instituto de Química, UNESP-Araraquara, sob supervisão da Profa. Dra. Olga Mascarenhas. O ensaio de inibição sobre mieoloperoxidase (MPO) foi realizado em uma cubeta para espectrofotômetro, onde foram adicionados tampão fosfato de sódio (50 mM, pH = 7,4), guaiacol (70 mM), as substâncias dissolvidas em etanol e MPO (8 nM). A reação enzimática foi iniciada com a adição de peróxido de hidrogênio (0,3 mM) e logo realizou-se a primeira leitura da absorbância em 470 nm, sendo repetido esse processo a cada 5 segundos durante um minuto, determinando-se a velocidade inicial (v_o). Para isso, v_o foi calculada por meio da plotagem de um gráfico produto formado *versus* tempo de reação (v_o = A/t) foi comparada frente a diferentes concentrações das substâncias testadas por meio da construção de gráficos que correlacionam concentração *versus* resposta. Esse ensaio tem como princípio a oxidação do guaiacol na presença de peróxido de hidrogênio (CAPEILLÈRE-BLANDIN, 1998).

4. Resultados e Discussões

4.1 Estudo químico da A. brachypoda

Primeiramente foi feita uma análise exploratória em HPLC com detector de arranjo de diodos (DAD) do extrato etanólico das folhas, dos caules e das inflorescências da *A. brachypoda* (Figura 4 – 6).

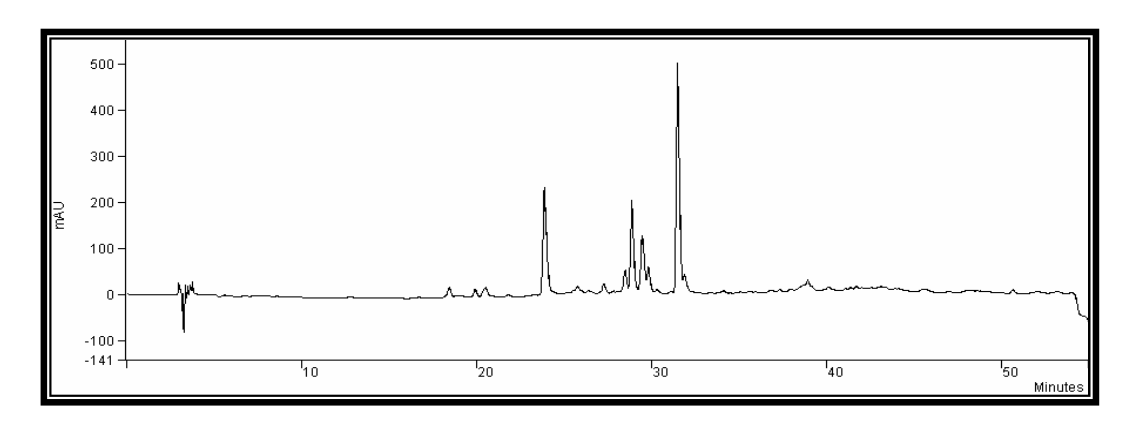


Figura 4. Cromatograma do extrato etanólico das folhas; gradiente MeOH: H_2O , 5-100% MeOH em 50 min, solução 1 mg/mL, fluxo de 1 mL/min, coluna Phenomenex LC₁₈ 5 μ m, 250 x 4,6 mm, λ = 254 nm, injeção de 20 μ L.

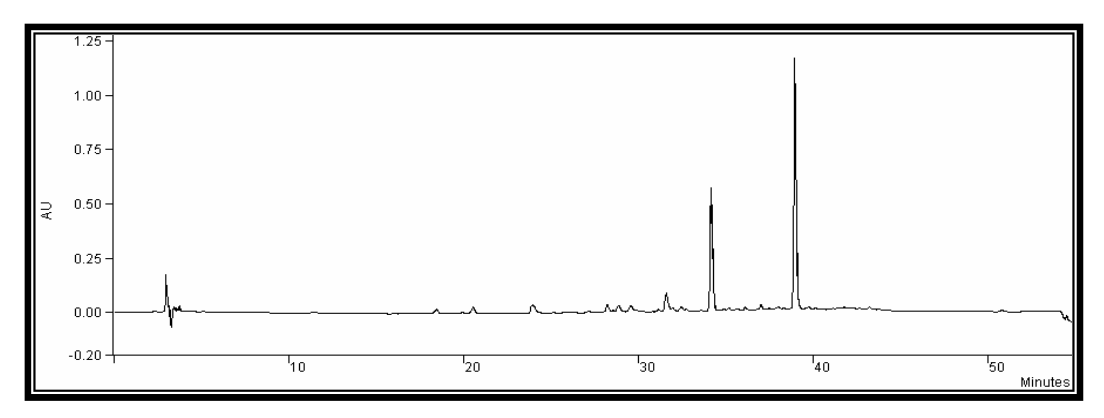


Figura 5. Cromatograma do extrato etanólico da inflorescência; gradiente MeOH: H_2O , 5-100% MeOH em 50 min, solução 1 mg/mL, fluxo de 1 mL/min, coluna Phenomenex LC₁₈ 5 μ m, 250 x 4,6 mm, λ = 254 nm, injeção de 20 μ L.

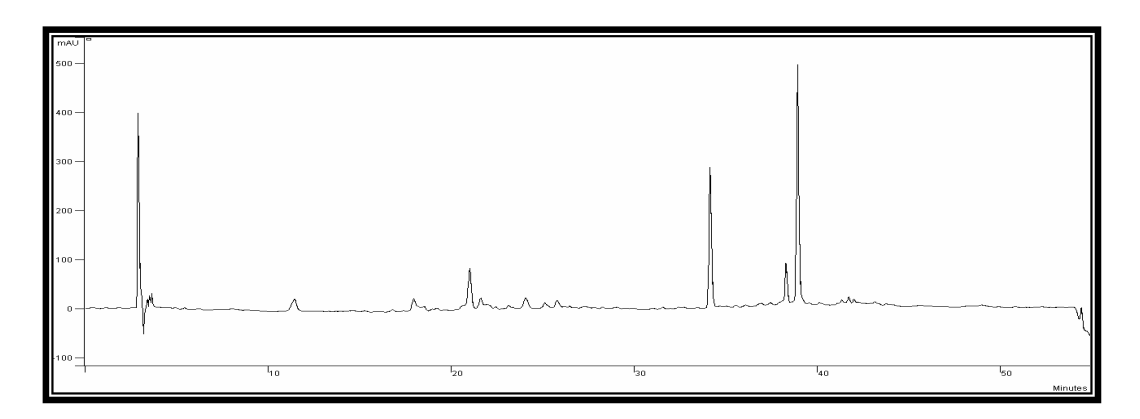


Figura 6. Cromatograma do extrato etanólico do caule; gradiente MeOH: H_2O , 5-100% MeOH em 50 min, solução 1 mg/mL, fluxo de 1 mL/min, coluna Phenomenex LC₁₈ 5 μ m, 250 x 4,6 mm, λ = 254 nm, , injeção de 20 μ L.

Observou-se que os perfis dos extratos do caule e da inflorescência eram muito parecidos e que apresentavam dois picos significantes com os mesmos tempos de retenção (34,1min e 38,9 min). O espectro de absorção no UV (Figura 7) indicou que podiam ser as mesmas substâncias.

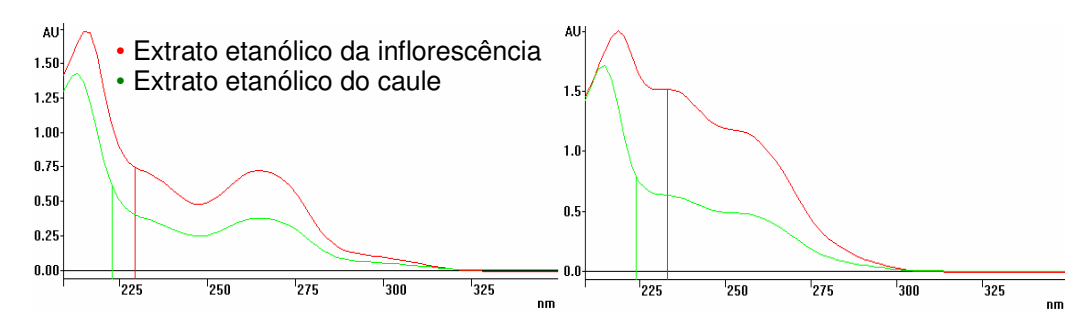


Figura 7. Espectros de absorção no UV dos picos com tempo de retenção tr = 34,1 min e tr = 38,9 min, respectivamente.

Logo em seguida, foram analisados em HPLC-DAD os padrões isolados da *A. samydoides* (substâncias **10**, **12**, **13**, **14**, **16** e **17**) nas mesmas condições em que foram obtidos os cromatogramas acima para que se pudesse comparar os espectros de absorção no UV dos picos com mesmo tempo de retenção dos extratos e dos padrões para analisar a composição do extrato (Figuras 8 – 13). Se existissem picos com mesmo tempo de retenção e, os espectros de absorção no UV fossem iguais, seria usada a técnica de espectrometria de massas para ver se as massas eram as mesmas e assim concluir se eram as mesmas substâncias, fazendo um pequeno trabalho de desreplicação.

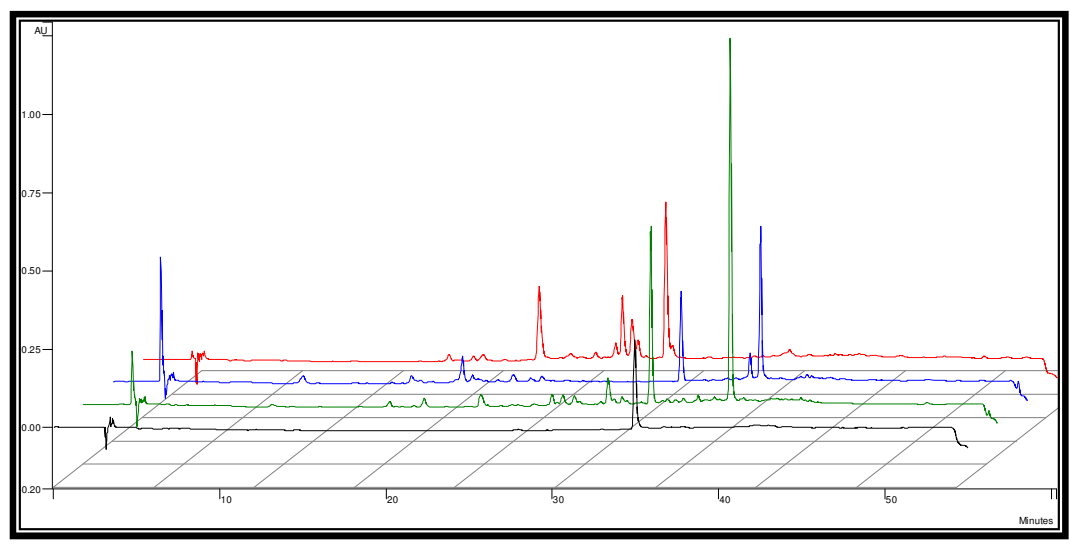


Figura 8. Comparação entre os cromatogramas dos extratos etanólicos das folhas (vermelho), dos caules (amarelo) e das inflorescências (verde), e da substância **10**.

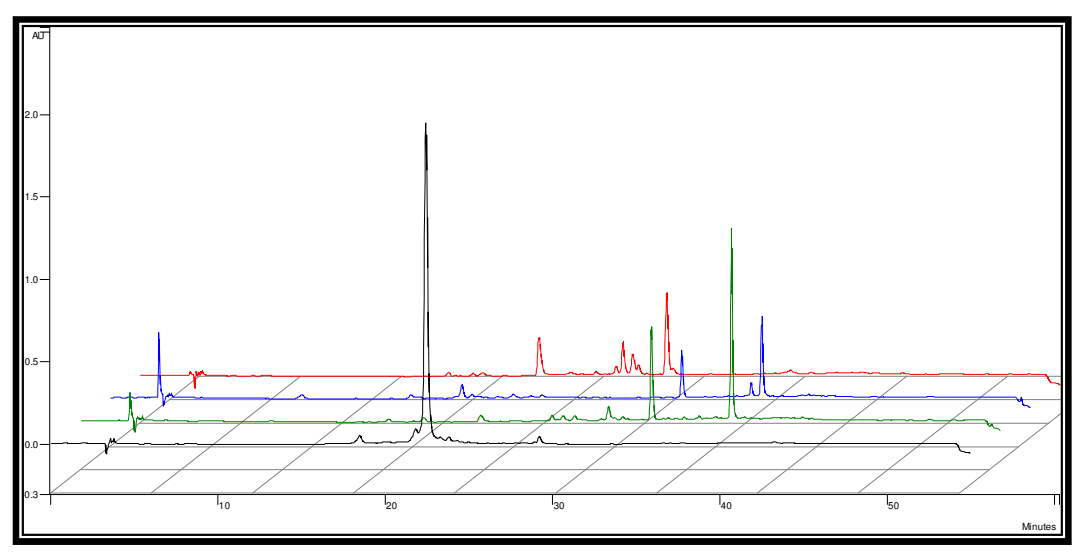


Figura 9. Comparação entre os cromatogramas dos extratos etanólicos das folhas (vermelho), dos caules (amarelo) e das inflorescências (verde), e da substância **12**.

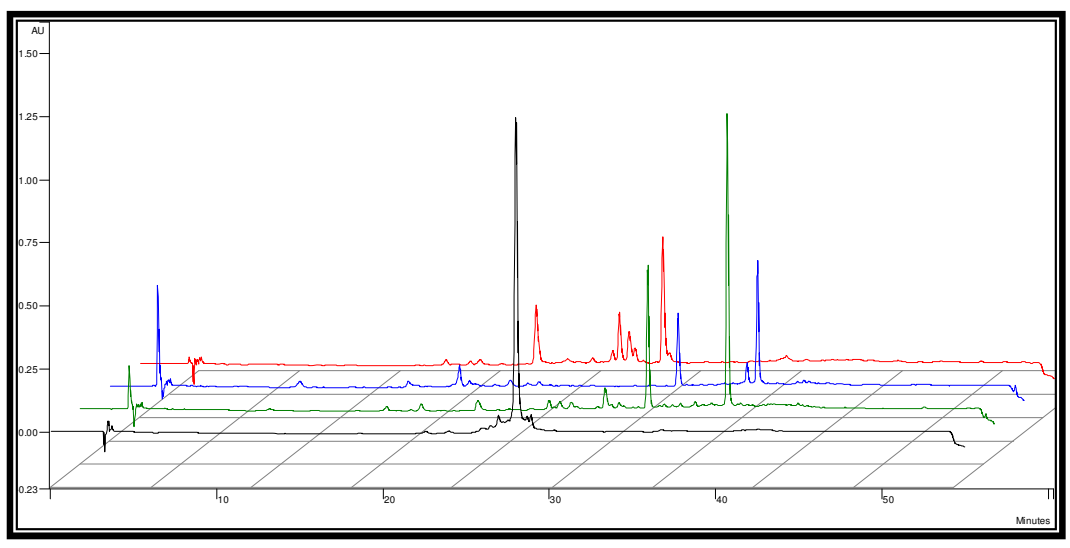


Figura 10. Comparação entre os cromatogramas dos extratos etanólicos das folhas (vermelho), dos caules (amarelo) e das inflorescências (verde), e das substâncias **13**.

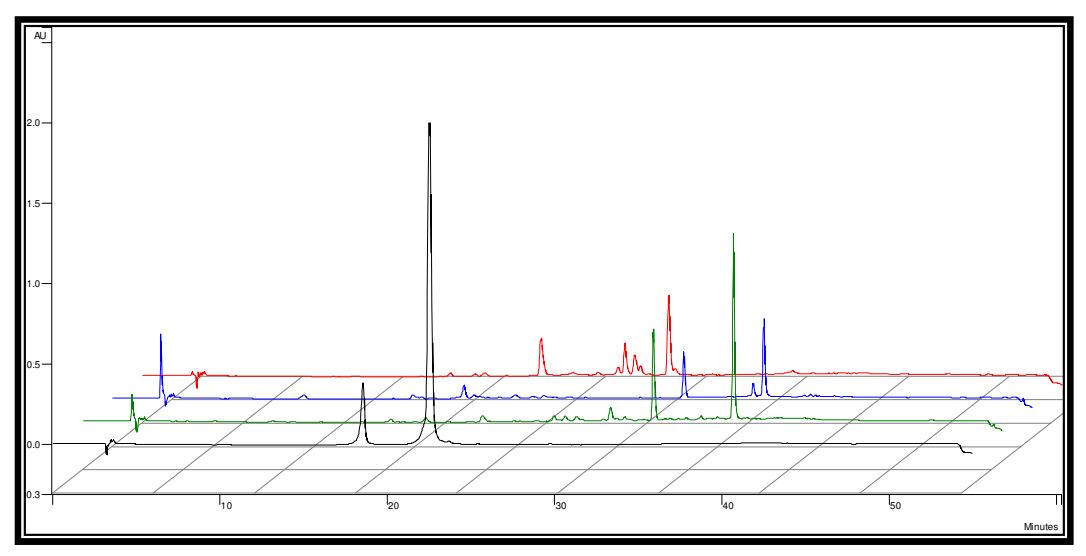


Figura 11. Comparação entre os cromatogramas dos extratos etanólicos das folhas (vermelho), dos caules (amarelo) e das inflorescências (verde), e da substância **14**

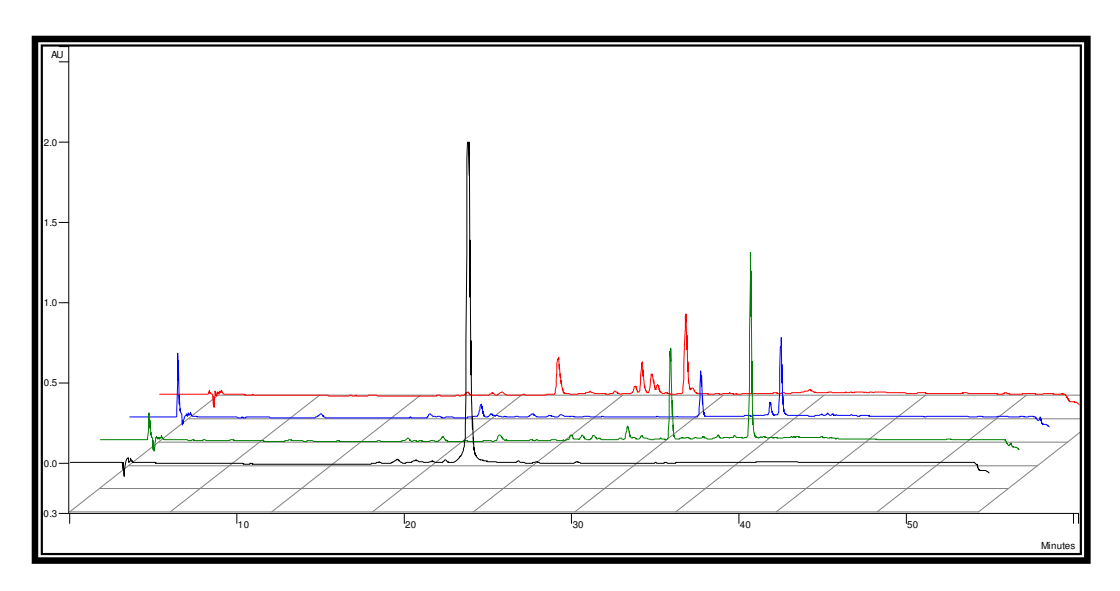


Figura 12. Comparação entre os cromatogramas dos extratos etanólicos das folhas (vermelho), dos caules (azul) e das inflorescências (verde), e da substância **16**.

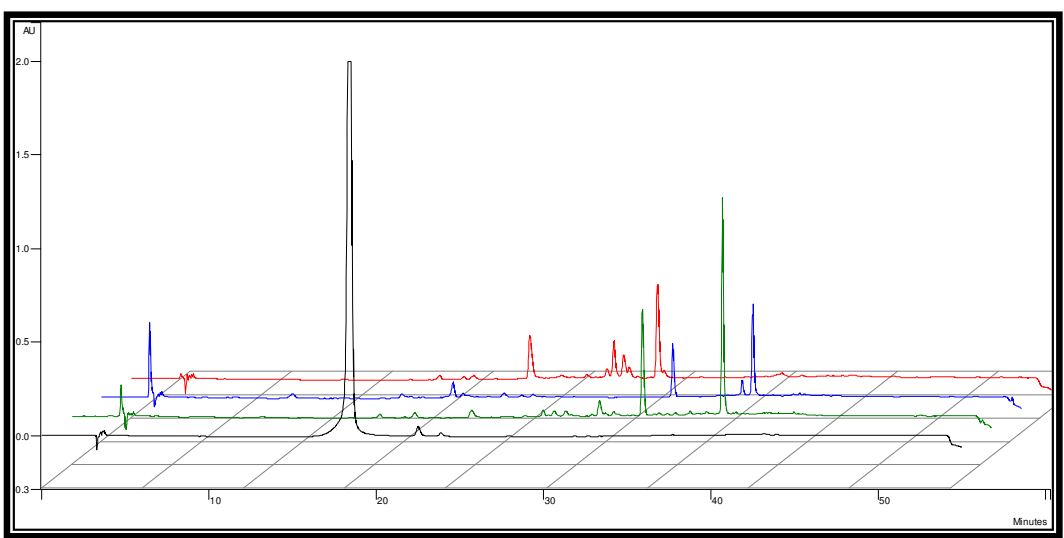


Figura 13. Comparação entre os cromatogramas dos extratos etanólicos das folhas (vermelho), dos caules (azul) e das inflorescências (verde), e da substância **17**.

Nenhum dos padrões injetados apresentou tempo de retenção igual a algum outro pico dos cromatogramas dos extratos etanólicos dos caules, das inflorescências e das folhas da *A. brachypoda*, podendo-se afirmar a ausência dessas substâncias nos extratos.

Comparou-se os espectros de absorção no UV das xantonas (Figura 14) com os espectros de absorção no UV (Figuras 15 – 17) dos picos mais intensos dos cromatogramas dos extratos etanólicos das folhas, dos caules e das inflorescências e foi observado que os mesmos não possuiam as xantonas como seus principais constituintes. As xantonas apresentaram quatro bandas características de comprimentos de onda de absorção no UV: $\lambda_{max} = 230 - 240$ nm; $\lambda_{max} = 250 - 265$ nm; $\lambda_{max} = 305 - 330$ nm e $\lambda_{max} = 340 - 400$ nm (MOREL et al., 2000).

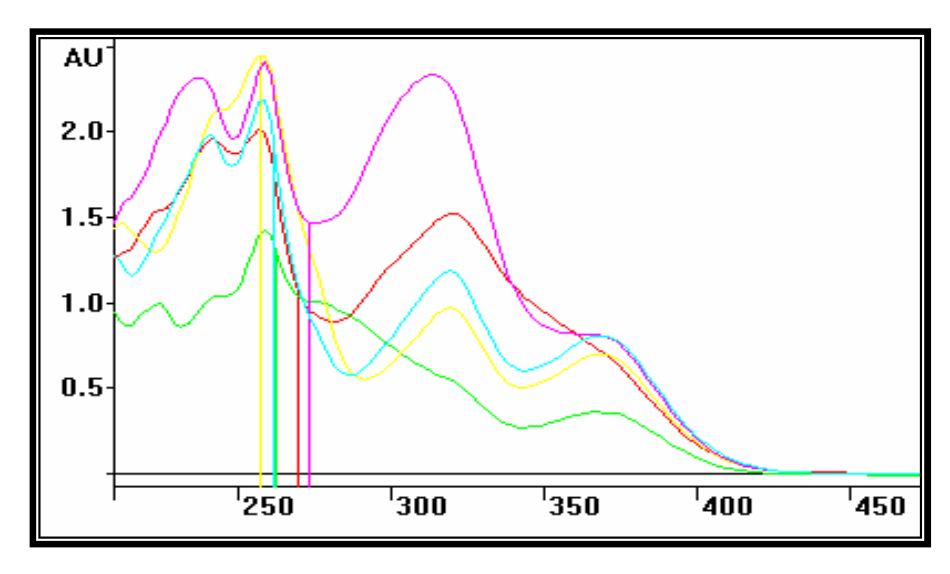


Figura 14. Espectros de absorção no UV dos padrões de xantonas.

O espectro de absorção no UV dos picos mais intensos do cromatograma do extrato etanólico das folhas (Figura 4) apresentou duas bandas características de flavonas e flavonóis indicando a presença de flavonóides no extrato (Figura 15). A banda I de comprimento de onda máximo entre 300 – 390 nm associada à extensão de conjugação do anel B e C e a banda II de comprimento de onda máximo entre 250 –280 nm associada ao anel aromático A em conjugação com a carbonila. Já os espectros de absorção no UV (Figura 16 e 17) dos picos mais intensos dos cromatogramas do caule e da inflorescência (Figura 5 e 6) apresentaram bandas com comprimentos de ondas máximos entre 240 – 280 nm indicando a presença de anéis aromáticos substituídos.

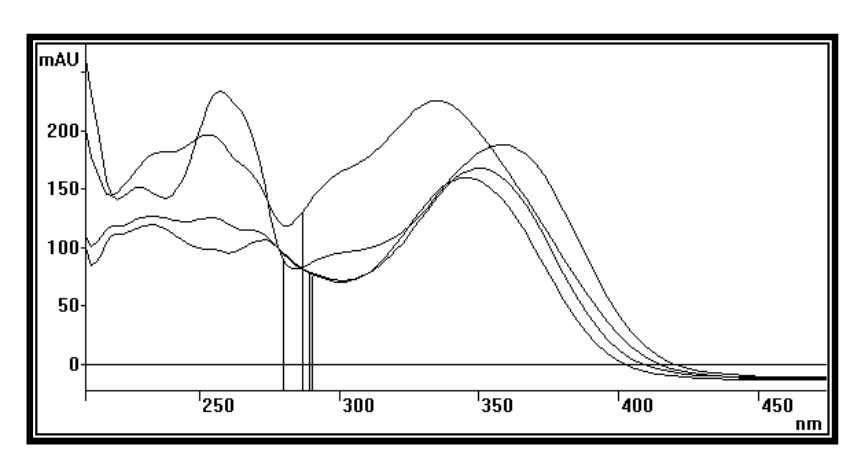


Figura 15. Espectros de absorção no UV dos picos mais intensos do cromatograma do extrato etanólico das folhas.

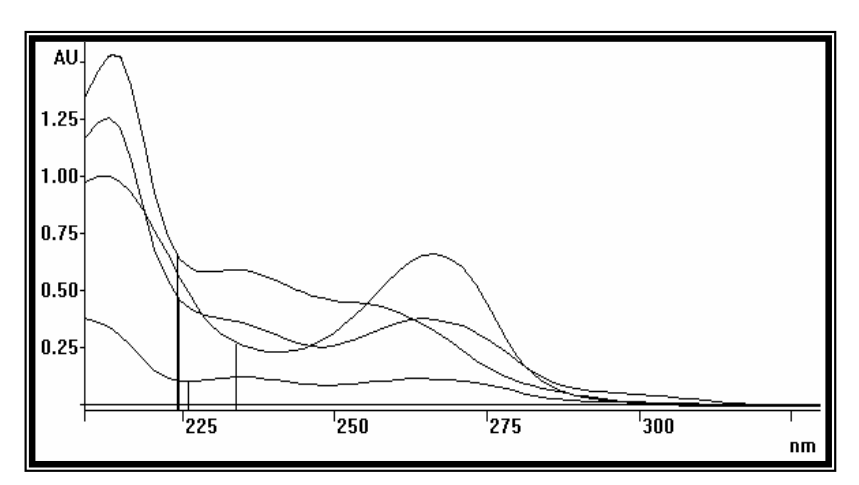


Figura 16. Espectros de absorção no UV dos picos mais intensos do cromatograma do extrato etanólico dos caules.

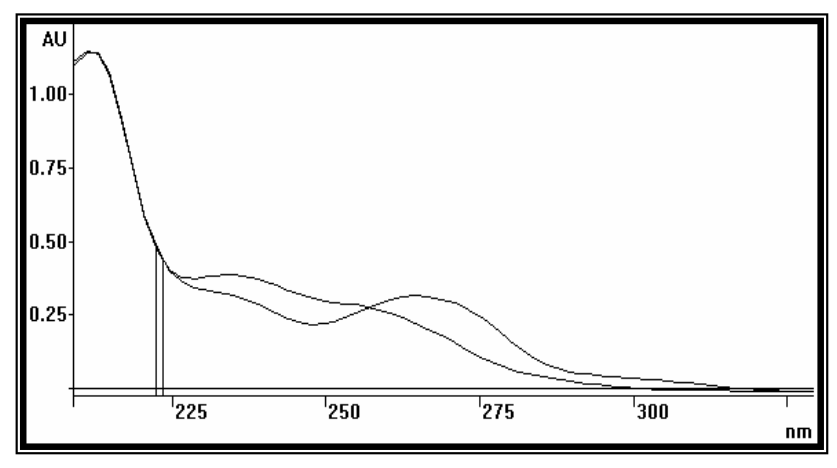


Figura 17. Espectros de absorção no UV dos picos mais intensos do cromatograma do extrato etanólico das inflorescências.

4.2 Estudo químico do extrato etanólico das folhas da A. brachypoda

O cromatograma do extrato etanólico das folhas mostrou-se mais complexo comparado com o dos caules e das inflorescências (Figuras 4-6), por isso decidiu-se começar com estudo químico deste.

O extrato etanólico das folhas foi, então, submetido à partição líquido-líquido (Figura 18) com solventes de diferentes polaridades: hexano, diclorometano e acetato de etila.

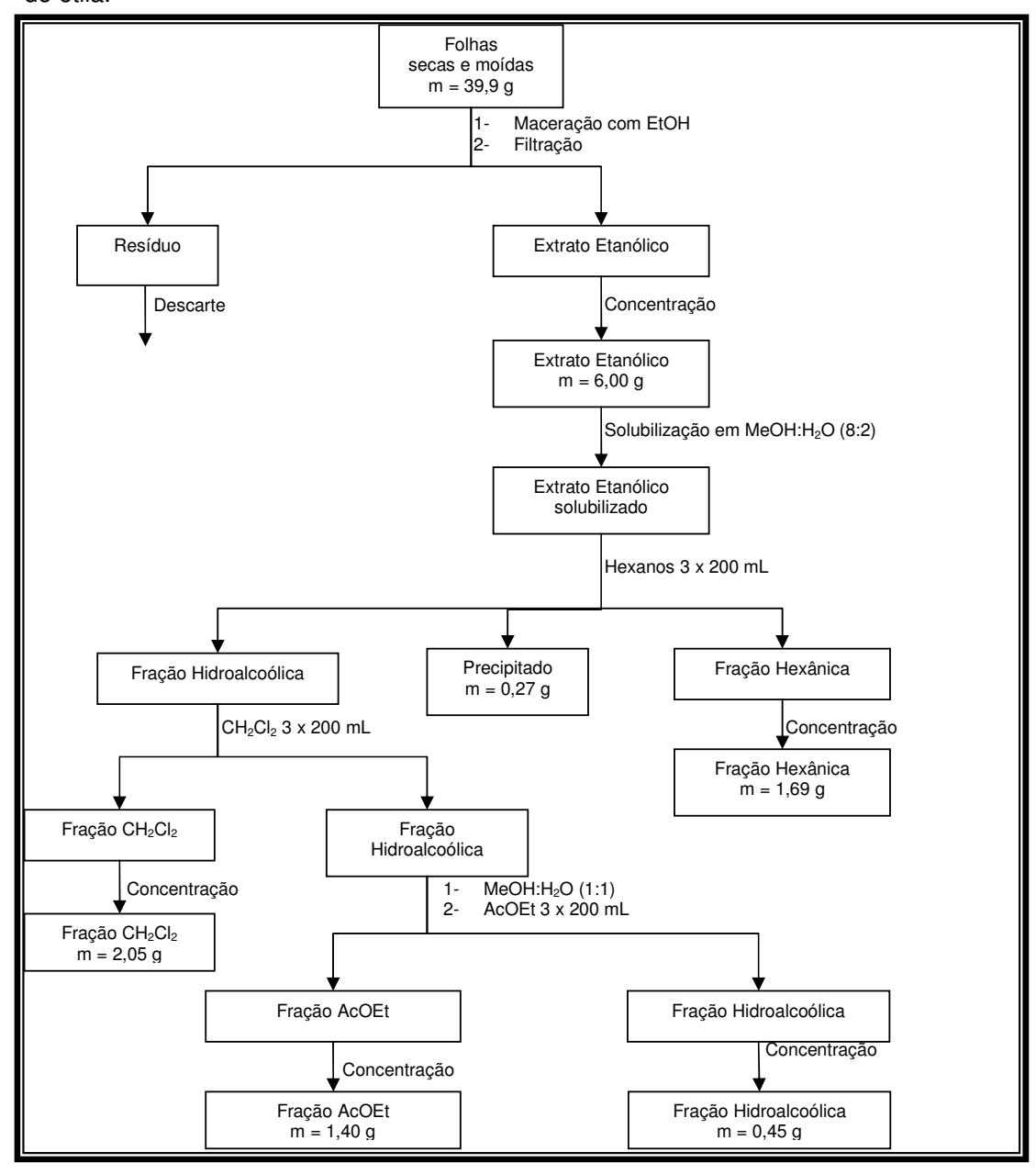


Figura 18. Partição do extrato etanólico das folhas

A primeira fração analisada foi a fração AcOEt, pois queria-se buscar os compostos mais polares incluindo os flavonóides.

Fez-se, então, uma análise exploratória em HPLC com detector de arranjo de diodos da fração AcOEt. O espectro de absorção no UV dos picos mais intensos confirmou a presença de flavonóides nessa fração (Figura 19).

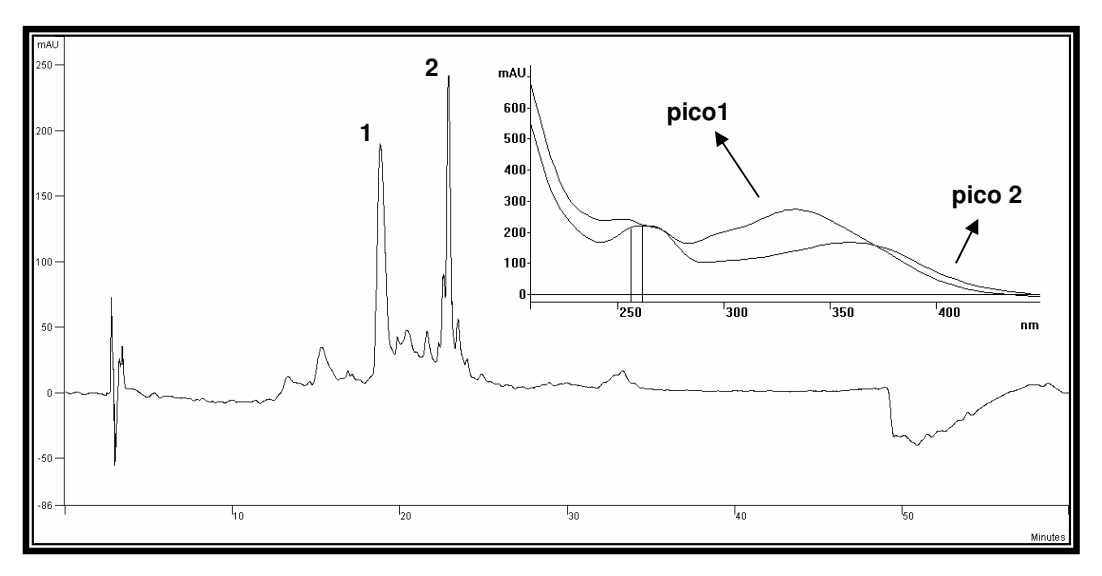


Figura 19. Cromatograma da fração AcOEt; gradiente MeOH: H_2O , 5 -100% MeOH em 50 min, $\lambda = 254$ nm. Espectro de absorção no UV dos picos 1 e 2.

Como a massa da fração era muito pequena optou-se pelo HPLC para se ter o mínimo de perda de massa possível. Desse modo a fração foi analisada em HPLC analítico e foi ajustado um modo de eluição isocrático para que os picos fossem coletados em posterior análise em HPLC preparativo.

A melhor separação foi obtida com fase móvel MeOH:H₂O 0,1%HAc (52:48) (Figura 20). Na transposição da HPLC analítico para o preparativo teve-se que diminuir a força de eluição da fase móvel para MeOH:H₂O 0,1% HAc (48:52) para melhor separação dos picos (Figura 21), com isso a eluição cromatográfica tornou-se um pouco mais longa indo de 30 min para 45 min, tendo um gasto maior de solvente. As frações foram coletas por tempo de retenção (Tabela 3) e não por picos para maior reprodutibilidade.

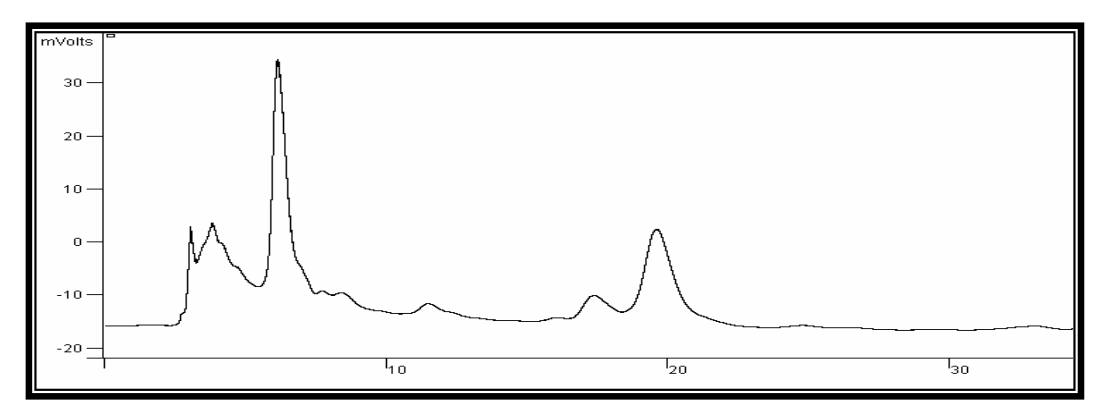


Figura 20. Cromatograma da fração AcOEt, HPLC analítico, fase móvel MeOH:H₂O 0,1%HAc (52:48).

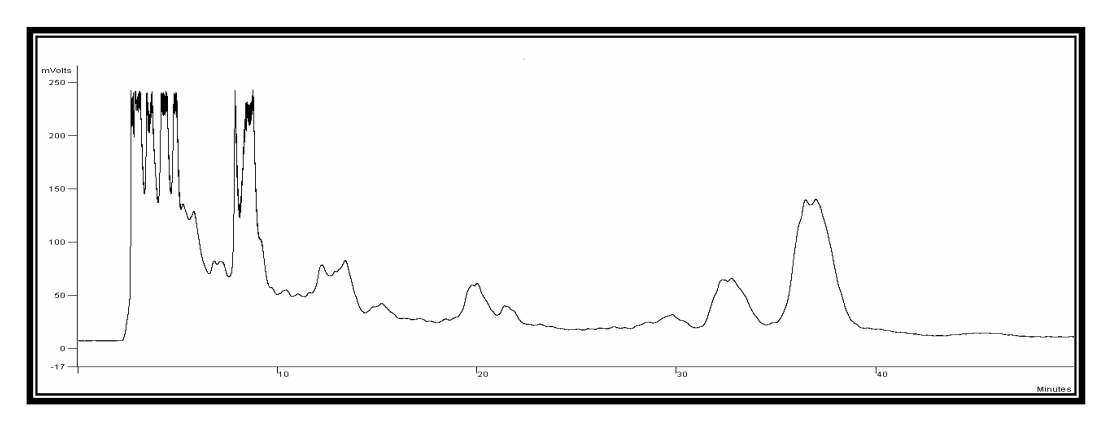


Figura 21. Cromatograma da fração AcOEt, HPLC preparativo, MeOH: H_2O 0,1%HAc (48:52).

Tabela 3. Frações obtidas na separação em HPLC preparativo da fração AcOEt das folhas.

ionas.		
Fração	Tempo de retenção (min)	Massa fração (mg)
Fra1	0 - 5	441,1
Fra2	5 - 8,15	86,4
Fra3	8,15 - 13	100,1
Fra4	13 - 18	41,5
Fra5	18 - 24	32,6
Fra6	24 - 29,5	10,1
Fra7	29,5 - 31	12,1
Fra8	31 - 35	27,6
Fra9	35 - 39,5	40,7
Final	39,5 - 45	20,0
Limpeza	-	81,5

Todas as frações coletadas foram analisadas em HPLC analítico com a mesma fase móvel usada para separação no HPLC preparativo. Fra5 e Fra8 apresentaram 2 picos no cromatograma e Fra3 e Fra9 apresentaram somente um. Fez-se o espectro de hidrogênio ¹H dessas quatro frações (anexos 1 – 4) e observou-se que Fra9 estava pura (substância III). As outras três possuíam mistura de substâncias e Fra3 e Fra8 foram purificadas em HPLC preparativo (Figura 22), desta vez usando ACN na fase móvel, pois proporcionou uma melhor separação dos picos com menor tempo de retenção e consequentemente, uso de menor quantidade de solvente orgânico. De Fra3 (Figura 23) foram isoladas as substâncias I e II e, de Fra8 (Figura 24) foi isolada a substância IV e reisolada a substância III.

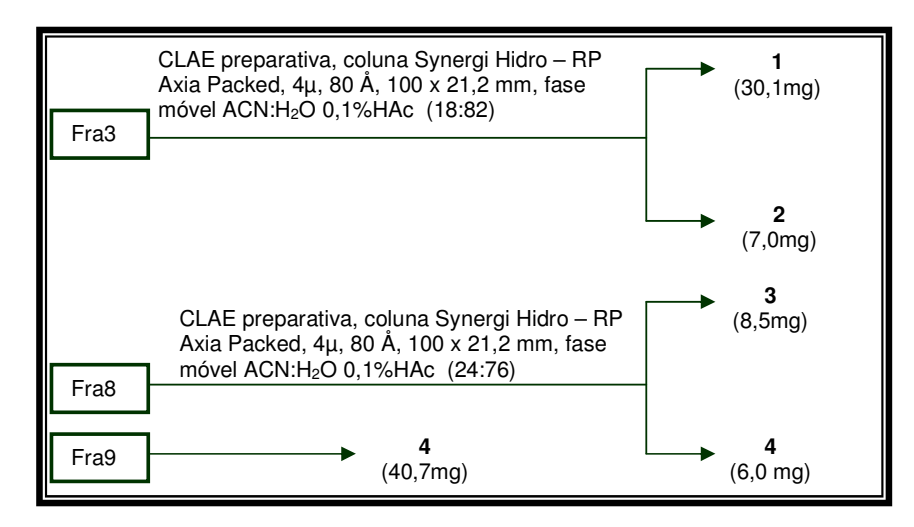


Figura 22. Purificação da frações Fra3 e Fra8.

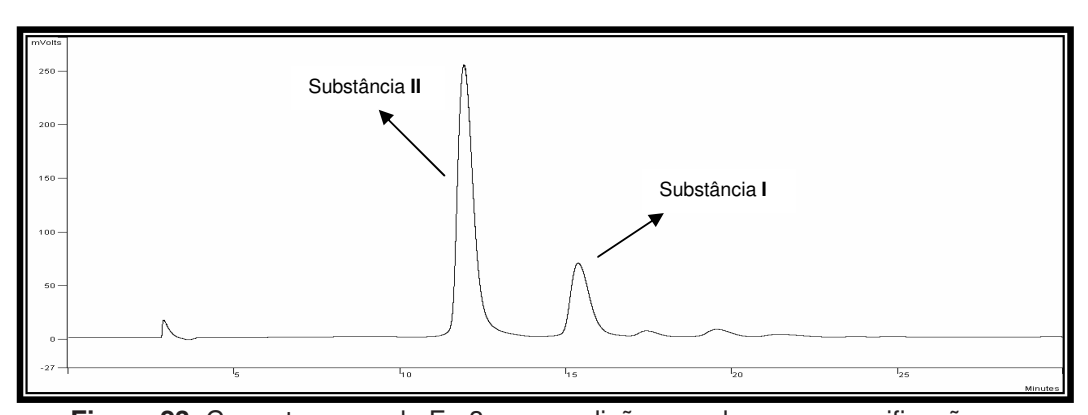


Figura 23. Cromatograma de Fra3 nas condições usadas para a purificação

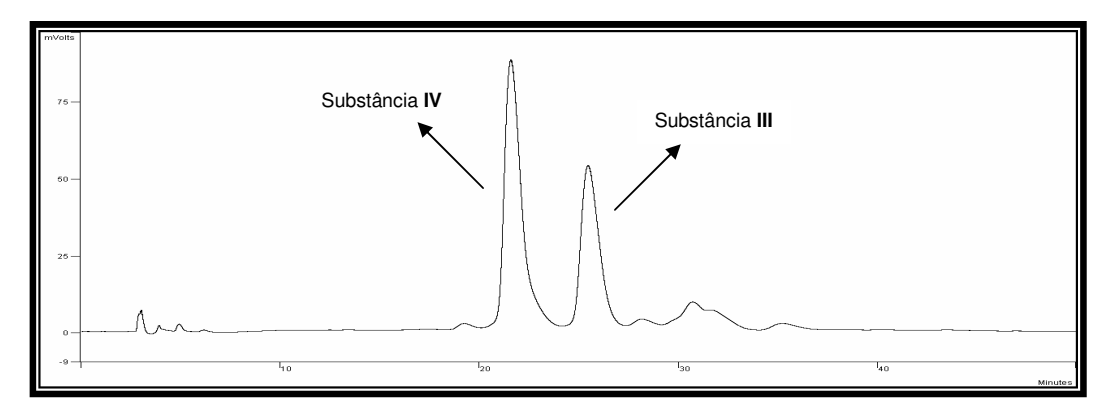


Figura 24. Cromatograma de Fra8 nas condições usadas para a purificação.

As substâncias foram elucidadas pela análise dos espectros de IES-EM, RMN de 1 H e 13 C e as técnicas bidimensionais gHMQC, gHMBC e gCOSY 1 H- 1 H.

4.3 Caracterização espectrométrica das substâncias de $\underline{I} - \underline{IV}$

4.3.1 Substâncias <u>I</u> e <u>II</u>

A análise dos espectros de RMN de ¹H e ¹³C (anexos 5-10 e 21-26) permitiu caracterizar as substâncias I e II como pertencentes à classe dos flavonóides glicosilados.

Os espectros de RMN de 13 C de **I** e **II** apresentaram os sinais em δ_{C} 156,1/156,5, δ_{C} 133,3 e δ_{C} 177,3 atribuídos aos carbonos C-2, C-3 e C-4, respectivamente, permitindo inferir que tais substâncias pertenciam à subclasse dos flavonóis (AGRAWAL, 1989).

De uma maneira geral, os espectros de RMN de ¹³C dos flavonóis **I** e **II** mostraram-se muito similares. Basicamente a diferença notada referiu-se ao número de sinais de carbonos carbinólicos apresentados pelo flavonol **II**, sugerindo que o mesmo apresentava mais uma unidade monossacarídica.

Pela análise dos espectros de RMN de 1 H das substâncias I e II, observou-se a presença de um singleto largo em δ_H 12,6, o qual estava relacionado a um hidrogênio pertencente a uma hidroxila capaz de estabelecer uma ligação de hidrogênio intramolecular com o carbono carbonílico (HARBORNE, 1994).

O espectro de RMN de ¹H da substância I revelou a presença de dois singletos largos em $\delta_{\rm H}$ 6,19 e $\delta_{\rm H}$ 6,39, os quais foram atribuídos aos hidrogênios H-6 e H-8, indicando um anel A tetrassubstituído. A substância II também apresentou o mesmo padrão de substituição para o anel A, no entanto para os hidrogênios H-6 e H-8 atribuiu-se o par de dubletos em $\delta_{\rm H}$ 6,19 (J = 2,0 Hz) e $\delta_{\rm H}$ 6,38 (J = 2,0 Hz).

Além destes sinais, os espectros de RMN de 1 H mostraram dubletos em δ_H 5,45 (flavonol I) e δ_H 5,34 (flavonol II), os quais foram atribuídos aos hidrogênios anoméricos (H-1"), apresentando constantes de acoplamentos de 7,0 Hz e 7,5 Hz, respectivamente. Estes valores destas constantes de acoplamento indicaram um acoplamento do tipo axial-axial com H-2" e, consequentemente sugerindo uma configuração β , para a unidade monossacarídica.

Outro fato que contribuiu com a idéia de que a diferença entre os flavonóis **I** e **II** era a existência de mais uma unidade de açúcar foi a presença de dois dubletos em δ_H 4,39 (J = 1,0 Hz) e δ_H 1,00 (J = 6,0 Hz) no espectro de RMN de ¹H da substância **II** (anexo 11), sendo o primeiro referente à presença de mais um hidrogênio anomérico e o outro referente aos hidrogênios metílicos, típicos de uma unidade de raminose. A presença de raminose pôde ser confirmada pelo sinal em δ_C 17,7, o qual foi atribuído ao carbono C-6''' (AGRAWAL, 1989; HARBORNE, 1994).

Paralelamente, os espectros de RMN de 13 C das substâncias I e II revelaram sinais em $\delta_{\rm C}$ 61,0 e $\delta_{\rm C}$ 66,9 os quais foram atribuídos ao carbono C-6" da unidade de glicose. O aumento do valor de deslocamento químico para o carbono C-6" da

substância **II**, indicou que o mesmo está envolvido com uma ligação interglicosídica do tipo 6"→ 1" (AGRAWAL, 1989).

O mapa de contornos do experimento de *g*HMBC para o flavonóide **II** (anexo 17) demonstrou a correlação entre o sinal em $\delta_{\rm C}$ 133,3 (C-3) e o hidrogênio anomérico com sinal em $\delta_{\rm H}$ 5,34 (d; J=7,5 Hz), sugerindo que a glicosilação estava localizada em C-3. Todos os deslocamentos químicos dos carbonos foram comparados com os da literatura confirmando as duas estruturas (AGRAWAL, 1989; Tabela 4).

As substâncias isoladas I e II foram isoquercitrina e rutina, respectivamente.

Tabela 4. Dados de RMN de ¹H (500 MHz) e RMN de ¹³C (125 MHz) dos flavonóis **I** e **II** (DMSO-*d*₆).

II (DMSO- <i>a</i> ₆).		Flavonóide I		Flavonóide II
	δ_{c}	δ_H ;	δ_{c}	δ_H ;
Posição		multiplicidade; J (Hz)		multiplicidade; J (Hz)
2	156,1	-	156,5	-
3	133,3	-	133,3	-
4	177,3	-	177,3	-
5	161,2	-	161,2	-
6	98,7	6,19; sl	98,6	6,19; d; 2,0
7	164,4	-	164,1	-
8	93,5	6,39; sl	93,5	6,38; d; 2,0
9	156,3	-	156,3	-
10	103,8	-	103,9	-
1'	121,1	-	121,1	-
2'	116,1	7,58; d; 1,5	116,2	7,54; sl ^a
3'	144,8	-	144,7	-
4'	148,5	-	148,4	-
5'	115,2	6,84; d; 9,0	115,2	6,84; d; 8,0
6'	121,5	7,57; dd; 1,5; 9,0	121,5	7,55; dd; 1,0; ^a
1"	100,9	5,45; d; 7,0	101,8	5,34; d; 7,5
2"	76,5	3,00 -3,60; m	74,0	3,00 -3,60; m
3"	77,5	3,00 -3,60; m	75,9	3,00 -3,60; m
4"	69,9	3,00 -3,60; m	70,0	3,00 -3,60; m
5"	74,0	3,00 -3,60; m	76,4	3,00 -3,60; m
6"	60,9	3,00 -3,60; m	66,9	3,00 -3,60; m
1""	-	-	100.7	4,39; d; 1,0
2""	-	-	70.3	3,00 -3,60; m
3""	-	-	70.5	3,00 -3,60; m
4""	-	-	71.8	3,00 -3,60; m
5"	-	-	68.2	3,00 -3,60; m
6""	-	-	17.7	3,00 -3,60; m
Hidroxila	-	12,6; sl	-	12,6; sl
quelatogênica				

^a O sinais do espectro de RMN ¹H referentes a esses hidrogênios coaleceram.

4.3.2 Substâncias III e IV

Os flavonóides **III** e **IV** foram isolados na forma de sólido amorfo de coloração amarela.

Os valores observados no espectro de RMN de 1 H e RMN de 13 C para a substância **III** (anexos 18 -24) indicaram tratar-se de uma substância da classe dos flavonóis glicosilados. Entre outras feições, os sinais em $\delta_{\rm C}$ 156,5, $\delta_{\rm C}$ 132,6 e $\delta_{\rm C}$ 176,8 atribuídos aos carbonos C-2, C-3 e C-4, respectivamente, bem como os nove sinais compreendidos entre $\delta_{\rm C}$ 67,0 e $\delta_{\rm C}$ 75,9, indicaram a presença de duas unidades de açúcares (AGRAWAL, 1989).

Pela análise do espectro de RMN de 1 H (anexo 20) foi constatada a presença de dois dubletos em $\delta_{\rm H}$ 6,13 (J = 2,0 Hz) e $\delta_{\rm H}$ 6,30 (J = 2,0 Hz), os quais revelaram um anel A tetrassubstituído. Por outro lado os sinais mais desblindados em $\delta_{\rm H}$ 7,48

(d, J = 2,5 Hz), δ_H 6,84 (d, J =8,5 Hz) e δ_H 7,53 (dd, J = 2,5 e 8,5 Hz), atribuídos a H-2', H-5' e H-6', respectivamente, indicaram a presença de um anel B 1',3',4'-trissubstituído. Conjuntamente com os dados de RMN de ¹³C, permitiu-se inferir a presença de uma unidade de quercetina (HARBORNE, 1994).

Além destes sinais, o espectro de RMN de ¹H mostrou dois sinais em δ_H 5,60 (d, J = 8,0 Hz) e em δ_H 4,41 (sl), os quais foram atribuídos aos hidrogênios anoméricos H-1" e H-1".

A posição de *O*-glicosilação foi determinada a partir da análise do mapa de contornos obtido pelo experimento de *g*HMBC (anexo 36), que revelou a correlação entre o sinal em δ_C 132,6 (C-3) e δ_H 5,60 (H-1").

Paralelamente, o espectro de RMN de 13 C revelou um sinal em δ_{C} 67,0, atribuído C-6" da unidade de glicose. Esse valor indicou que o mesmo está envolvido com uma ligação interglicosídica do tipo 6" \rightarrow 1", uma vez que o deslocamento químico para esse carbono geralmente é δ_{C} 62 (AGRAWAL, 1989).

O mapa de contornos obtido por *g*COSY-¹H-¹H (anexos 40-43) conjuntamente com *g*HMBC (anexos 30-39) e *g*HMQC (anexos 25-29) colaboraram com atribuição correta dos valores de deslocamentos químicos de hidrogênio e carbono da subunidade de rutinose. Os hidrogênios dos açúcares foram atribuídos com ajuda do experimento HOMODEC (anexo 46).

Dentre os sinais que levaram a caracterização parcial da estrutura molecular de **III**, como sendo um derivado do flavonol **II**, o valor de deslocamento químico de H-2" apresentou-se bastante elevado (δ_H 4,90). Contudo, o espectro de RMN de 13 C apresentou mais nove sinais (anexo 21), os quais confirmaram a presença de um substituinte receptor de elétrons no carbono C-2", capaz de gerar o incremento no valor do deslocamento químico do hidrogênio H-2", significando uma desproteção deste núcleo.

Dentre estes sinais complementares, observou-se o sinal em $\delta_{\rm C}$ 165,7, o qual pôde ser atribuído ao carbono de uma carbonila de um éster conjugado e oito sinais em $\delta_{\rm C}$ 111,1, $\delta_{\rm C}$ 114,6, $\delta_{\rm C}$ 115,5, $\delta_{\rm C}$ 122,9, $\delta_{\rm C}$ 125,6, $\delta_{\rm C}$ 145,1, $\delta_{\rm C}$ 147,9 e $\delta_{\rm C}$ 149,3 atribuídos aos carbonos sp². Correlacionados a estes sinais, o espectro de RMN de ¹H apresentou mais cinco sinais, sendo um subconjunto de três sinais: dois dubletos $\delta_{\rm H}$ 7,28 (J=1,0 Hz), $\delta_{\rm H}$ 6,80 (J=8,0 Hz) e um duplo dubleto $\delta_{\rm H}$ 7,09 (J=1,0 e 8,0 Hz) e outro subconjunto formado por dois dubletos $\delta_{\rm H}$ 6,45 (J=16,0 Hz) e $\delta_{\rm H}$ 7,57 (J=16,0 Hz). O primeiro subconjunto referiu-se a um anel aromático 1,3,4-trissubstituído e o segundo conjunto referiu-se a uma olefina com configuração E. Assim, inferiu-se que tal substituinte com ação eletrón-receptora era compatível com uma unidade de fenilpropanóide (um derivado C_6C_3).

O experimento de *g*HMBC (anexo 34) revelou uma correlação de δ_H 4,90 com o δ_C 165,7. Desta maneira concluiu-se que a unidade de glicose estava ligada ao derivado fenilpropanoídico através do oxigênio em C-2".

O espectro de RMN de 1 H (anexo 19) revelou um singleto em δ_H 3,83 (3H), permitindo inferir a presença de uma metoxila (δ_C 55,6). O mapa de contornos de gHMBC (anexo 34) apresentou um contorno que correlacionou o sinal em δ_H 3,83 e δ_C 147,9, sendo este pertencente a subunidade fenilpropanoídica. A fim de se determinar a posição de O-alquilação, realizou-se um experimento de NOESY 1D (anexo 45), o qual observou-se a correlação entre o sinal irradiado em δ_C 3,83 e o dubleto δ_H 7,28 (subunidade fenilpropanoídica). Esta observação permitiu inferir a interação espacial entre o grupo metoxílico e o hidrogênio H-2"". Logo, deduziu-se que a substância **III** (arrabidosídeo A) encontrava-se acilada por uma unidade de ácido ferúlico (FATTORUSSO et al., 2001; Tabela 5).

Uma vez caracterizados os dados espectrométricos de RMN mono e bidimensionais da substância **III**, a elucidação estrutural da substância **IV** foi facilitada, uma vez que essa apresentava grande similaridade estrutural com o flavonol **III**.

O espectro de RMN de 1 H (anexo 49) revelou o desaparecimento do subconjunto de sinais que foram atribuídos ao anel aromático do grupo feruloíla, havendo apenas um singleto em δ_H 6,99 (2H), sugerindo um anel 1,3,4,5 tetrassubstituído e com um eixo de simetria capaz de revelar a equivalência magnética dos hidrogênios H-2"" e H-6"". Outro fato que contribuiu para confirmar esta proposição foi a diminuição de sinais de carbonos do espectro de 13 C (anexo 50), tendo este somente 4 sinais atribuídos a 6 carbonos, sendo estes δ_C 106,1 (C-2"" e C-6""), δ_C 124,4 (C-1""), δ_C 138,3 (C-4"") e δ_C 148,0 (C-3"" e C-5"").

Além disso, observou-se a presença de um singleto δ_H 3,81 (6H), o qual foi atribuído a seis hidrogênios metílicos de dois grupos metoxílicos. O mapa de contornos de *g*HMBC (anexo 62) indicou a correlação deste singleto com o sinal em δ_C 148,0, indicando que os dois grupos metoxílicos pertenciam a subunidade fenilpropanoídica. Com o intuito de confirmar tal substituição realizou-se um experimento de NOESY 1D (anexo 69), pelo qual observou-se a correlação entre o singleto δ_H 3,81 e o singleto em δ_H 6,99 (H-2"" e H-6"").

Assim sendo, concluiu-se que a substância **IV** (arrabidosídeo B) apresentavase acilada por uma unidade de ácido sinapínico (TEWTRAKUL et al., 2002; Tabela 6).

A análise do espectro de massas, RMN de 13 C (anexo 21 e anexo 50) e DEPT (anexo 44 e anexo 68), conduziram à fórmula molecular $C_{37}H_{38}O_{19}$ e $C_{38}H_{40}O_{20}$ para as substâncias **III** e **IV** respectivamente. O experimento de massas foi realizado no modo negativo. O espectro das substâncias **III** apresentou o pico base em m/z = 785 e o da

substância **IV**, o pico base m/z = 815, que correspondiam ao íon molecular [M - H]⁻. Ambos os íons quando submetidos ao MS-MS (Figura 25 – 26) apresentaram um fragmento em m/z = 609, o qual foi atribuído à eliminação dos derivados ferúlico e sinapínico dos flavonóis **III** e **IV**, respectivamente.

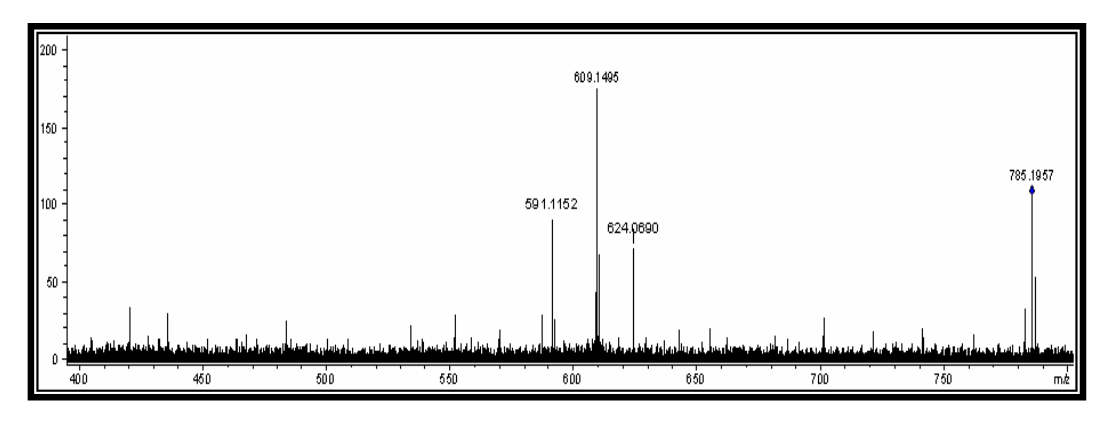


Figura 25. Espectro de ESI-MS-MS do íon molecular 785 da substância III.

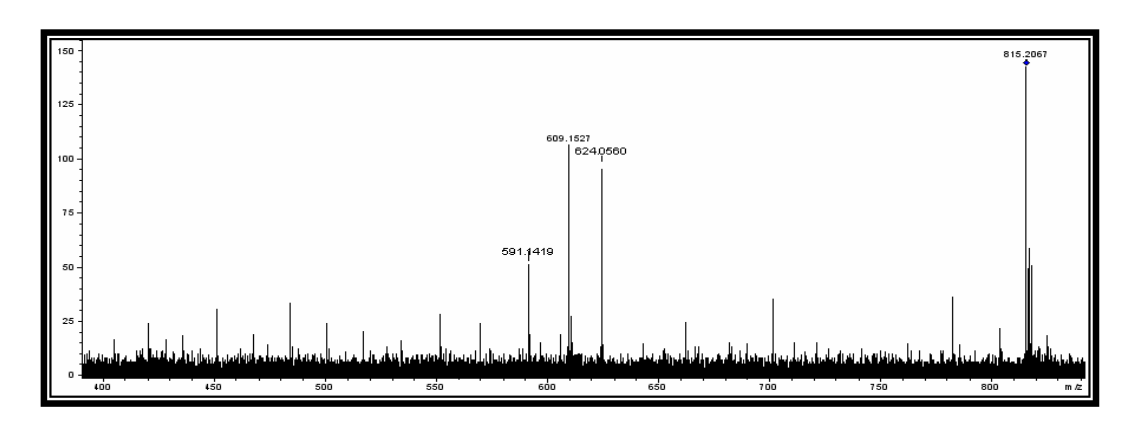


Figura 26. Espectro de ESI-MS-MS do íon molecular 815 da substância IV.

Os espectros de absorção no UV das substâncias **III** e **IV** (Figura 27 e 28, respectivamente) apresentaram duas bandas, características de flavonóis: banda I de λ_{max} = 333 e 337 nm e banda II de λ_{max} = 250 e 240 nm, respectivamente.

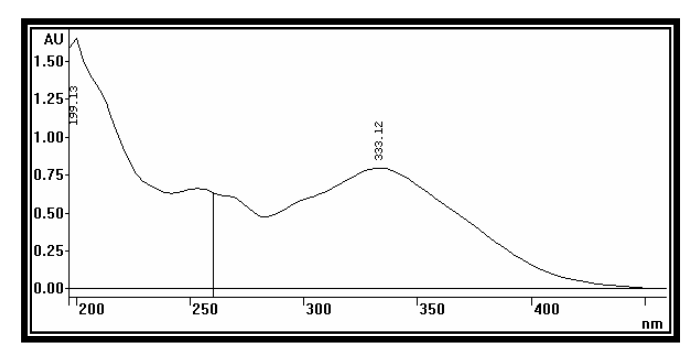


Figura 27. Espectro de absorção no UV da substância III.

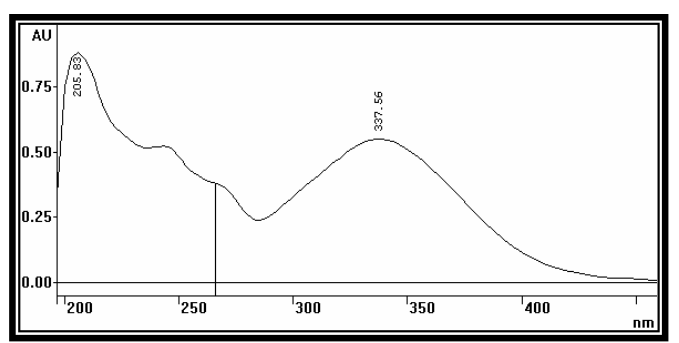


Figura 28. Espectro de absorção no UV da substância IV.

Pesquisas recentes na base de dados SciFinder Scholar, as quais correlacionaram as propostas de fórmulas moleculares das substância **III** e **IV**, com fórmulas estruturais já descritas, indicaram que estas substâncias são inéditas na literatura.

Tabela 5. Dados de RMN de ¹H (500 MHz) e RMN de ¹³C (126 MHz) do arrabidosídeo A (DMSO-*d*₆).

	δ_{c}	δн;	<i>g</i> HMBC
Posição		multiplicidade; J (Hz)	
2	156,5	-	H-2', H-6'
3	132,6	-	H-1"
4	176,8	-	-
5	161,1	-	H-6
6	98,9	6,13; d; 2,0	H-8
7	165,2	-	H-6
8	93,7	6,31; d; 2,0	H-6
9	156,4	-	H-8
10	103,5	-	H-6, H-8
1'	120,8	-	H-6
2'	116,0	7,48; d; 2,5	H-6
3'	144,9	-	H-2', H-5"
4'	148,7	-	H-2", H-5", H6"
5'	115,2	6,84; d; 8,5	-
6'	121,7	7,53; dd; 2,5; 8,5	H-2
1"	98,6	5,60d; 80	H-2"
2"	73,9	4,90; dd; 9,5; 9,5	H-3"
3"	74,1	3,49; dd; 9,5; 9,5	H-2", H-4"
4"	70,5	3,21; dd; 9,5; 9,5	H-3"
5"	75,9	3,30; m	H-6" a
6"	67,0	a: 3,35; d; 2,0 b: 3,76; d; 10,5	-
1""	100,8	4,41; sl	-
2""	70,3	3,44; d; 3,0	-
3""	70,2	3,31; dd; 3,0; 9,5	-
4""	71,8	3,10; dd; 9,5; 9,5	-
5""	68,3	3,29; d; 6,5	-
6""	17,7	1,00; d; 6,5	H-4"
1""	125,6	- -	H-5'''', H-8''''
2""	111,1	7,28; d; 1,5	H-6'''', H-7''''
3""	147,9		3""- MeO
4""	149,3	-	H-2"", H-6""
5""	115,5	6,80; d; 8,0	- -
6""	122,9	7,09; dd; 1,5; 8,0	H-2"", H-7""
7""	145,1	7,57; d; 16	H-2'''', H-6''''
8""	114,6	6,45; d; 16	H-7""
9""	165,7	- -	H-2"
3''''- MeO	55,6	3,83, s	-
lidroxila	-	12,6; sl	-
elatogênica			

Tabela 6. Dados de RMN de 1 H (500 MHz) e RMN de 13 C (126 MHz) do Arrabidosídeo B (DMSO- d_6).

	δ_{c}	δн;	<i>g</i> HMBC
Posição		multiplicidade; J (Hz)	
2	156,5	-	H-2', H-6'
3	132,6	-	H-1"
4	176,8	-	-
5	161,1	-	H-6
6	98,8	6,12; d; 1,5	H-8
7	165,1	-	H-6
8	93,6	6,30; d; 1,5	H-6
9	156,4	-	H-8
10	103,5	-	H-6, H-8
1'	120,8	-	H-5'
2'	116,0	7,48; d; 2,5	H-6'
3'	144,8	-	H-2', H-5'
4'	148,7	-	H-2', H-5', H-6'
5'	115,2	6,83; d; 8,5	-
6'	121,7	7,53; dd; 2,5; 8,5	H-2'
1"	98,6	5,61; d; 8,0	H-2"
2"	73,9	4,90; dd; 9,0; 9,0	H-3"
3"	74,1	3,49; dd; 9,0; 9,0	H-2", H-4"
4"	70,2	3,20; dd; 9,0; 9,0	H-3"
5"	75,9	3,35; m	-
6"	67,0	a: 3,37;m b: 3,76; d; 10,5	H-4"
1""	100,8	4,41; sl	=
2""	70,3	3,44; sl	H-3'''
3""	70,5	3,31; dd; 3,0; 9,5	=
4""	71,8	3,10; dd; 9,5; 9,5	H-3"", H-6""
5""	68,2	3,28; d; 6,5	H-6'''
6""	17,6	1,00; d; 6,0	H-4"'
1""	124,4	-	H-2"", H-6"", H-8""
2""	106,1	6,99; sl	H-6"", H-7""
3""	148,0	-	5""- MeO, H-2""
4""	138,3	-	H-2"", H-6""
5""	148,0	-	3''"- MeO, H-6''"
6""	106,1	6,99; sl	H-2"", H-7""
7""	145,4	7,59; d; 16	H-2"", H-6""
8''''	115,1	6,51; d; 16	H-7""
9""	165,6	- -	H-2", H-7""
3"" e 5""-	56,0	3,81, s	- -
MeO	•		
Hidroxila	-	12,6; sl	-
quelatogênica			

4.4 Potencial antioxidante dos flavonóis I – IV

Foi testado o potencial antioxidante dos flavonóis **I – IV** frente ao radical DPPH.

Os flavonóides têm essa qualidade relacionada com sua estrutura e relata-se a importância da presença de núcleos catecólicos na atividade antioxidante destas substâncias. A relação estrutura-atividade desse núcleo relaciona-se com a capacidade de estabilizar os radicais livres formados após a doação de hidrogênios pelas substâncias antioxidantes em potencial. A maior estabilidade relaciona-se com o maior número de estruturas mesoméricas formadas nesses novos radicais (BORS et al., 1990). Nas substâncias da classe dos flavonóides atribuiu-se aos três anéis a atividade antioxidante.

Os resultados observados no gráfico (Figura 29) e na tabela abaixo corroboram a importância da presença dos grupos catecólicos em antioxidantes potenciais. As substâncias com tal característica estrutural mostraram os melhores resultados, com CI₅₀ (concentração necessária para sequestrar 50% do radical livre DPPH) comparável ao da quercetina (Tabela 7). Os grupos feruloíla e sinapicoíla não aumentaram a atividade antioxidante dos flavonóides III e IV comparados com o controle positivo quercetina. O valor discrepante do flavonol I foi atribuído ao fato dessa substância não estar completamente pura.

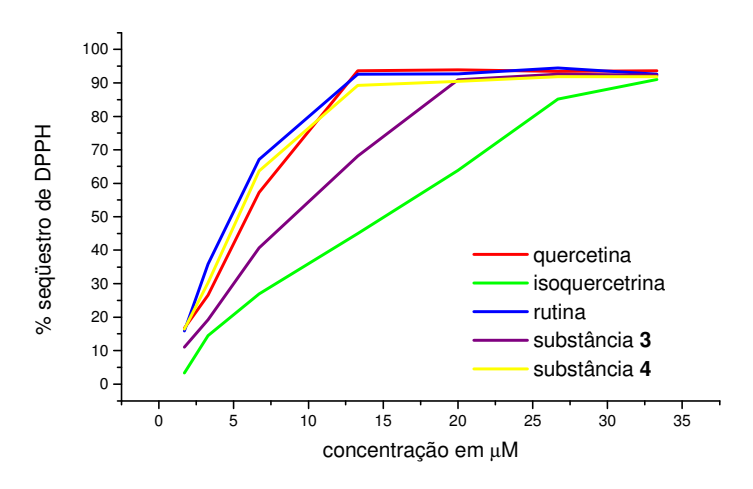


Figura 29. Gráfico da curva de determinação da % de seqüestro de DPPH

Tabela 7. Potencial antioxidante dos flavonóis **I** – **IV** frente ao radical DPPH

Substâncias	Cl ₅₀ (μM)
quercetina ^a	5,81
Isoquercitrina (I)	15,10
Rutina (II)	4,88
arrabidosídeo A (III)	8,95
Arrabidosídeo B (IV)	5,34

^a Controle positivo

4.5 Inibição da enzima mieloperoxidase (MPO)

As substâncias isoladas foram testadas frente à inibição da enzima mieloperoxidase (MPO) e comparadas ao controle positivo quercetina.

Pôde-se observar que os valores de Cl_{50} para as substâncias \mathbf{I} e \mathbf{II} foram muito próximos e maiores que o do controle positivo, sugerindo que a hidroxila em C-3 é importante para a atividade inibitória. A presença do grupo ferúlico na substância \mathbf{III} aumentou a atividade inibitória e a presença do grupo sinapínico na substância \mathbf{IV} diminui. Esse fato pôde ser explicado pelo impedimento estérico no grupo sinapínico da hidroxila em para pelas metoxilas, uma vez que não ocorreu com o grupo ferúlico.

Esse ensaio foi realizado com os ácidos ferúlico e sinapínico e estes apresentaram atividade inibitória muito pequena em comparação com o controle positivo quercetina.

Tabela 8. Atividade inibitória dos flavonóis **I** – **IV** frente à enzima mieloperoxidase.

Substâncias	MPO (nM)	
arrabidosídeo A (III)	1,80 ± 0,07	
arrabidosídeo B (IV)	$4,82 \pm 0,06$	
isoquercitrina (I)	$3,75 \pm 0,02$	
rutin (II)	$3,60 \pm 0,02$	
quercetina ^a	$1,22 \pm 0,01$	
ácido ferúlico	> 50	
ácido sinapínico	> 50	

^a Controle positivo

5. Considerações finais

O desenvolvimento do trabalho com o extrato etanólico das folhas da *A. brachypoda* e a fração AcOEt resultou no isolamento de dois flavonóis inéditos: arrabidosídeo A e arrabidosídeo B e também dos flavonóis rutina e isoquercitrina, contribuindo para a descrição dos constituintes químicos dessa espécie, ainda pouco estudada, mas com potencial para exploração sustentável.

O potencial antioxidante dos flavonóis I, II, III, IV frente ao radical DPPH foi testado e como era esperado, eles apresentaram CI₅₀ parecidos e próximos ao do controle positivo quercetina. O único que apresentou um valor muito discrepante foi a isoquercitrina e esse fato foi atribuído a sua pureza.

A atividade inibitória dos flavonóis I, II, III, IV frente à enzima mileoperoxidase (MPO) também foi testada e apresentaram valores de CI₅₀ igual a 3,75, 3,60, 1,80, 4,82 nM. Esses dados mostraram o potencial antiinflamatório dessas substâncias tornando a busca por inibidores de MPO à partir de fontes naturais de grande valia na descoberta de agentes antiinflamatórios, bem como no desenvolvimento de novas estratégias terapêuticas.

Arrabidaea chica é utilizada pela indústria de cosméticos e, essa pesquisa indicou o potencial da A. brachypoda para esse fim, considerando sua constituição micromolecular rica em derivados fenólicos antioxidantes.

Outro fato interessante de destaque é a ausência de xantonas nesta espécie, tendo em vista que esta classe ocorre em outras espécies de *Arrabidaea*.

Referências

ADRIAN-ROMERO, M.; BLUNDEN, G.; PATEL, A. V.; ARMSTRONG, N.; MELENDEZ, P.; CUERVO, A. C. Betaines and N-methylprolines from Venezuelan plants. **Natural Product Communications**, v. 2, n. 8, p. 863–868, 2007.

AGRAWAL, P. K. (Ed.). **Carbon-13 NMR of flavonoids**. Amsterdam: Elsevier, 1989. 564 p.

AGRIPINO, D. G.; LIMA, M. E. L.; SILVA, M. R.; MEDA, C. I.; BOLZANI, V. S.; CORDEIRO, I.; YOUNG, M. C. M.; MERENO, P. R. H. Screening of brazilian plants for antimicrobial and DNA-damaging activities. Atlantic rain forest – Ecological Station Juréia – Itatins. **Biota Neutropica**, v. 4, n. 2, p. 1–15, 2004.

ALCERITO, T.; BARBO, F. E.; NEGRI, G.; SANTOS, D. Y. A. C.; MEDA, C. I.; YOUNG, M. C. M.; CHÁVEZ, D.; BLATT, C. T. T. Foliar Epicuticular wax of *Arrabidaea brachypoda*: flavonoids and antifungal activity. **Biochemical Systematics and Ecology**, v. 30, p. 67–683, 2002.

BLATT, C. T. T.; SANTOS, M. D.; SALATINO, A. Flavonoids of Bignoniaceae from the "cerrado" and their possible taxonomic significance. **Plant Systematic and Evolution**, v. 210, p. 289–292, 1998.

BOLZANI, V. S.; YOUNG, M. C. M.; FURLAN, M.; CAVALHEIRO, A. J.; ARAÚJO, A. R.; SILVA, D. H.; LOPES, M. N. Search for antifungal and anticancer compounds from native plant species of cerrado and Atlantic Forest. **Anais da Academia Brasileira de Ciências**, v. 71, n. 2, p. 181–189, 1999.

BORS, W.; HELLER, W.; MICHEL, C.; SARAN, M. Flavonoids as antioxidants: Determination of radical-scavenging efficiencies. **Methods in Enzymology**, v. 186, p. 343–355, 1990.

CAPEILLÈRE-BLANDIN, C. Oxidation of guaiacol by myeloperoxidase: a twoelectron-oxidized guaiacol transient species as a mediator of NADPH oxidation. **Biochemical Journal**, v. 336, p. 395–404, 1998.

CRONQUIST, A. **An integrated system of classification of flowering plants.** New York: Columbia University Press, 1981. 1262 p.

DAUGHERTY, A.; DUNN, J. L.; RATERI, D. I.; HEINECKE, J. W. Myeloperoxidase, a catalyst for lipoprotein oxidation, is expressed in human atherosclerotic lesions. **Journal of Clinical Investigation**, v. 94, p. 437–444, 1994.

DHANESHWAR, S. S.; KANDPAL, M.; VANDNERKAR, G.; RATHI, B.; KADAM, S. S. Synthesis, kinetic studies and pharmacological evaluation of mutual azo prodrug of 5-aminosalicylic acid for colon-specific drug delivery ininflammatory bowel disease. **European Journal of Medicinal Chemistry**, v. 42, n. 6, p. 885–890, 2007.

EDWARDS, S. W.; HALLETT, M. Seeing the wood for the trees: the forgotten role of neutrophils rheumatoid arthritis. **Immunology Today**, v. 18, n. 7, p. 320–324, 1997.

FATTORUSSO, E.; LANZOTTI, V.; TAGLIALATELA - SCAFATI, O.; CICALA, C. The flavonoids of leek *Allium porrum*. **Phytochemistry**, v. 57, p. 565–569, 2001.

FUJIMOTO, Y.; EGUCHI, T.; MURASAKI, C.; OHASHI, Y.; KAKINUMA, K.; TAKAGAKI, H.; ABE, M.; INAZAWA, K.; YAMAZAKI, K.; IKEKAWA, N.; YOUSHIKAWA, O.; IKEKAWA, T. Studies on the structure and stereochemistry of cytotoxic furanonaphtoquinones from *Tabebuia impetiginosa*: 5- and 8-hydroxy-2-1-(hydroxyethyl)naphtha[2,3-b]furan-4,9-diones. **Journal of Chemical Society Perki T. I.**, v.10, p. 2323–2327, 1991.

GENTRY, A. H. Bignoniaceae. Part I. Tribes *Crescentieae* and *Tourrentieae*. **Flora Neotropica**, v. 25, n. 1, p. 1–130, 1980.

HAHLBROCK, K. Flavonoids. **The Biochemistry of Plant Products**, v. 7, p. 425–456, 1981.

HARBORNE, J. B. (Ed.). **The Flavonoids:** advances in research since 1986. London: Chapman and Hall, 1994. 676 p.

HAZELL, L. J.; STOCKER, R. Oxidation of low density lipoprotein with hypochlorite causes transformation of the lipoprotein into a high-uptake form for macrophages. **Biochemical Journal**, v. 290, p. 165–172, 1993.

HAZELL, L. J.; VAN DEN BERG, J. J. M.; STOCKER, R. Oxidation of low density lipoprotein with hypochlorite causes aggregation that is mediated by modification of lysine residue rather than lipide peroxidation. **Biochemical Journal**, v. 302, p. 297–304, 1994.

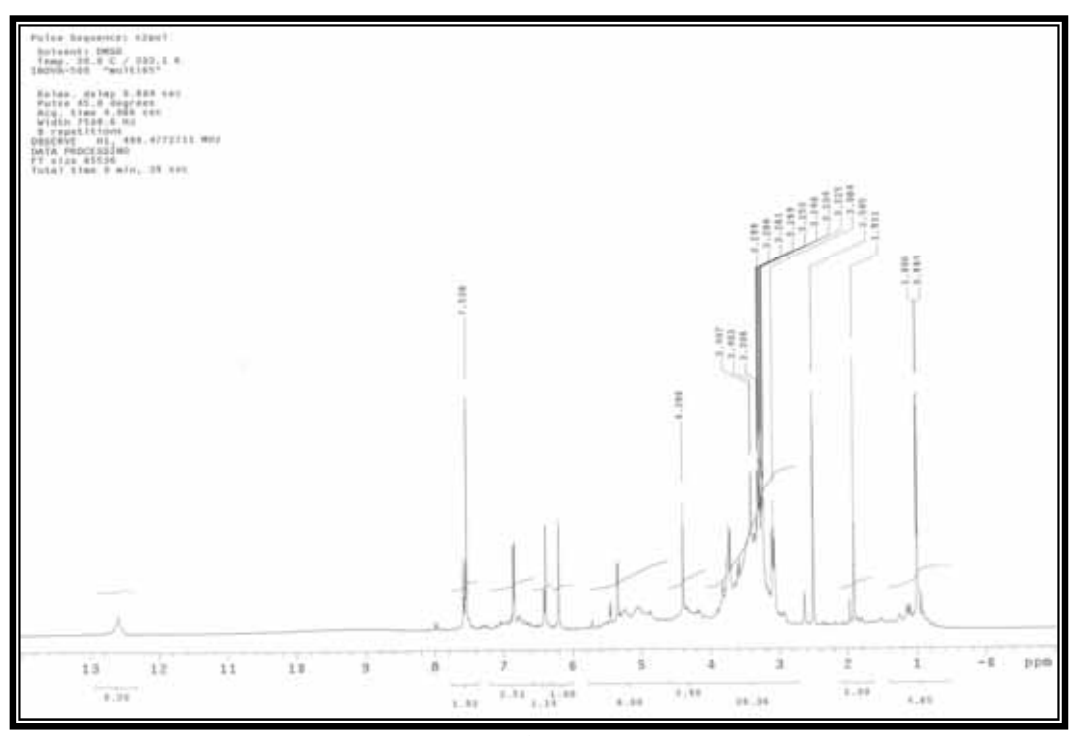
LAM, K. S. New aspects of natural products in drug discovery. **Trends in Microbiology**, v. 15, n. 6, p. 279–289, 2007.

LAPENNA, D.; CUCCURULLO, F. Hypochlorous acid and its pharmacological antagonism: in update picture. **General Pharmacology**, v. 27, p. 1145–1147, 1996.

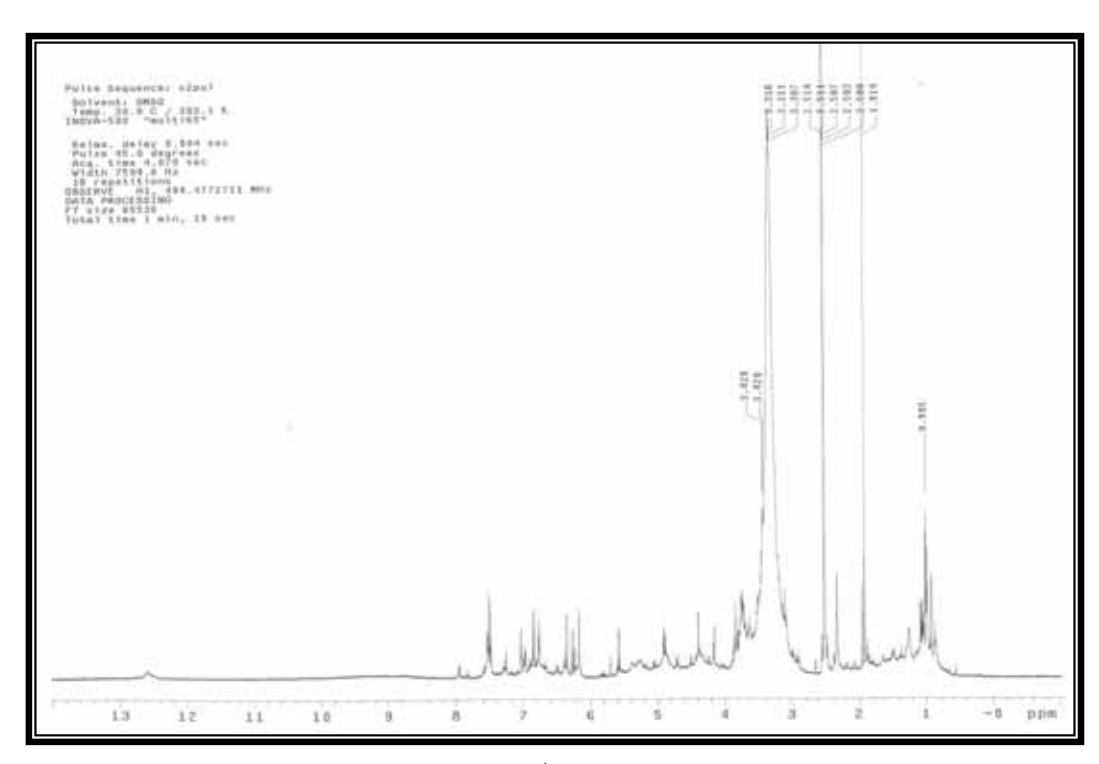
- LEITE, J. P. V.; OLIVEIRA, A. B.; LOMBARDI, J. A.; S. FILHO, J. D.; CHIARI, E. Trypanocidal activity of Triterpenes from *Arrabidaea triplinervia* and derivatives. **Biological & Pharmaceutical Bulletin**, v. 29, n. 11, p. 2307–2309, 2006.
- LIMA, C. S. A.; CAVALCANTI DE AMORIM, E. L.; XIATO DA FONSECA, K.; SENA, R. de; CHIAPPETA, A. A.; NUNES, X. P.; AGRA, M. F.; LEITÃO DA CUNHA, E. V.; SOBRAL DA SILVA, M.; BARBOSA FILHO, J. M. Antimicrobial activity of a mixture of two isomeric phenylpropanoid glycosides from *Arrabidaea harleyi* A.H. Gentry (Bignoniaceae). **Revista Brasileira de Ciências Farmacêuticas**, v. 39, n. 1 p. 77–81, 2003.
- LORENZI, H. **Árvores brasileiras:** manual de identificação e cultivo de plantas arbóreas nativas do Brasil. Nova Odessa: Plantarum, 1988. v.1. 352 p.
- MOREL, C.; SÉRAPHIN, D.; OGER, J.; LITAUDON, M.; SÉVENET, T.; RICHOMME, P.; BRUNETON, J. New Xanthone from *Calophyllum caledonicum*. **Journal of Natural Products**, v. 63, p. 1471–1474, 2000.
- OLIVEIRA, A. B.; RASLAN, D. S.; MIRAGLIA, M. C. M.; MESQUITA, A. A. L.; ZANI, C. L.; FERREIRA, D. T.; MAIA, J. G. S. Estrutura química e atividade biológica de naftoquinonas de Bignoniaceas brasileiras. **Química Nova**, v. 13, n. 4, p. 302–307, 1990.
- PAULETTI, P. M.; YOUNG, M. C. M.; BOLZANI, V. S. Constituintes químicos de *Arrabidaea samydoides* (Bignoniaceae). **Química Nova**, v. 26, n. 5, p. 641–643, 2003.
- PAULETTI, P. M.; CASTRO-GAMBOA, I.; SILVA, D. H. S.; YOUNG, M. C. M.; TOMAZELA, D. M.; EBERLIN, M. N.; BOLZANI, V. S. New Antioxidant C Glucosylxanthones from the stems of *Arrabidaea samydoides*. **Journal of Natural Products**, v. 66, p. 1382–1387, 2003.
- PAULETTI, P. M. Constituintes químicos de *Arrabidaea samydoides* (Bignoniaceae): uma contribuição para a pesquisa de bioprospecção da flora paulista. 2004. 139 f. Tese (Doutorado em Química) Instituto de Química, Universidade Estadual Paulista, Araraquara, 2004.
- PIETTA, P. Flavonoids as antioxidants. **Journal of Natural Products**, v. 63, p. 1035–1042, 2000.
- REDDY, A. M.; REDDY, V. S.; SCHEFFLER, B. E.; WIENAND, U.; REDDY, A. R. Novel transgenic rice overexpressing anthocyanidin synthase accumulates a mixture of flavonoids leading to an increased antioxidant potential. **Metabolic Engineering**, v. 9, p. 95–111, 2007.

- ROCHA, A. D.; OLIVEIRA, A. B. de; SOUZA FILHO, J. D. de; LOMBARDI, J. A.; BRAGA, F. C. Antifungal constituents of *Clytostoma ramentaceum* and *Mansoa hirsuta*. **Phytotherapy Research**, v. 18, n. 6, p. 463–467, 2004.
- SILVA, M. M.; QUEIROZ, L. P. A família Bignoniaceae na região de Catolés, Chapada Diamantina, Bahia, Brasil. **Sitientibus Série Ciências Biológicas**, v. 3, n. 1/2, p. 3–21, 2003.
- SILVA, O. S. Oxidação da melatonina catalisada por mieloperoxidase em neutrófilos ativados. 2001. 67 f. Dissertação (Mestrado em Farmácia) Faculdade de Ciências Farmacêuticas, Universidade de São Paulo, São Paulo, 2001.
- TAKEMURA, O. S.; IIUMA, M.; TOSA, H.; MIGUEL, O. G.; MOREIRA, E. A.; NOZAWA, Y. A flavone from leaves of *Arrabidaea chica* F. Cuprea. **Phytochemistry**, v. 38, n. 5, p. 1299–1300, 1995.
- TEWTRAKUL, S.; NAKAMURA, N.; HATTORI, M.; FUJIWARA, T.; SUPAVITA, T. Flavone and Flavonol Glycosides from the leaves of *Thevetia peruviana* and Their HIV-1 Reverse Transcriptase and HIV-1 Integrase Inhibitory Activities. **Chemical and Pharmaceutical Bulletin**, v. 50, n. 5, p. 630–635, 2002.
- VANNUCCHI, H.; MOREIRA, E. A. M.; CUNHA, D. F.; JUNQUEIRA-FERNACO, M. V. M.; BERNARDES, M. M.; JORDÃO JÚNIOR, A. A. Role of nutrients on lipid peroxidation and antioxidant defense system. **Medicina Ribeirão Preto**, v. 31, p. 31-44, 1998.
- VERVERIDIS, F.; TRANTAS, E.; DOUGLAS, C.; VOLLMER, G.; KRETZSCHMAR, G.; PANOPOULOS, N. Biotechnology of flavonoids and other phenylpropanoid-derived natural products. Part I: chemical diversity, impacts on plant biology and human health. **Plant Biotechnology Journal**, v. 2, p. 1214–1234, 2007.
- VON POSER, G. L.; SCHRIPSEMA, J.; HENRIQUES, A. T.; JENSEN, S. R. The distribution of iridoids in Bignoniaceae. **Biochemical Systematic and Ecology**, v. 28, p. 351–366, 2000.
- WEISS, S. J. Tissue destruction by neutrophils. **New England Journal of Medicine**, v. 320, p. 365–376, 1989.
- YEN, G. C.; LAI, H. H.; CHOU, H.Y. Nitric oxide scavenging and antioxidant effects of *Uraria crinita* root. **Food Chemistry**, v. 74, p. 471–478, 2001.
- ZORN, B.; GARCIA-PIÑERES, A. J.; CASTRO, V.; MURILLO, R.; MORA, G.; MERFORT, I. 3-Desoxyanthocyanidins from *Arrabidaea chica*. **Phytochemistry**, v. 56, p. 831–835, 2001.

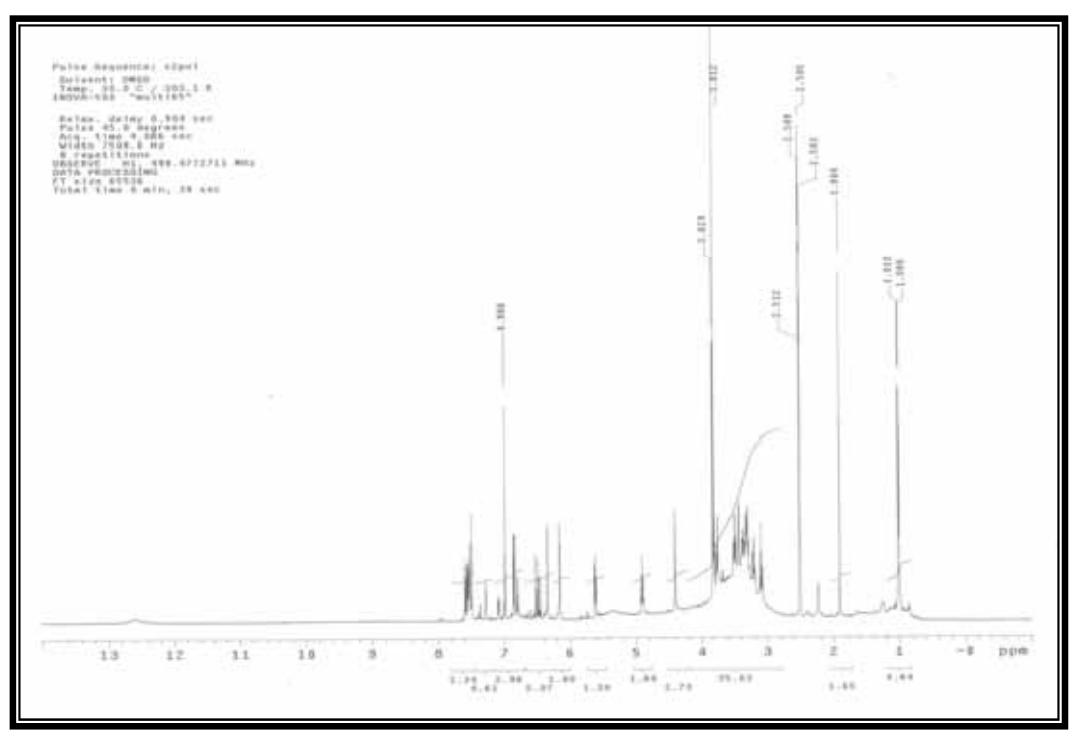
Anexoss



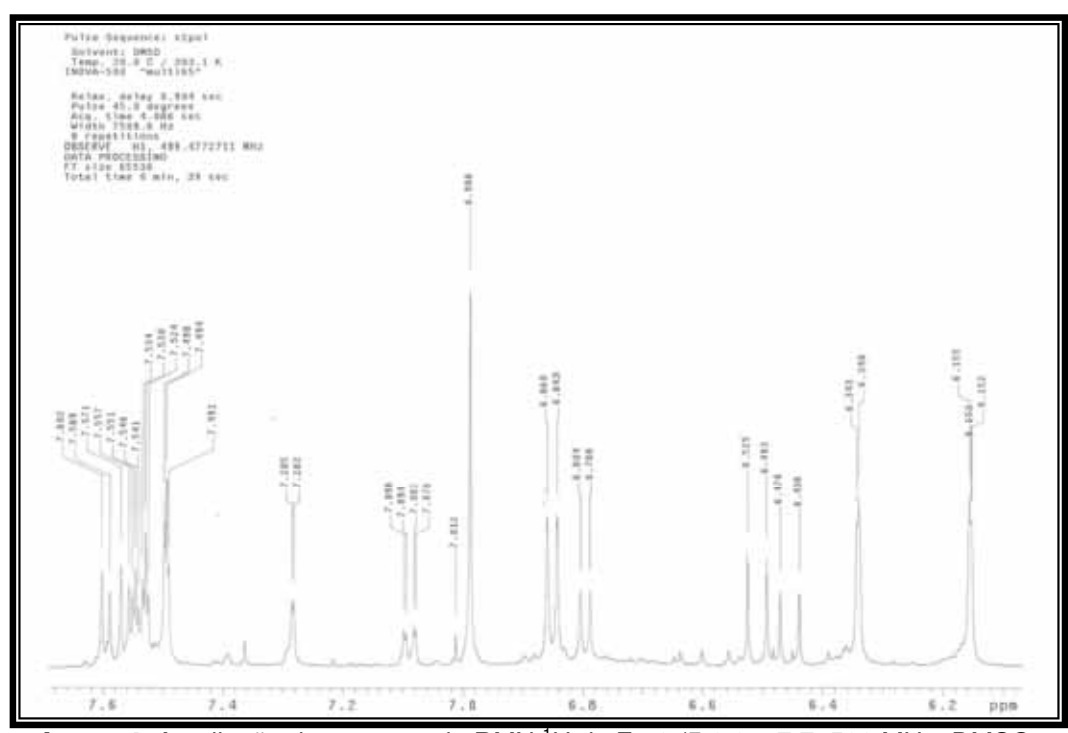
Anexo 1. Espectro de RMN de ¹H de Fra3 (500 MHz – DMSO-*d*₆)



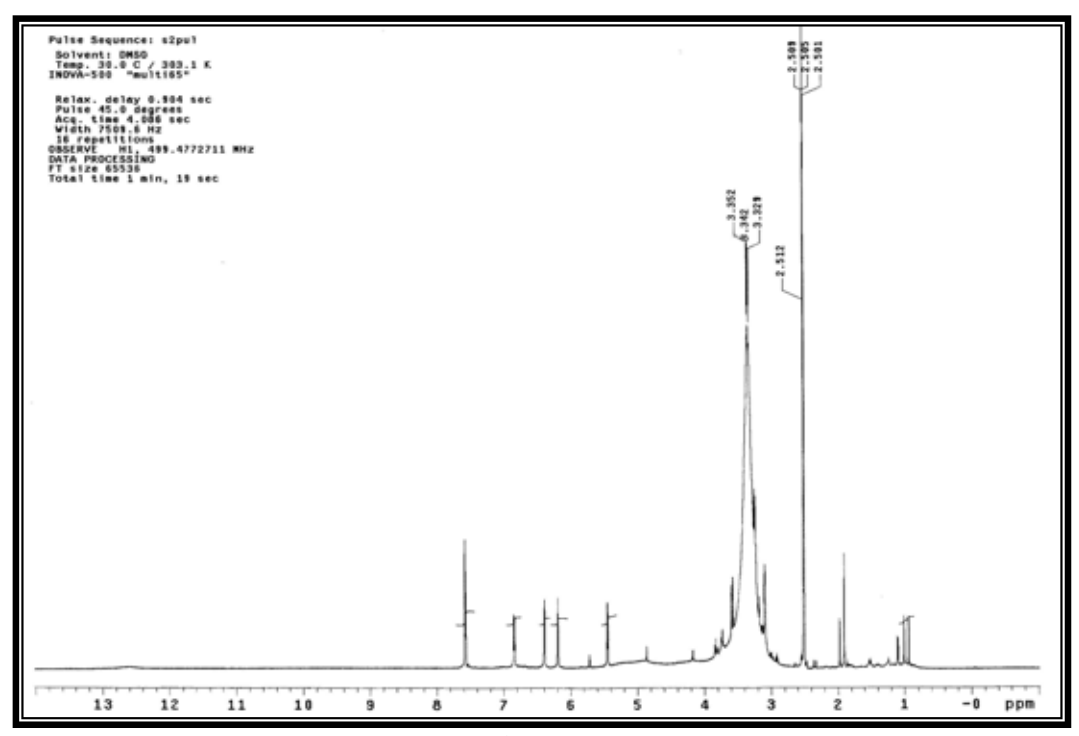
Anexo 2. Espectro de RMN de ¹H de Fra5 (500 MHz – DMSO-*d*₆)



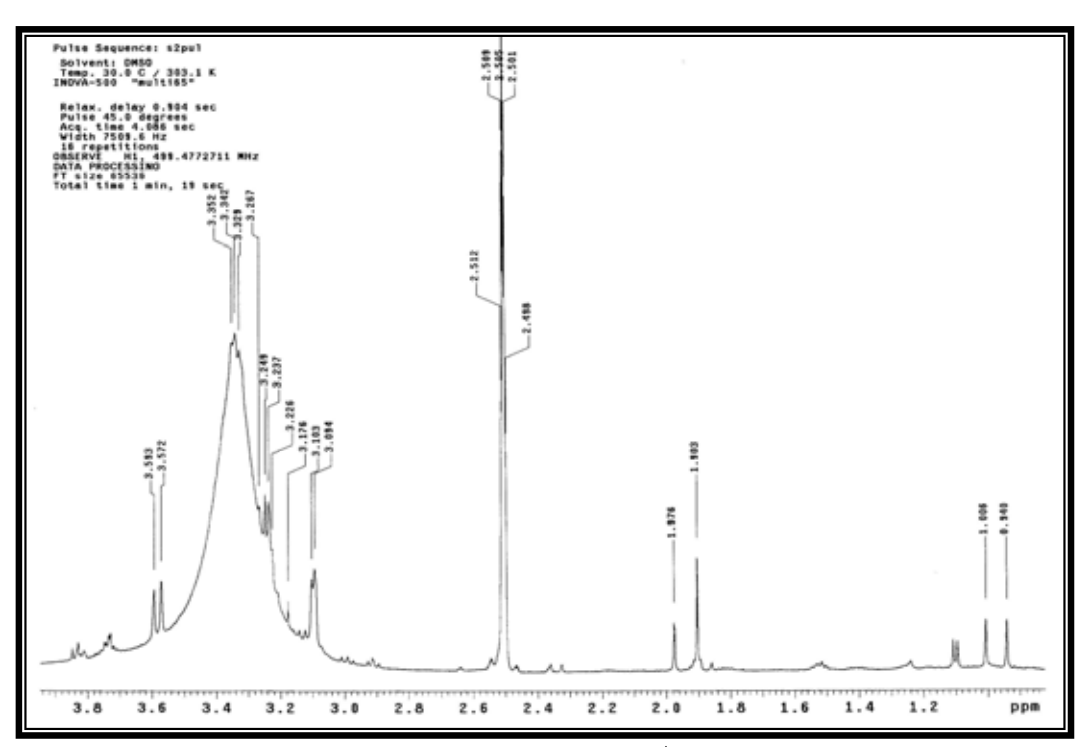
Anexo 3. Espectro de RMN ¹H de Fra8 (500 MHz – DMSO-d₆)



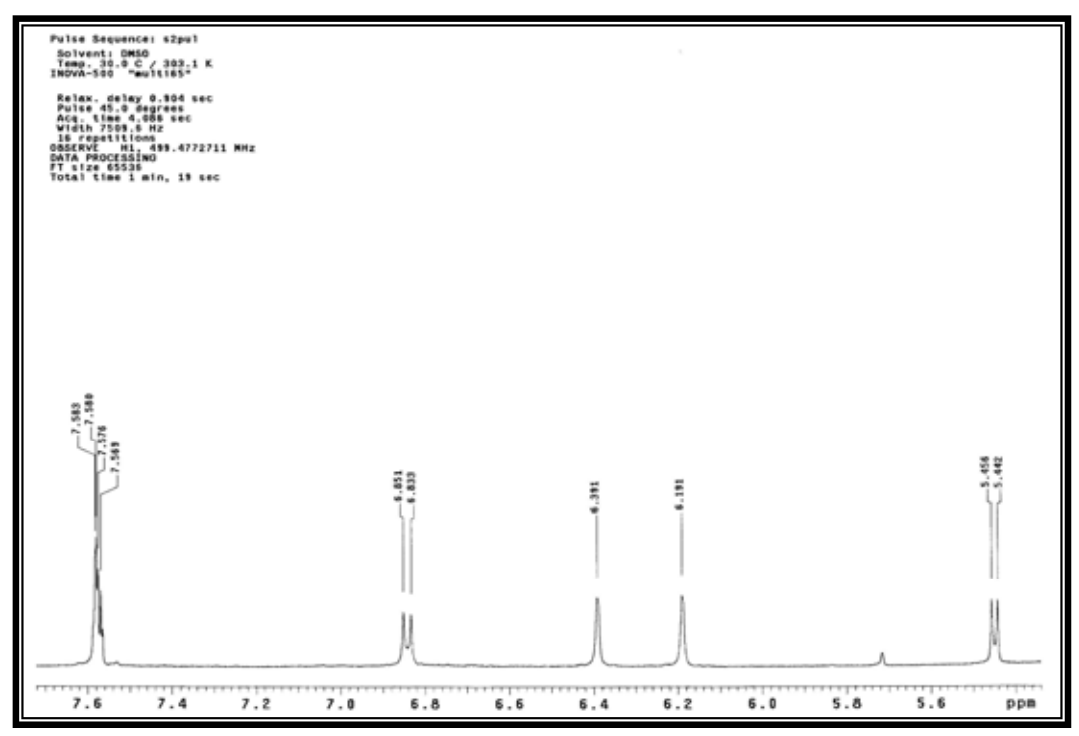
Anexo 4. Ampliação do espectro de RMN 1 H de Fra8 (δ 6,0 – 7,7; 500 MHz, DMSO- d_6)



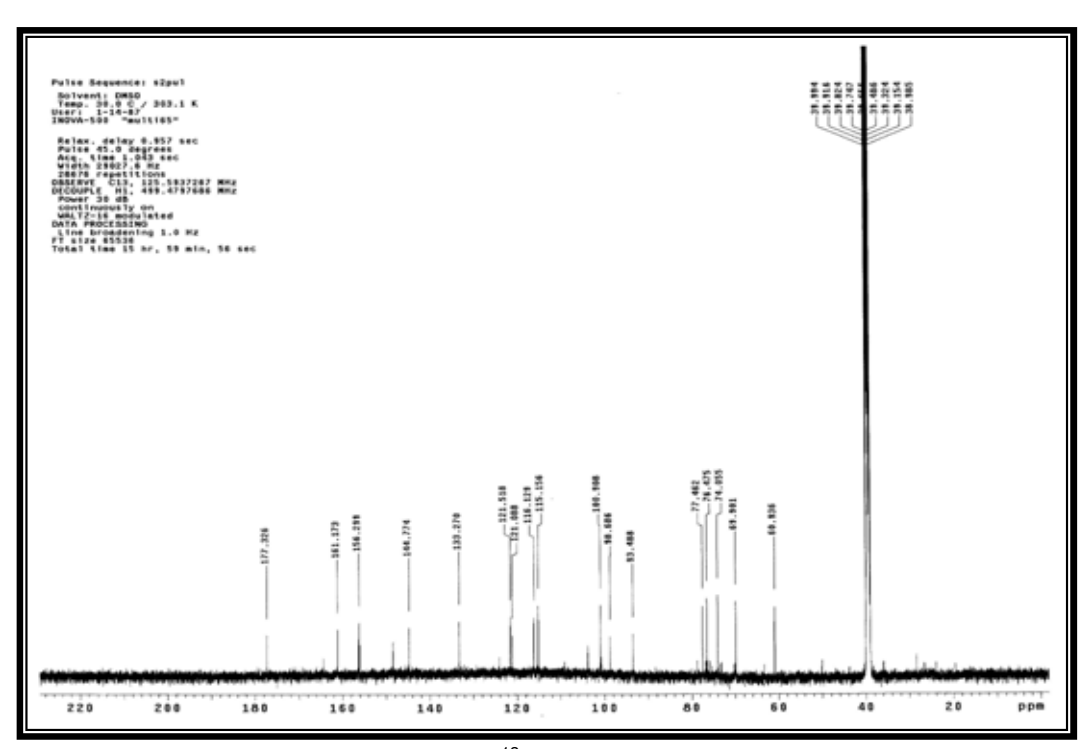
Anexo 5. Espectro de RMN de ¹H do flavonol I (500 MHz – DMSO-*d*₆)



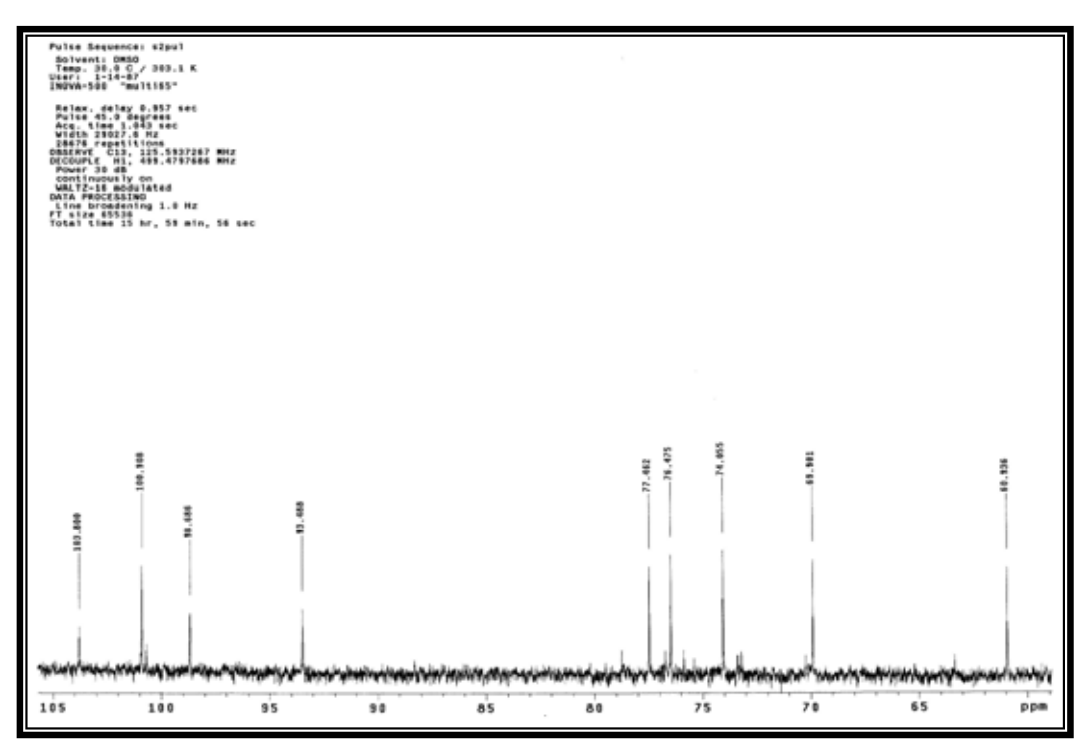
Anexo 6. Ampliação do espectro de RMN de 1H (δ 0 - 4,0) do flavonol I



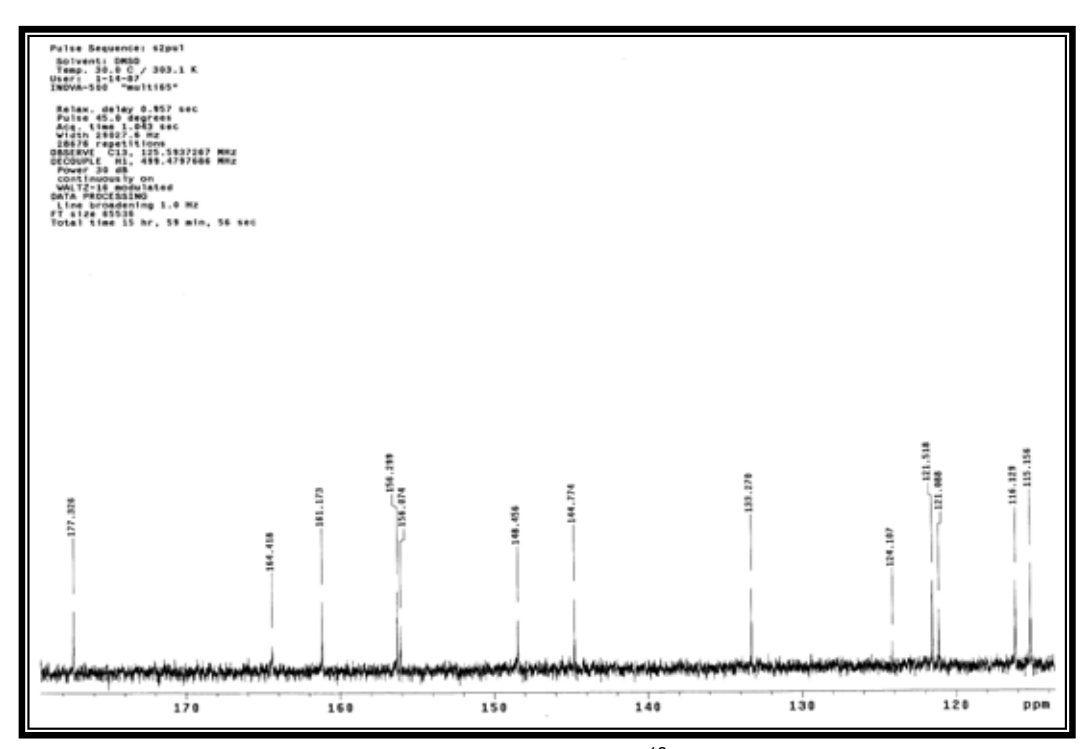
Anexo 7. Ampliação do espectro de RMN de 1H (δ 5,4 - 7,7) do flavonol I



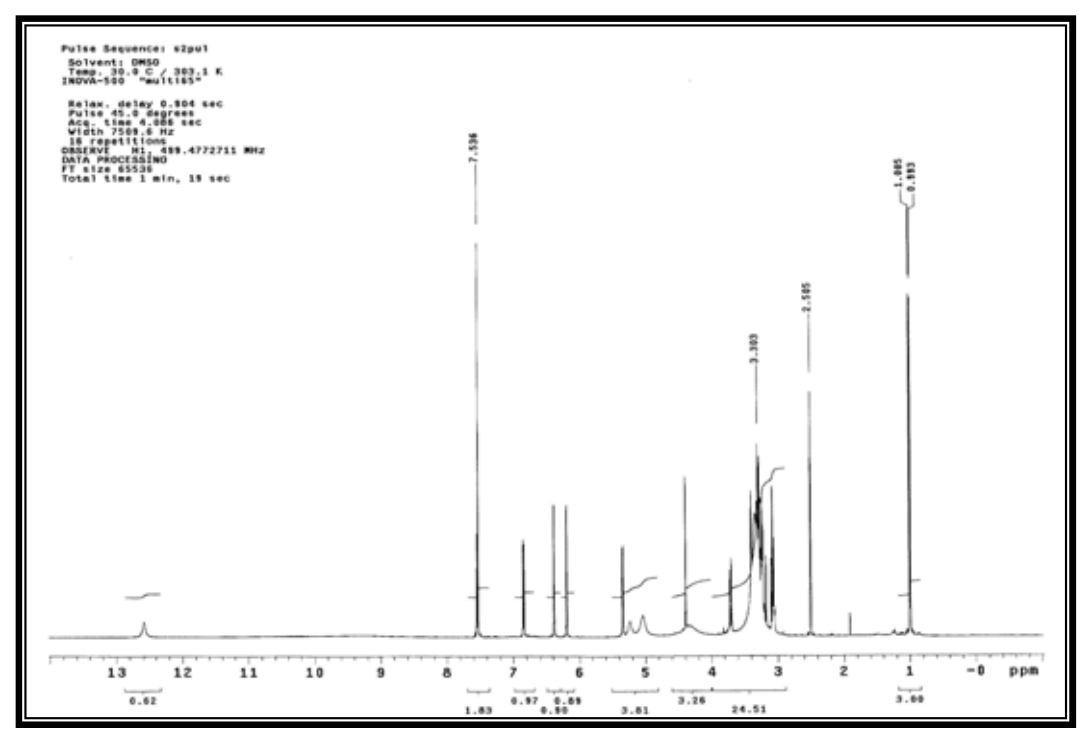
Anexo 8. Espectro de RMN de 13 C do flavonol I (126 MHz – DMSO- d_6)



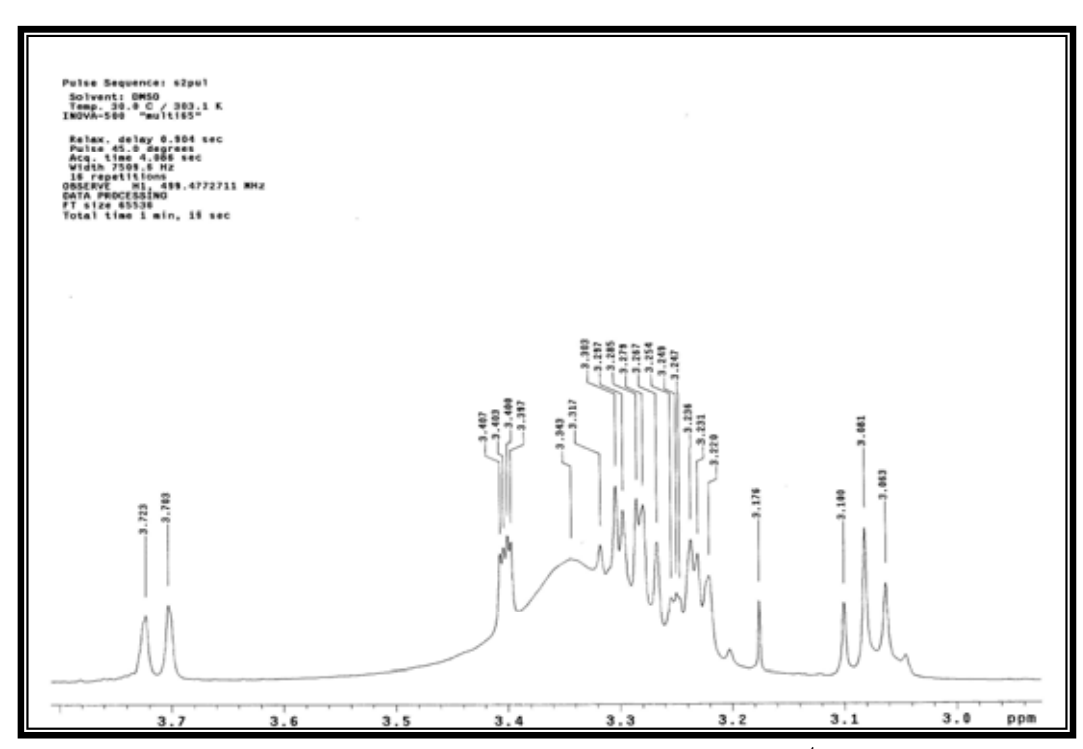
Anexo 9. Ampliação do espectro de RMN de 13 C (δ 60 – 105) do flavonol I



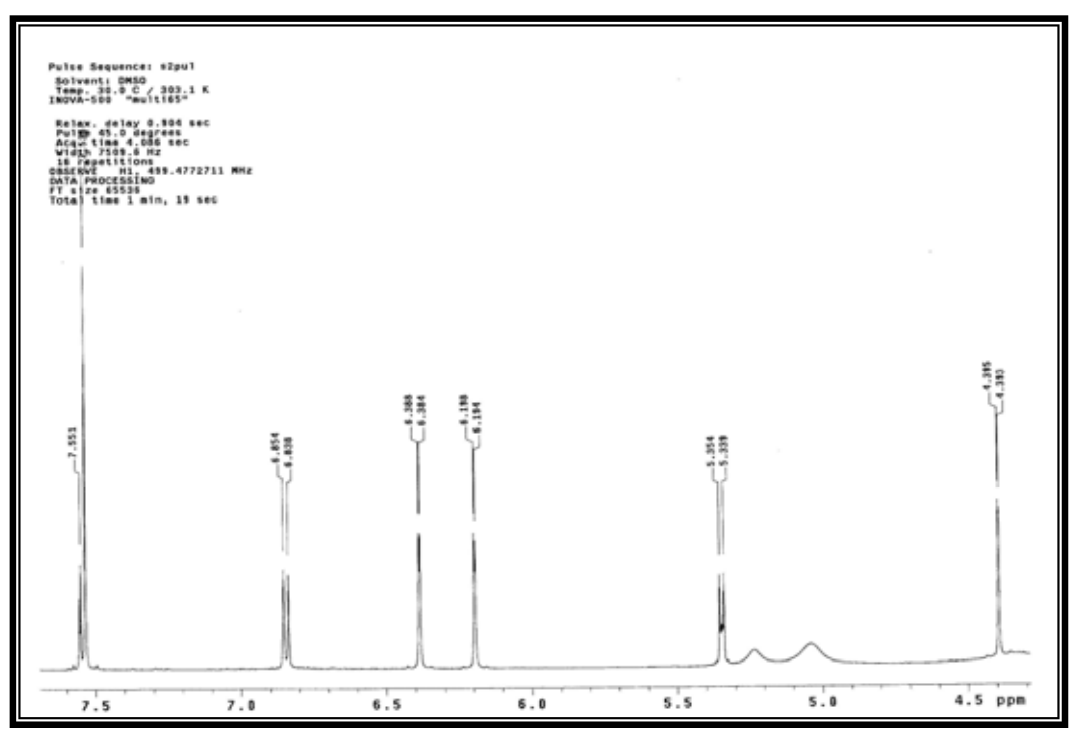
Anexo 10. Ampliação do espectro de RMN de 13 C (δ 115 – 180) do flavonol I



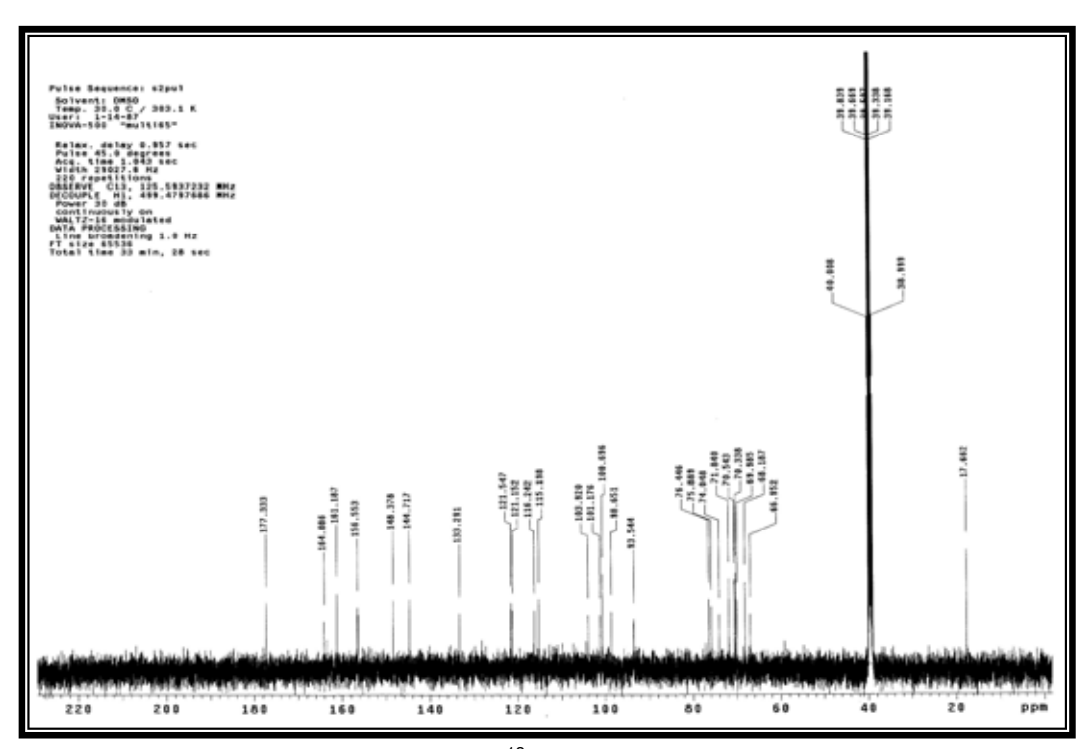
Anexo 11. Espectro de RMN de ¹H do flavonol II (500 MHz – DMSO-*d*₆)



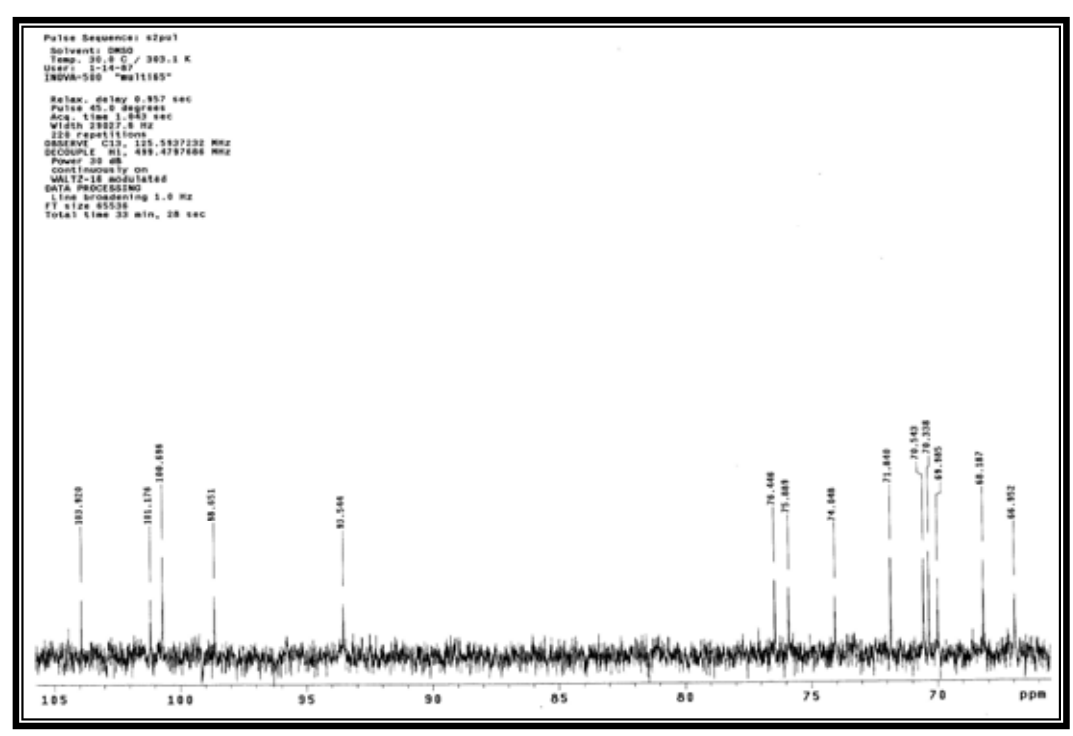
Anexo 12. Ampliação do espectro de RMN (δ 2,5 - 4,0) de 1 H do flavonol **II**



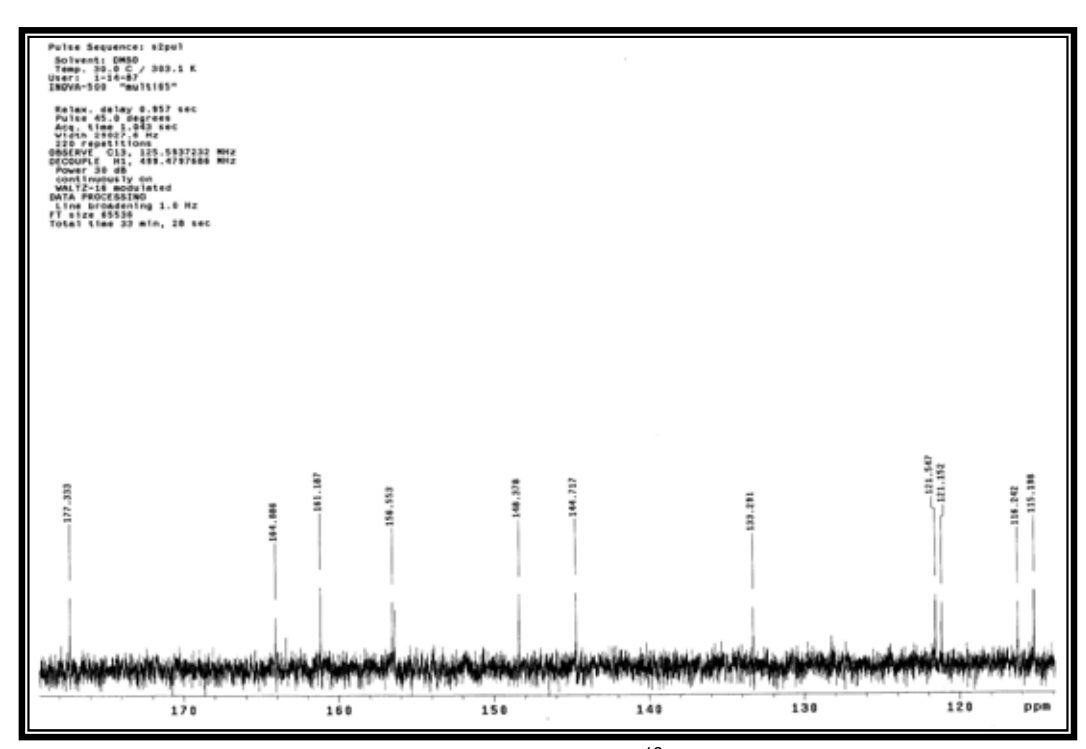
Anexo 13. Ampliação do espectro de RMN de 1 H (δ 4,0 - 7,6) do flavonol II



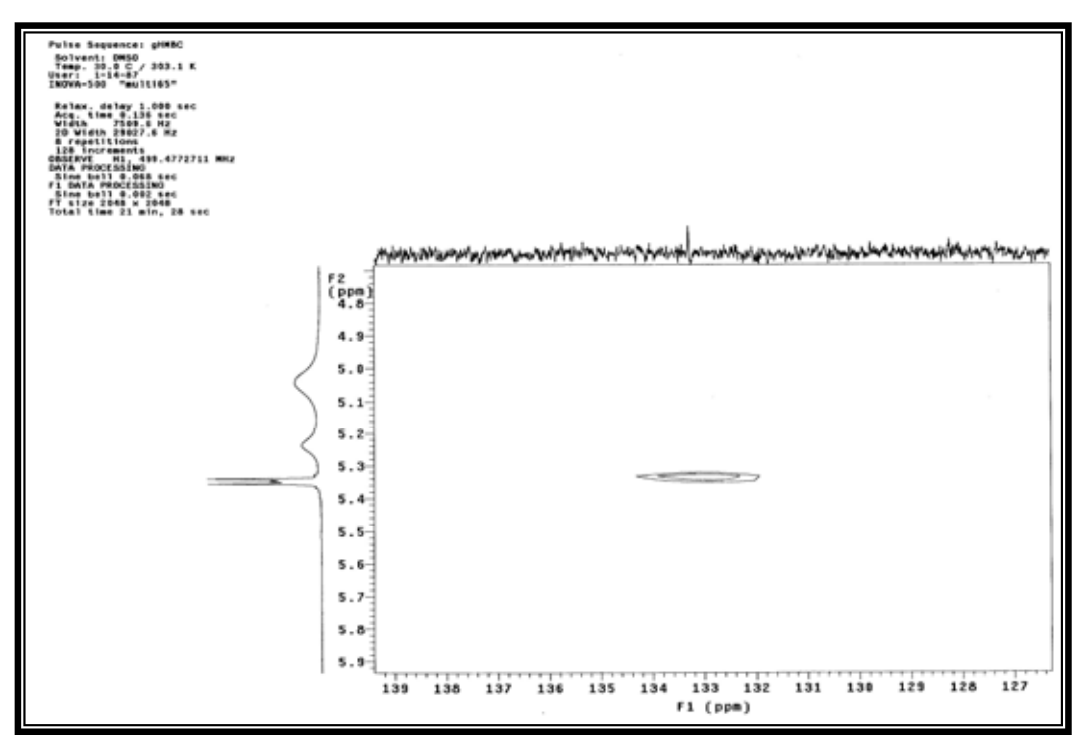
Anexo 14. Espectro de RMN de 13 C do flavonol **II** (126 MHz – DMSO- d_6)



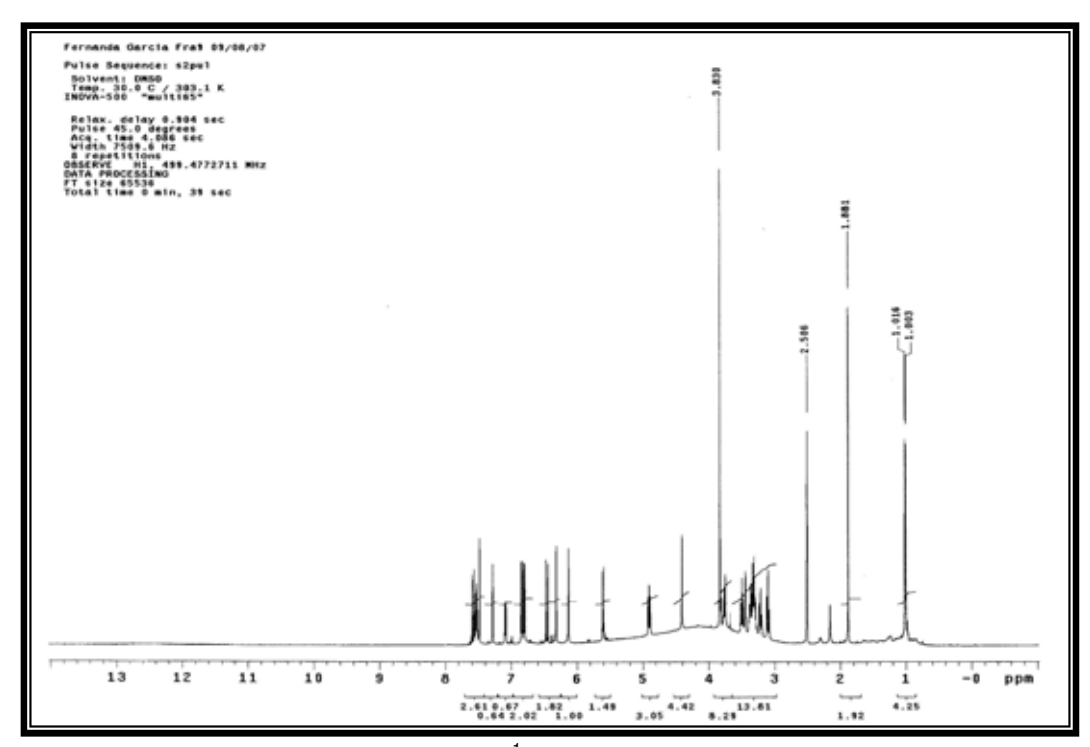
Anexo 15. Ampliação do espectro de RMN de 13 C (δ 65 – 105) do flavonol II



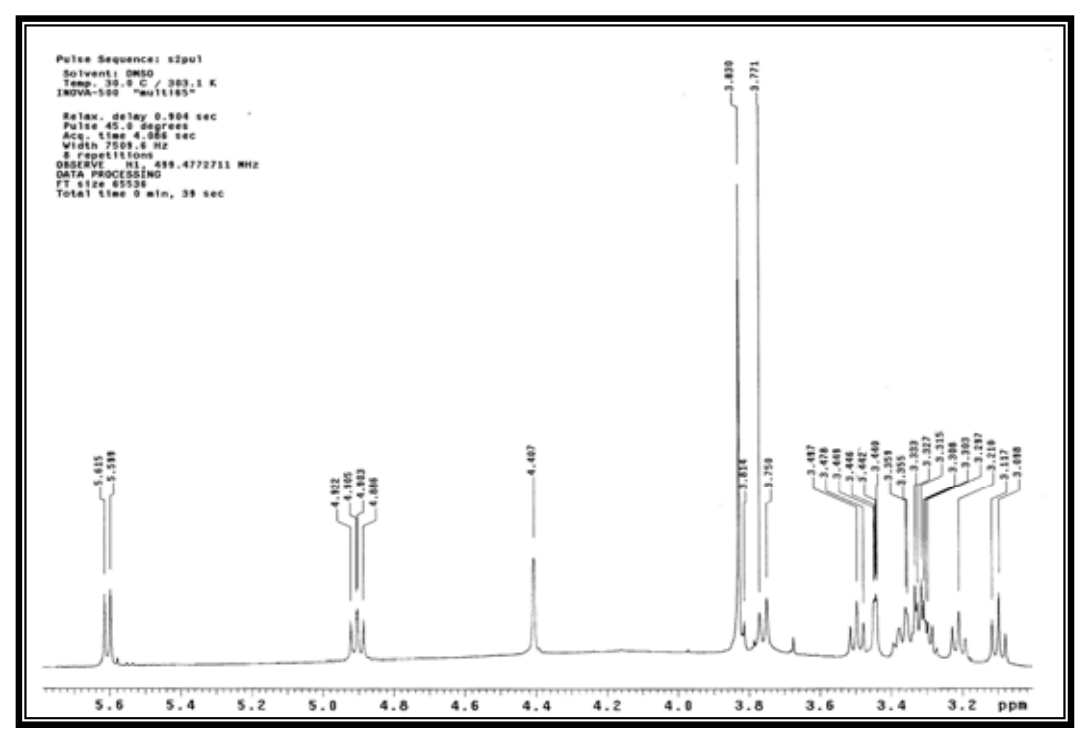
Anexo 16. Ampliação do espectro de RMN de 13 C (δ 115 – 178) do flavonol II



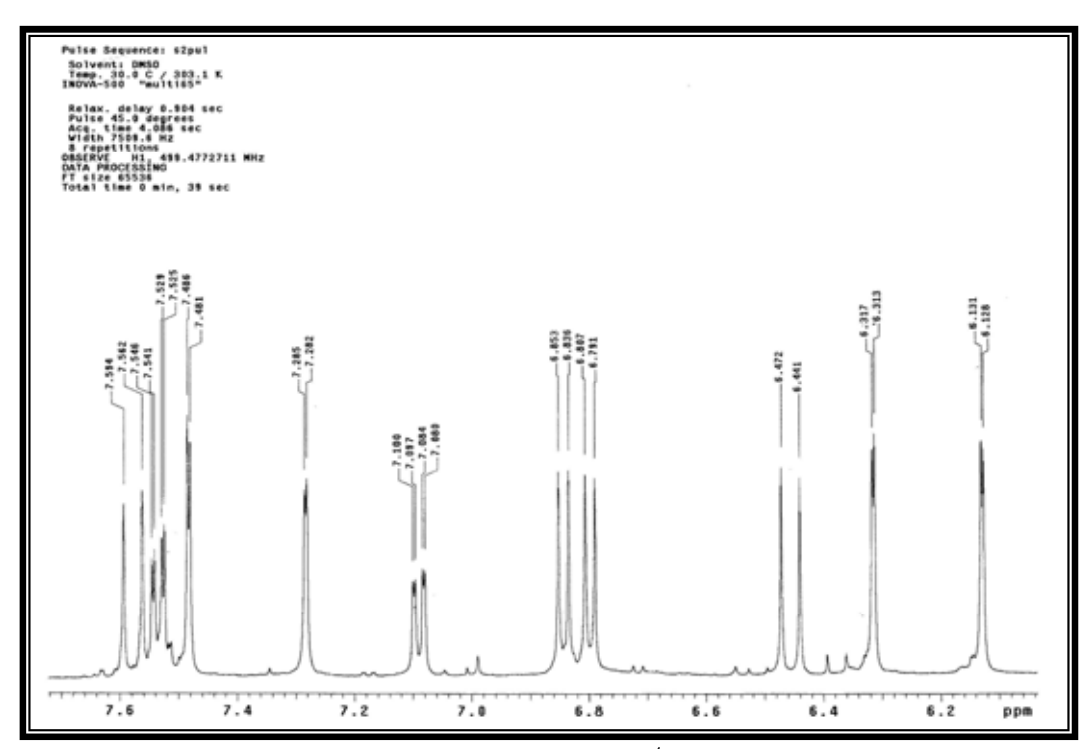
Anexo 17. Ampliação do mapa de contornos do gHMBC do flavonol **II** (500 MHz – DMSO- d_6)



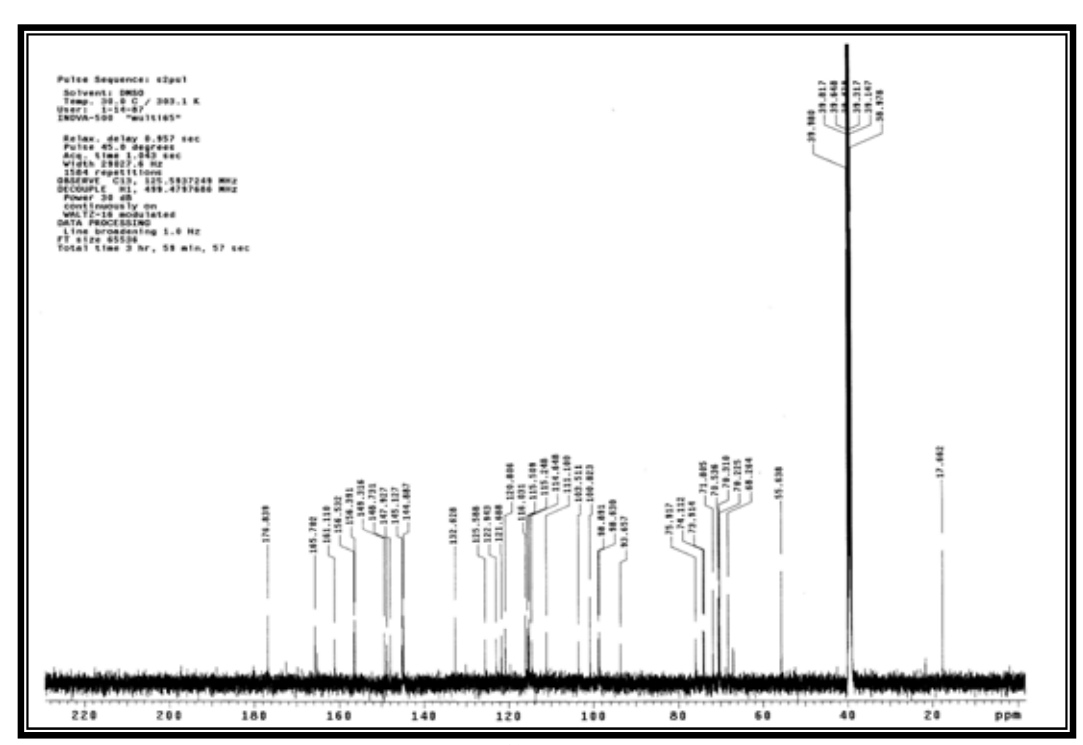
Anexo 18. Espectro de RMN de ¹H do flavonol III (500 MHz - DMSO-d₆)



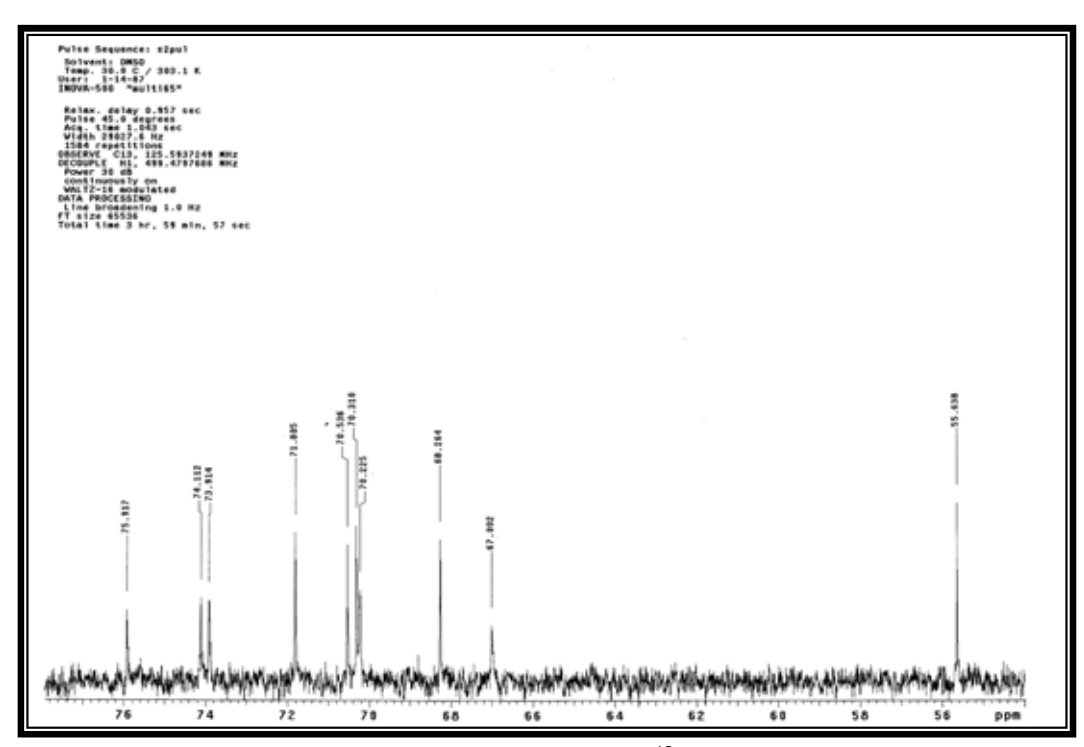
Anexo 19. Ampliação do espectro de RMN de 1 H (δ 3,0 - 5,7) do flavonol **III**



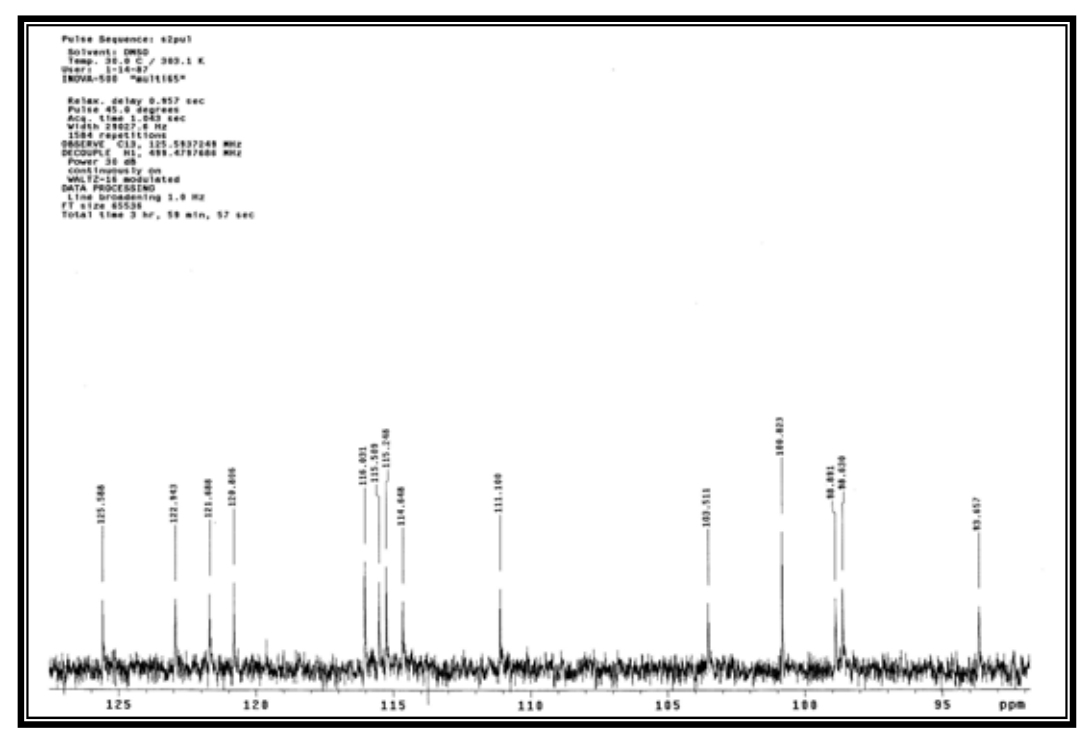
Anexo 20. Ampliação do espectro de RMN de 1H (δ 6,0 - 7,7) do flavonol **III**



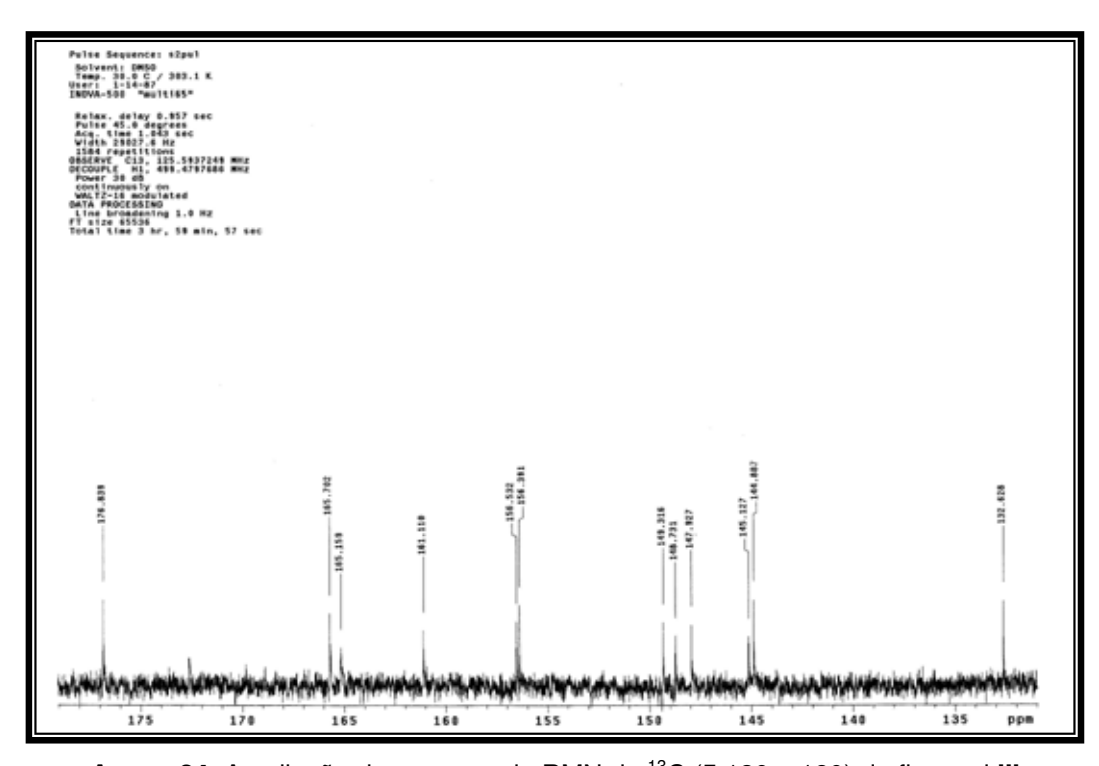
Anexo 21. Espectro de RMN de ¹³C do flavonol III (126 MHz - DMSO-*d*₆)



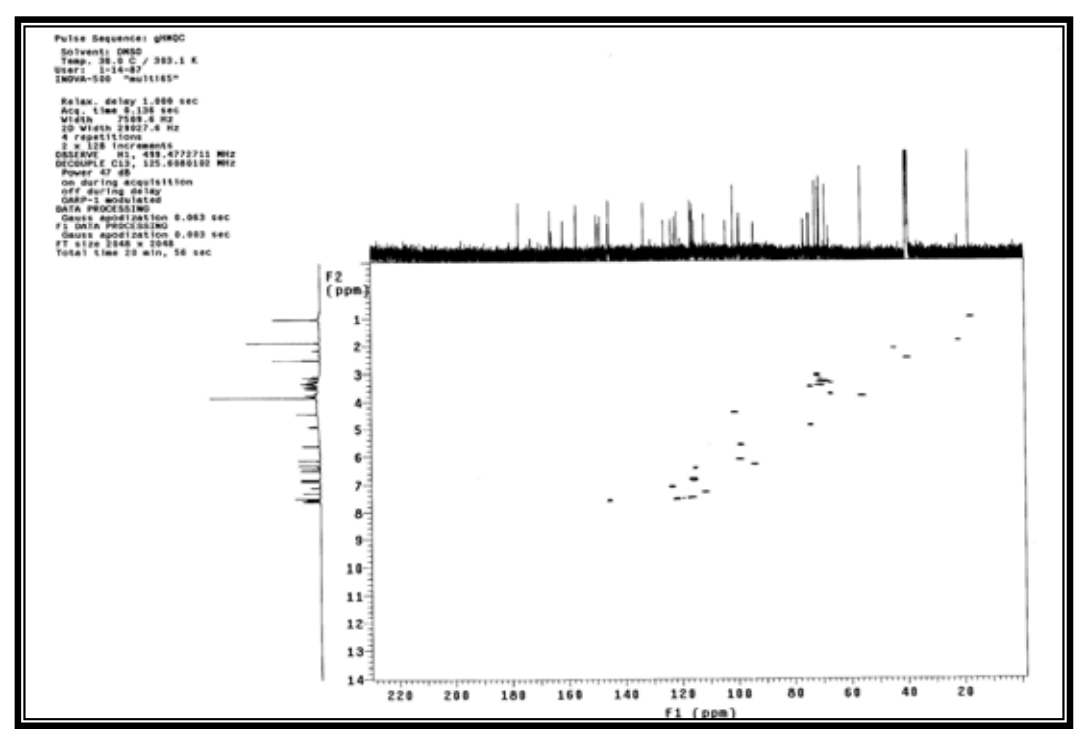
Anexo 22. Ampliação do espectro de RMN de 13 C (δ 55 – 77) do flavonol **III**



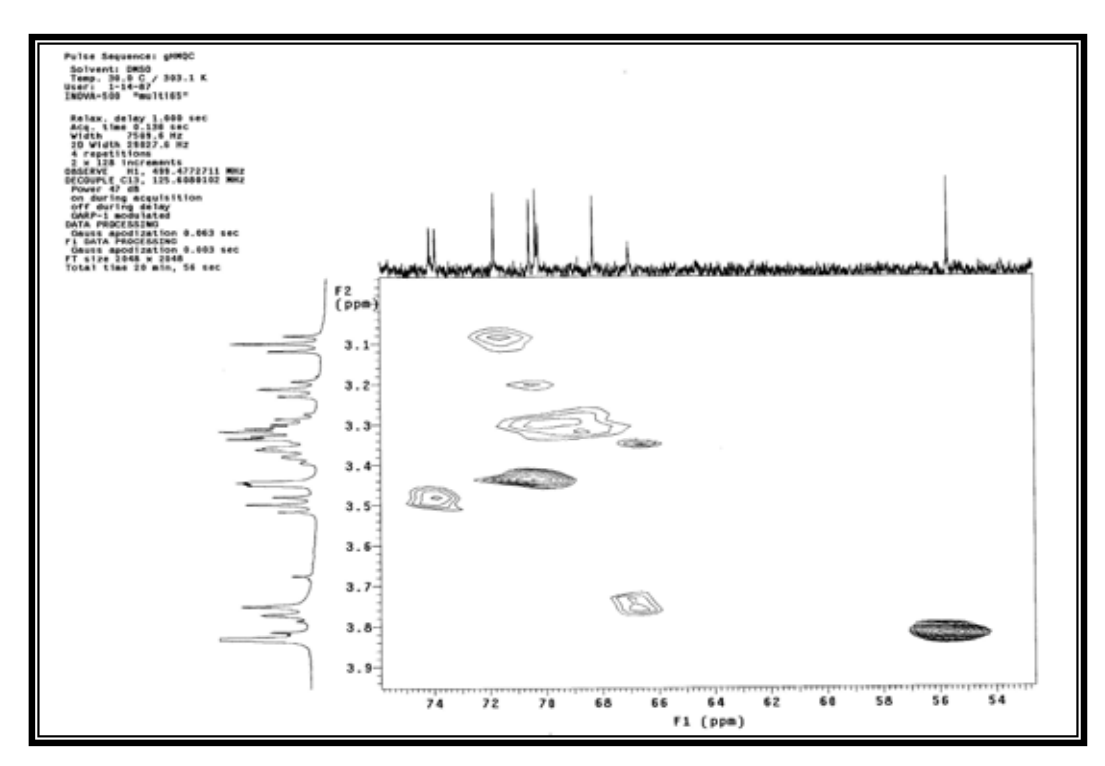
Anexo 23. Ampliação do espectro de RMN de 13 C (δ 90 – 126) do flavonol **III**



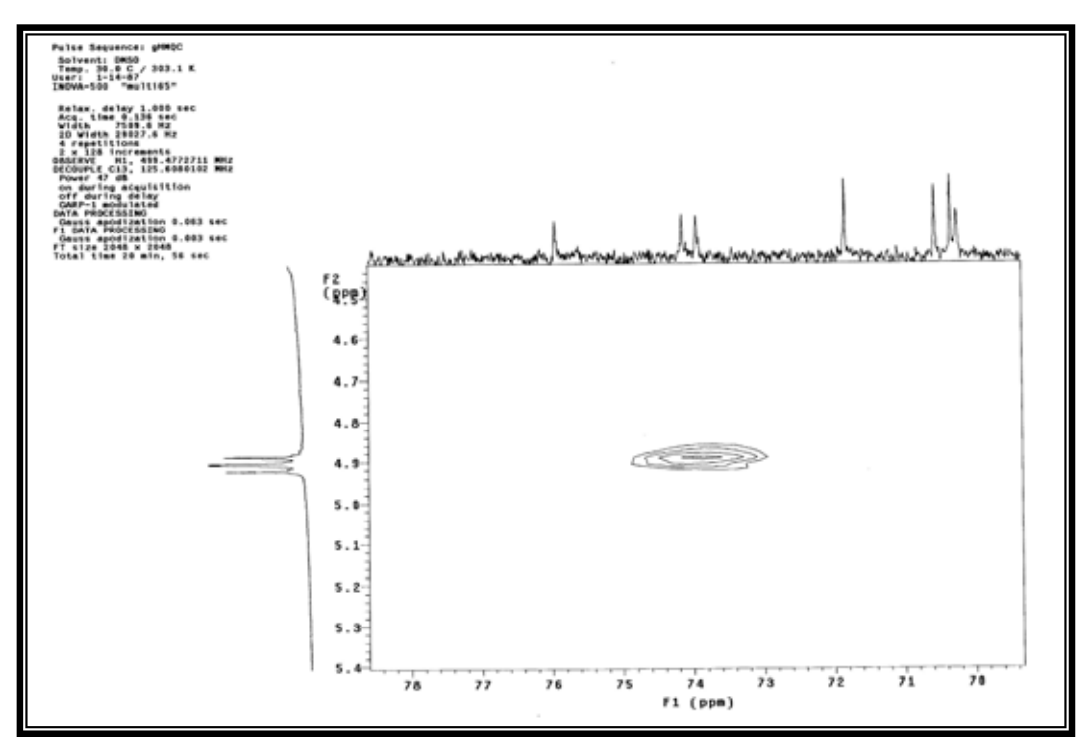
Anexo 24. Ampliação do espectro de RMN de 13 C (δ 130 – 180) do flavonol **III**



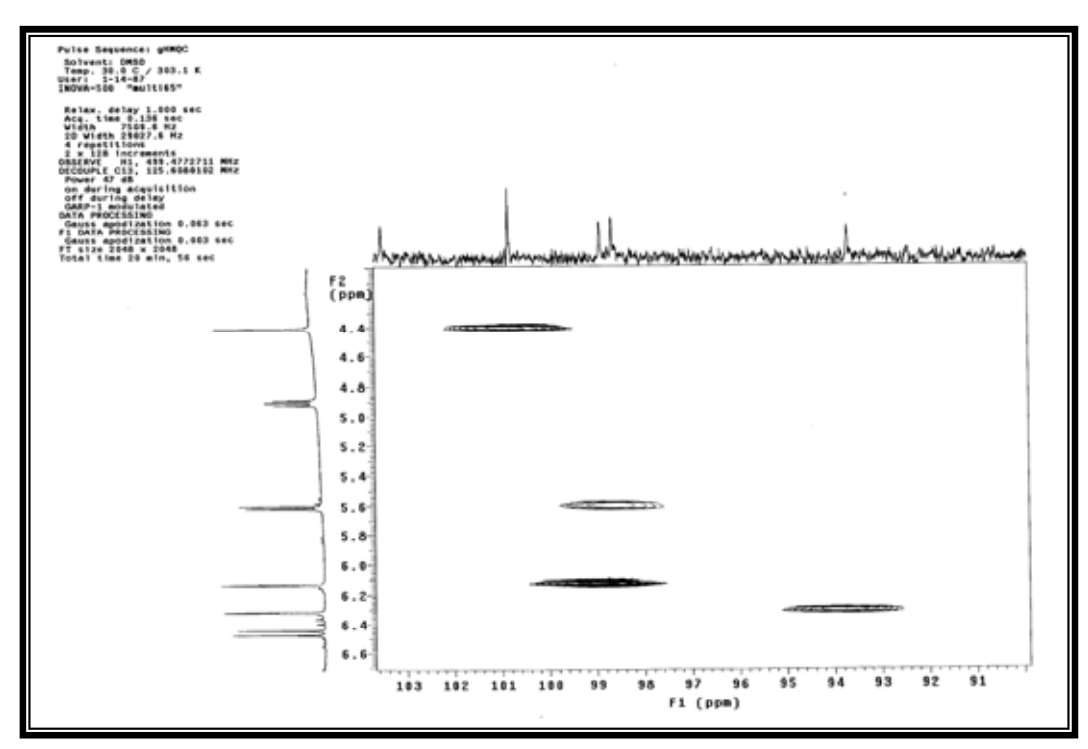
Anexo 25. Mapa de contornos gHMQC do flavonol **III** (500 MHz - DMSO- d_6)



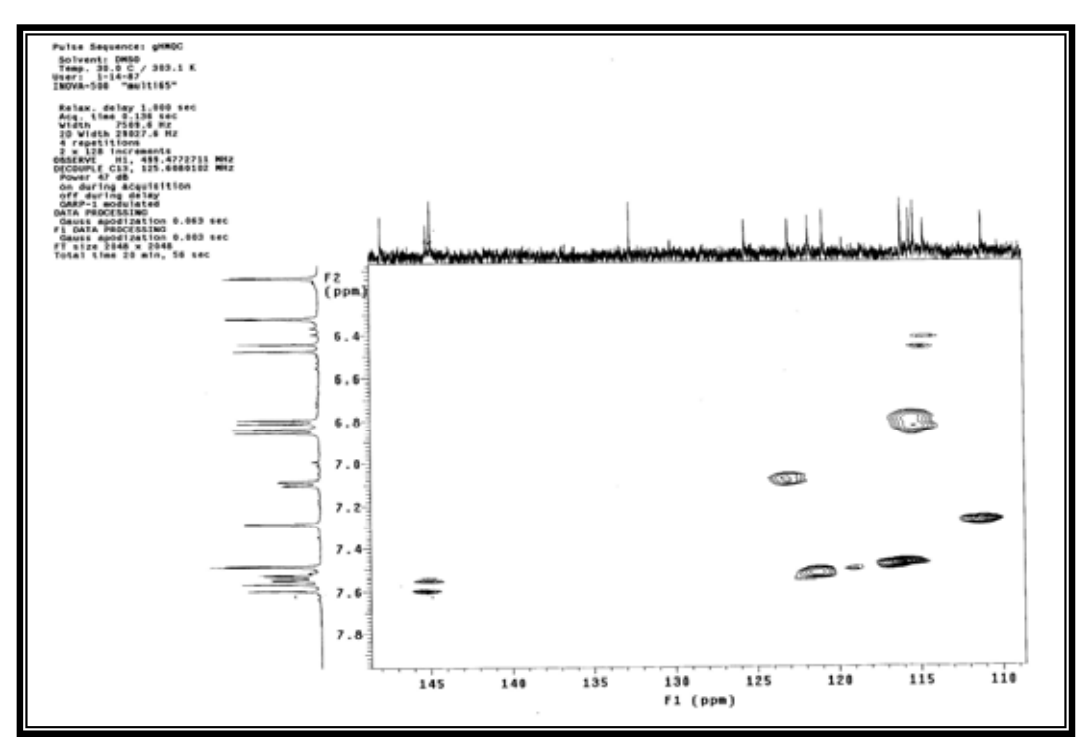
Anexo 26. Ampliação do mapa de contornos gHMQC (δ 53 – 75) do flavonol **III**



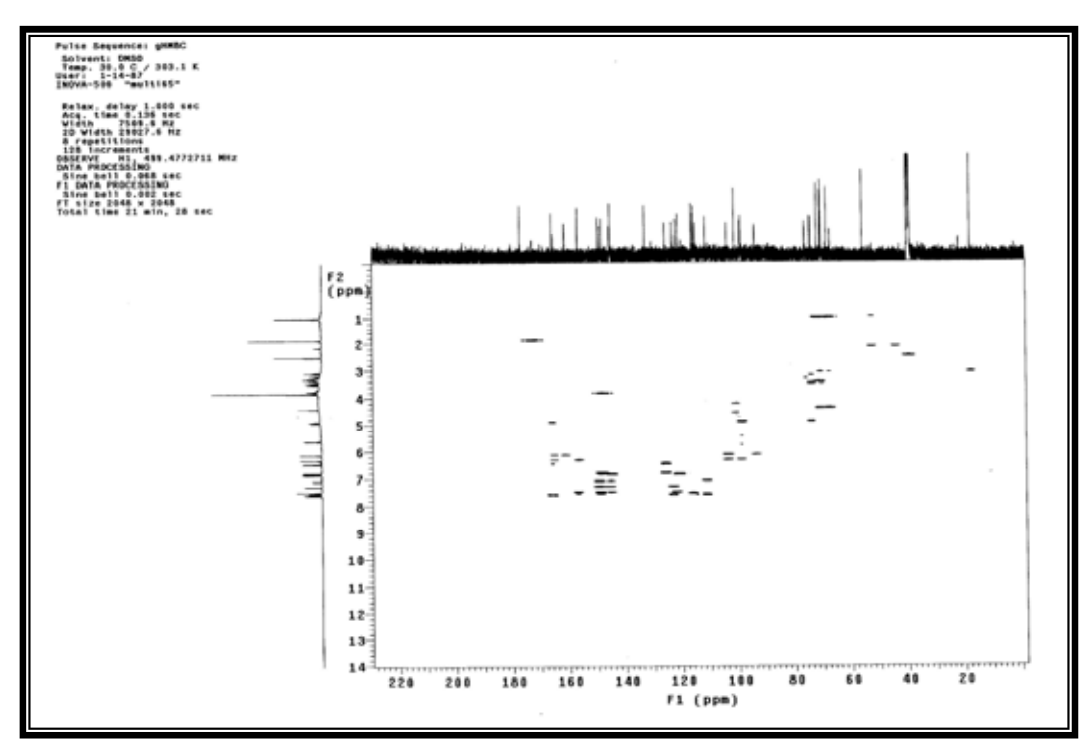
Anexo 27. Ampliação do mapa de contornos gHMQC (δ 70 – 78) do flavonol **III**



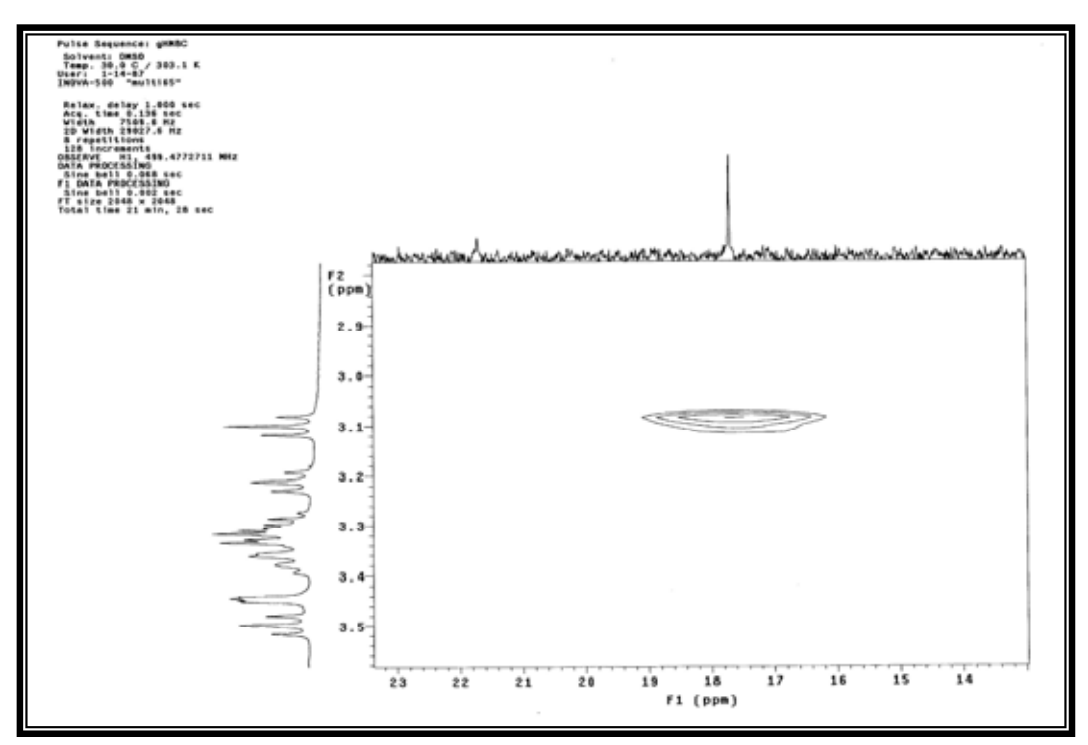
Anexo 28. Ampliação do mapa de contornos gHMQC (δ 91 – 103) do flavonol **III**



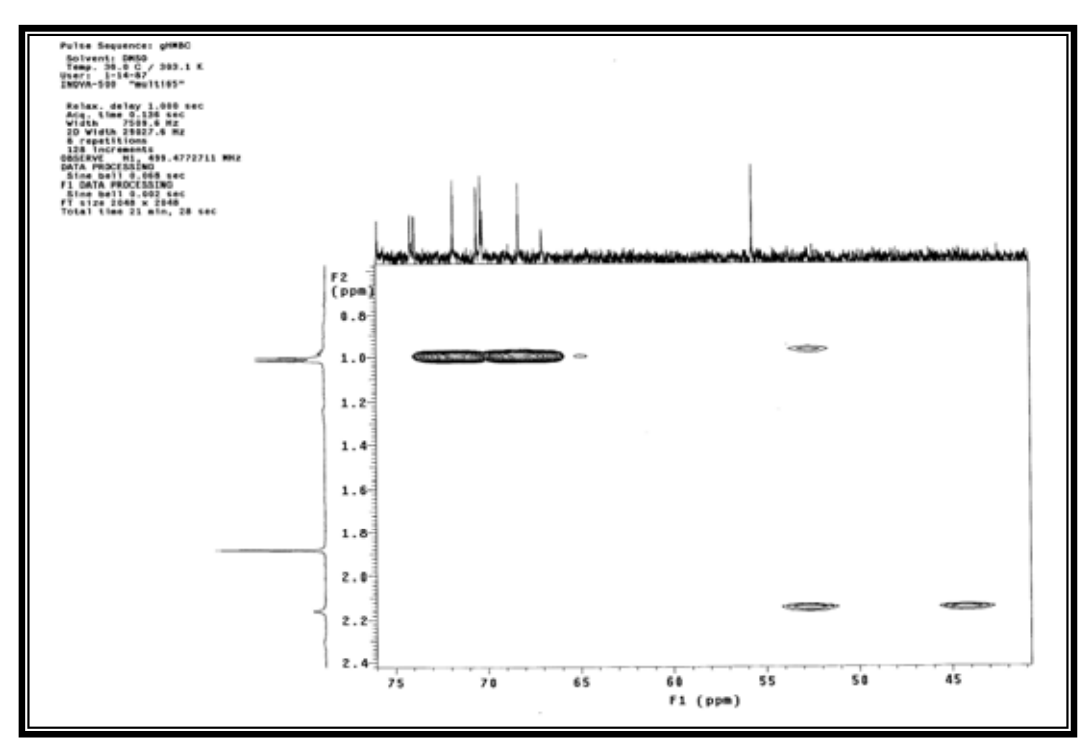
Anexo 29. Ampliação do mapa de contornos gHMQC (δ 110 – 145) do flavonol **III**



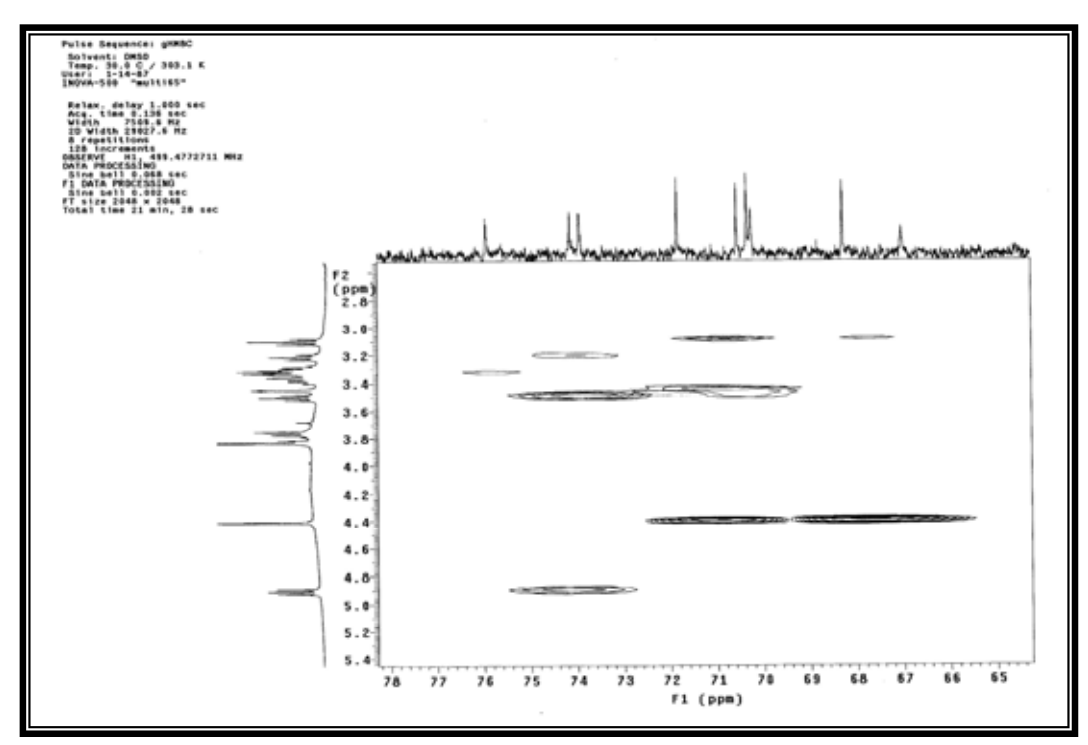
Anexo 30. Mapa de contornos gHMBC do flavonol III (500 MHz - DMSO-d₆)



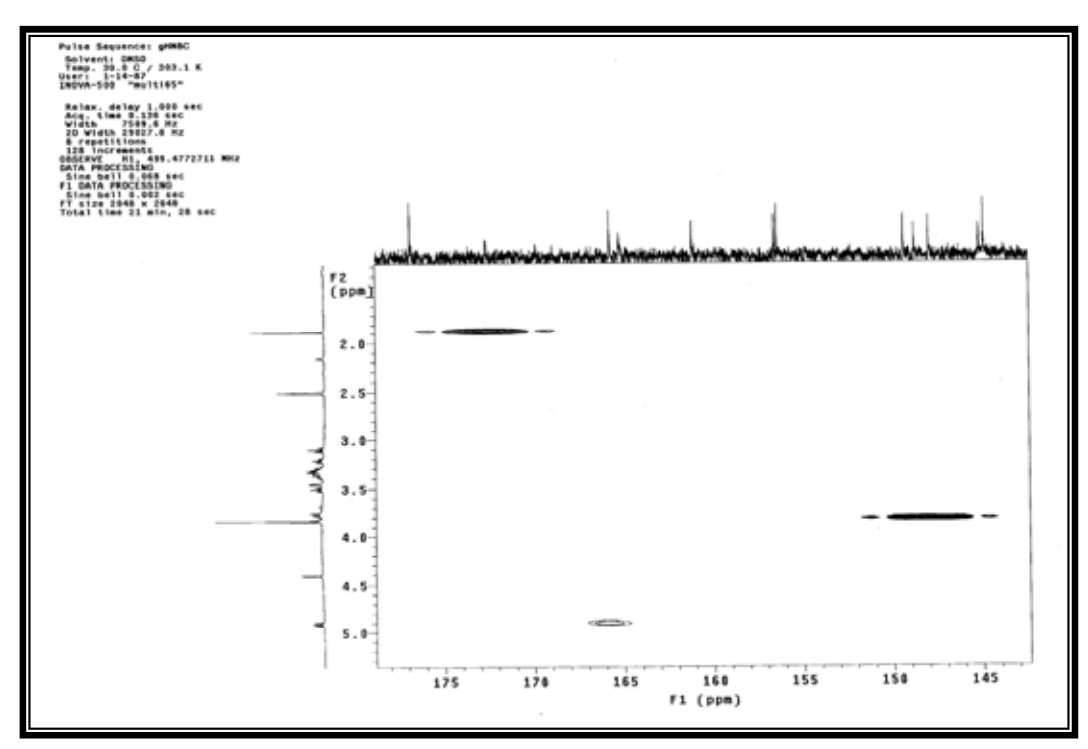
Anexo 31. Ampliação do mapa de contornos gHMBC (δ 14 – 23) do flavonol **III**



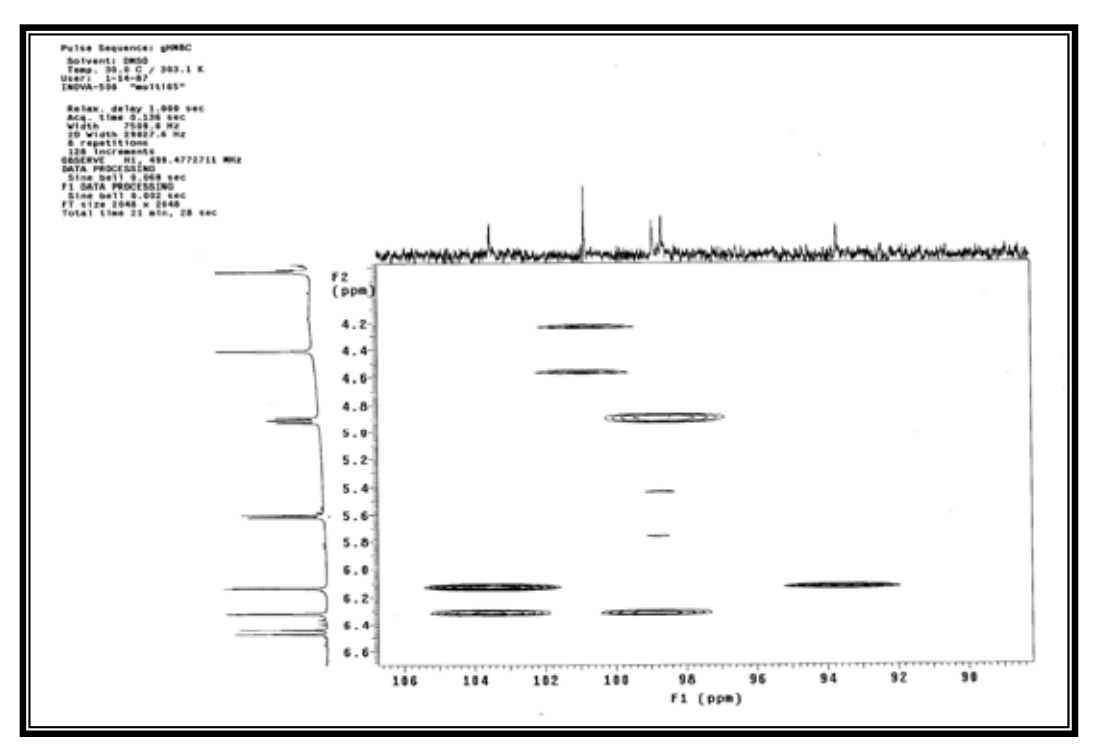
Anexo 32. Ampliação do mapa de contornos gHMBC (δ 40 – 75) do flavonol **III**



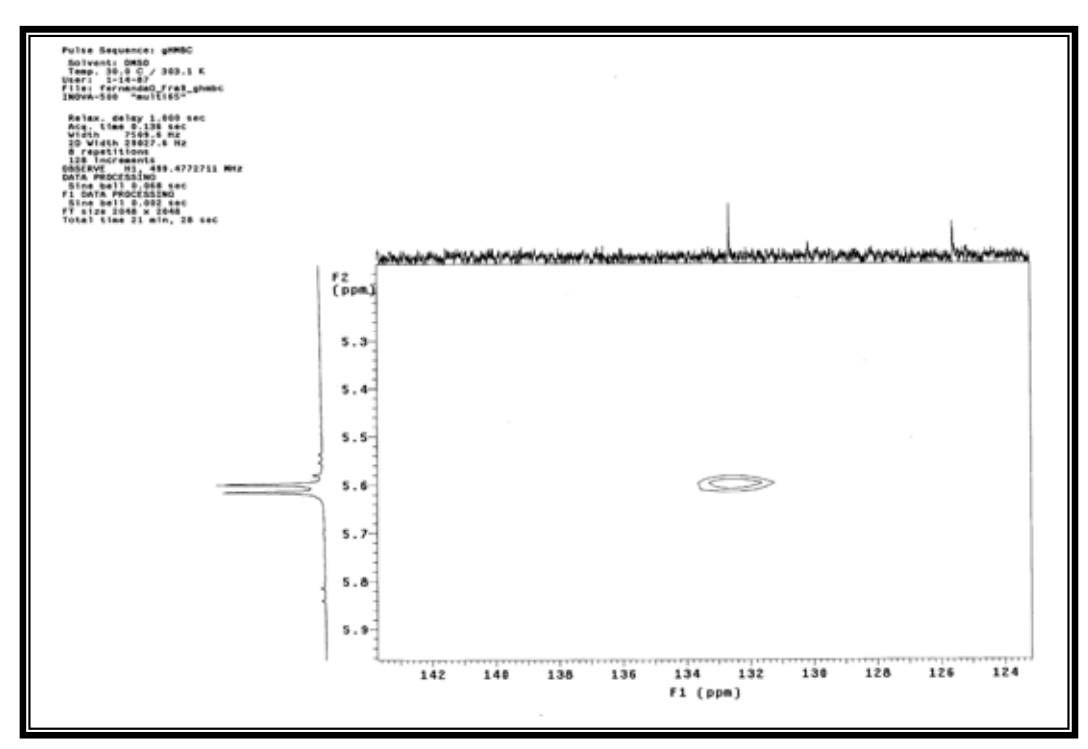
Anexo 33. Ampliação do mapa de contornos gHMBC (δ 65 – 78) do flavonol **III**



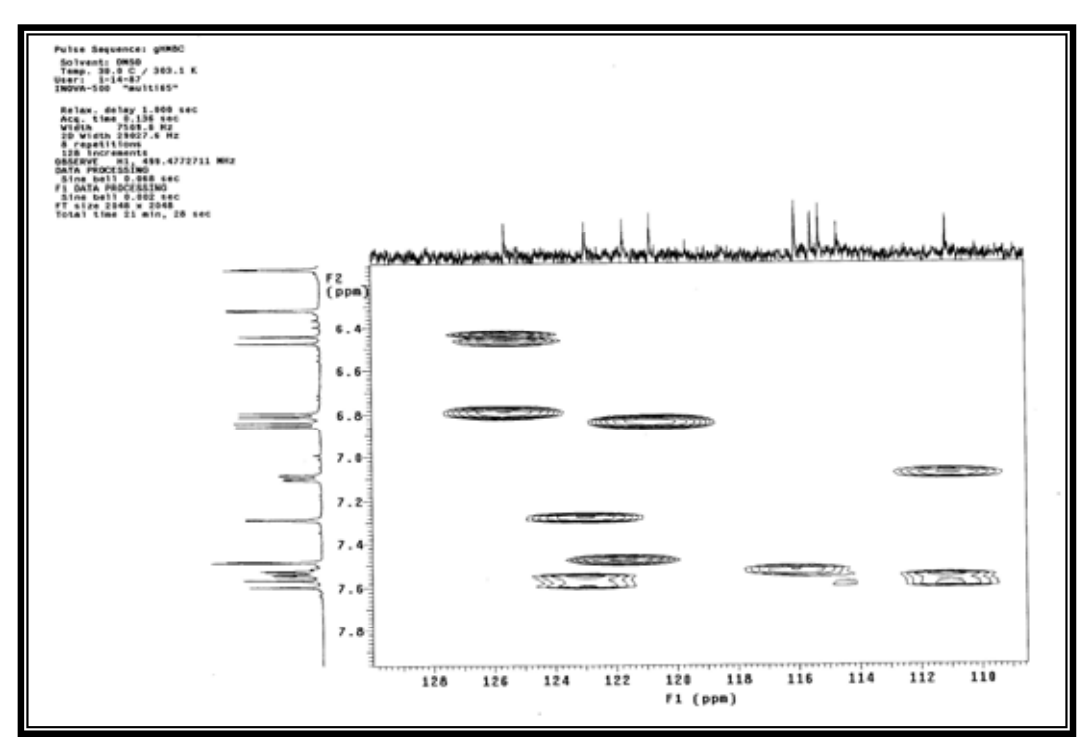
Anexo 34. Ampliação do mapa de contornos gHMBC (δ 145 – 175) do flavonol **III**



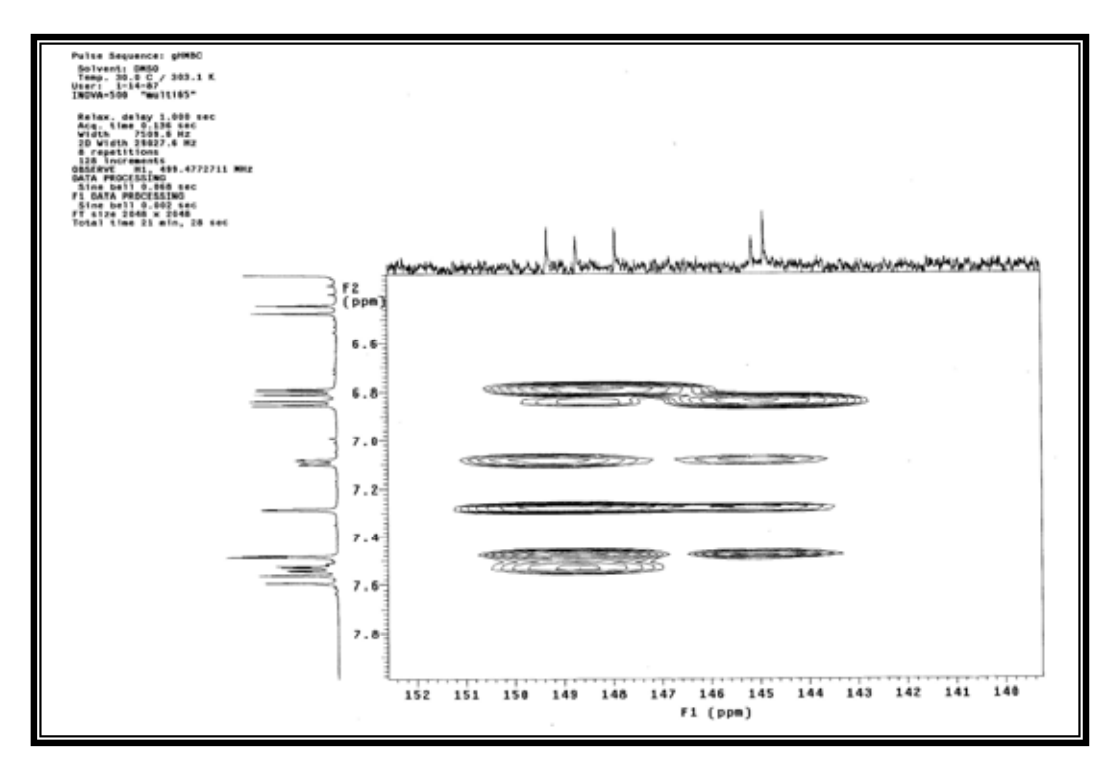
Anexo 35. Ampliação do mapa de contornos gHMBC (δ 90 – 106) do flavonol **III**



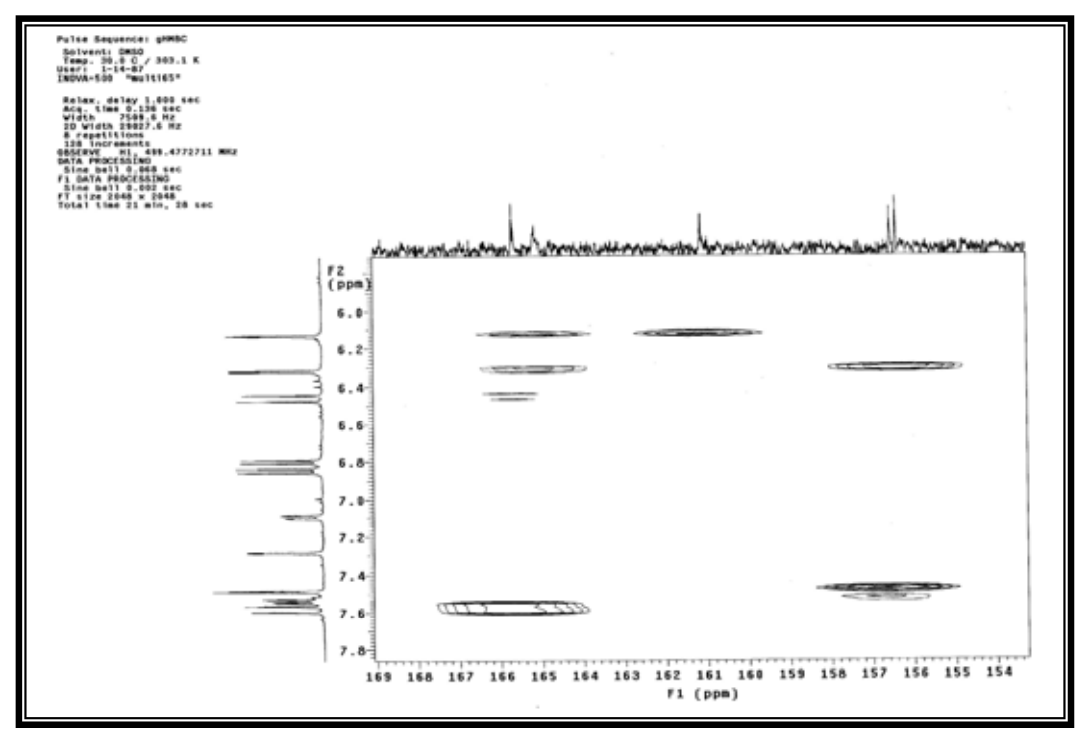
Anexo 36. Ampliação do mapa de contornos gHMBC (δ 124 – 142) do flavonol **III**



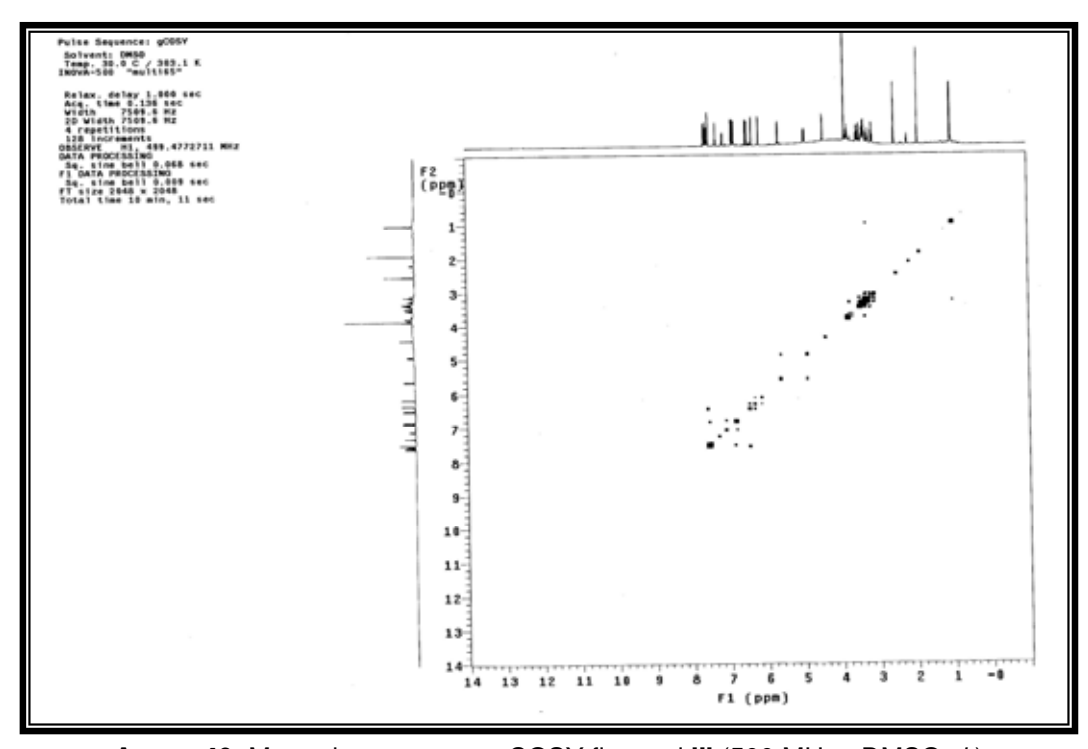
Anexo 37. Ampliação do mapa de contornos gHMBC (δ 110 – 128) do flavonol **III**



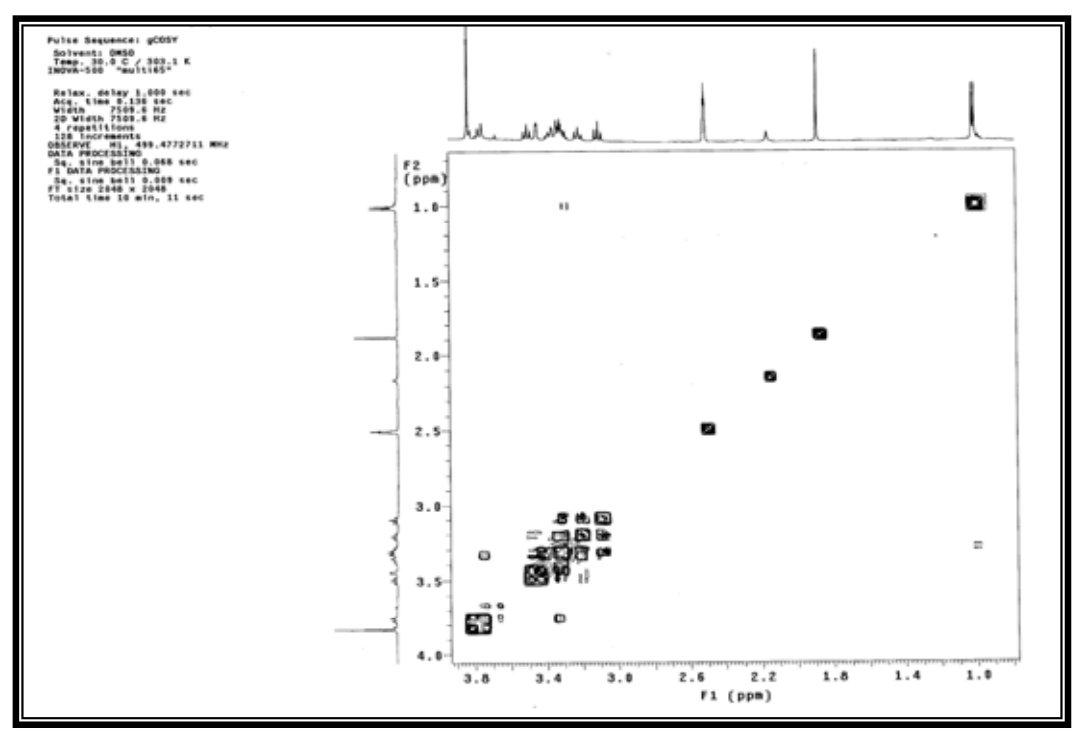
Anexo 38. Ampliação do mapa de contornos gHMBC (δ 140 – 152) do flavonol **III**



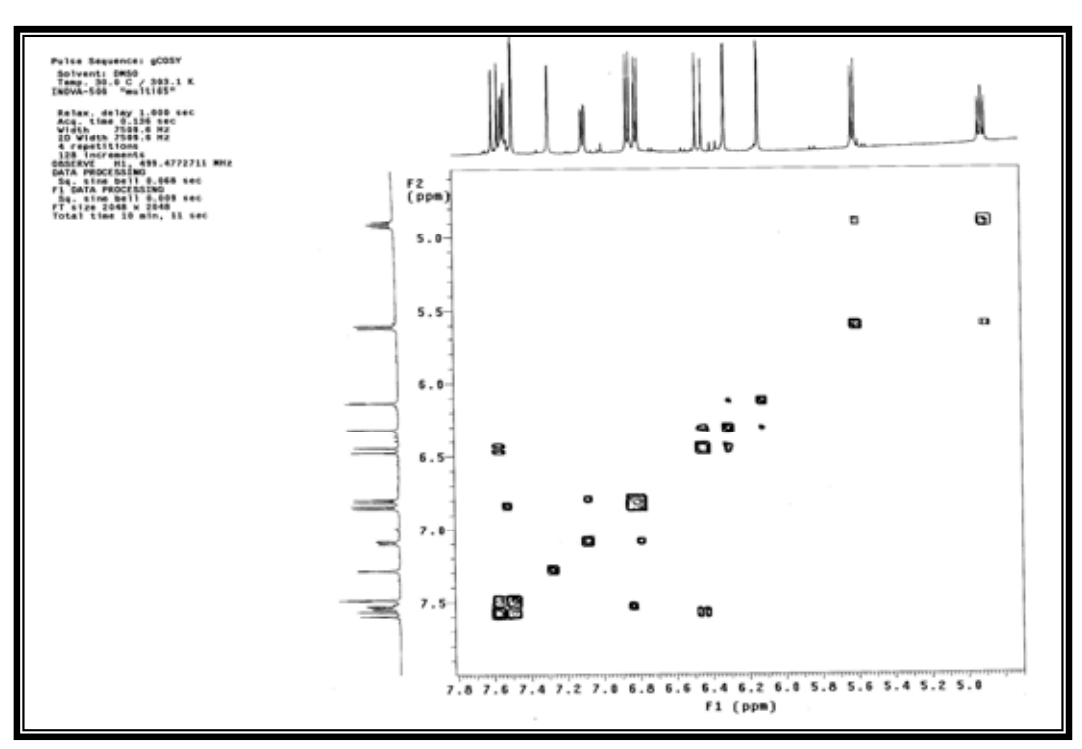
Anexo 39. Ampliação do mapa de contornos gHMBC (δ 154 – 169) do flavonol III



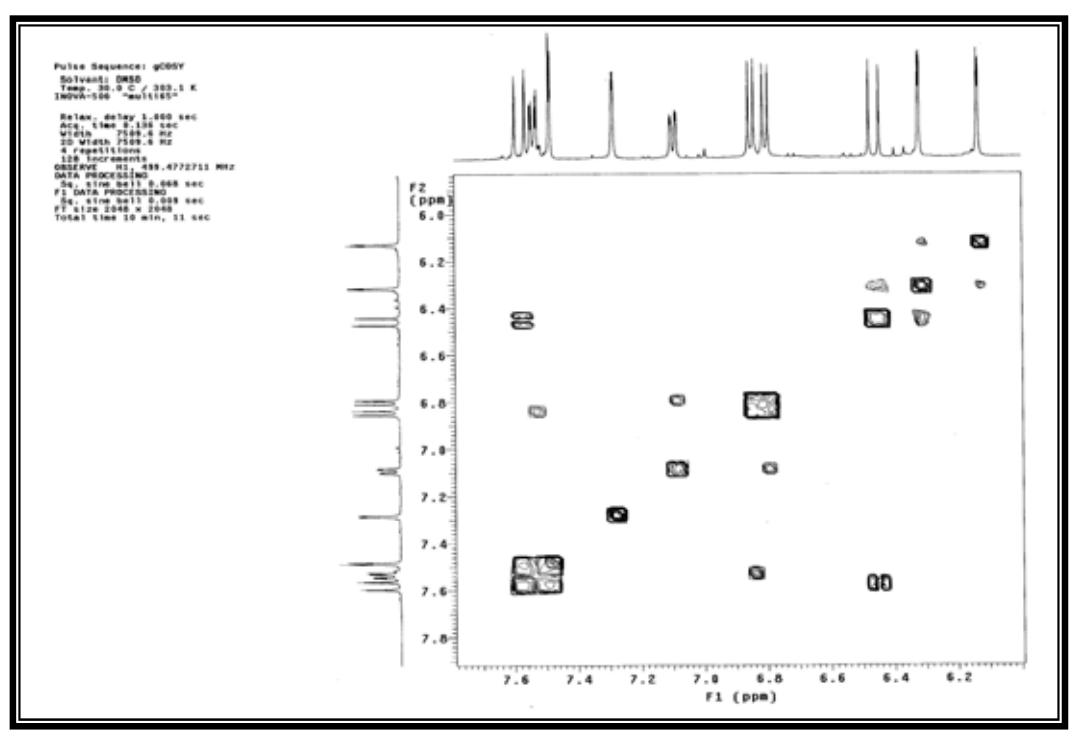
Anexo 40. Mapa de contornos gCOSY flavonol III (500 MHz - DMSO-d₆)



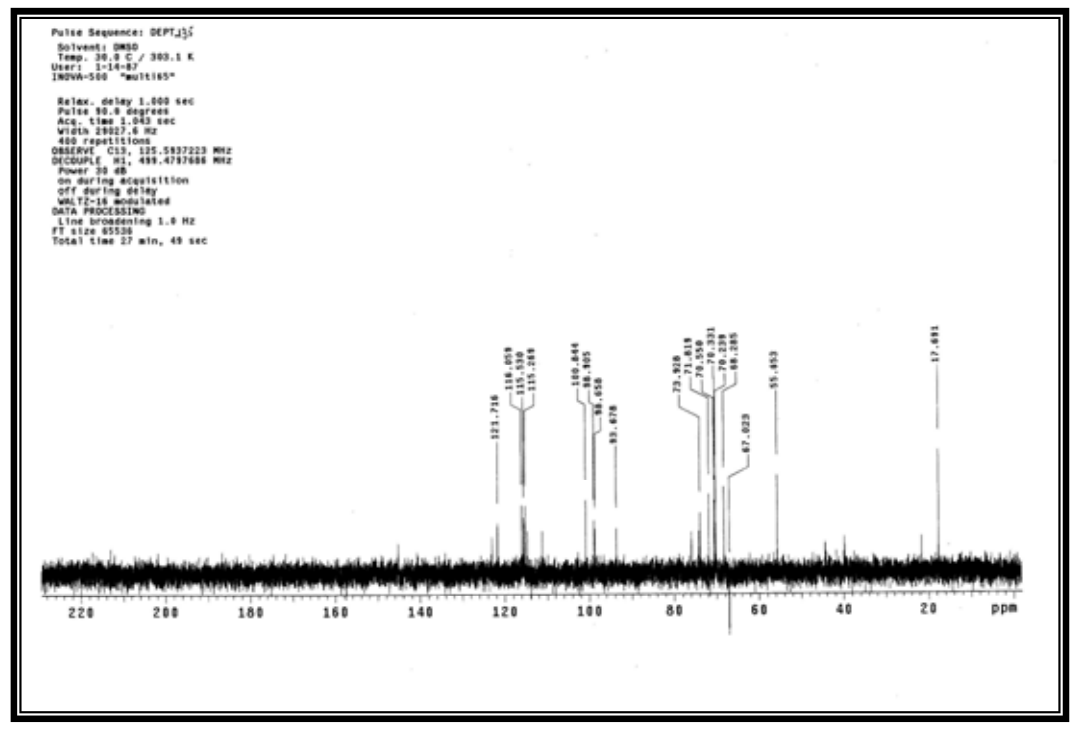
Anexo 41. Ampliação do mapa de contornos gCOSY (δ 0 – 3,8) do flavonol **III**



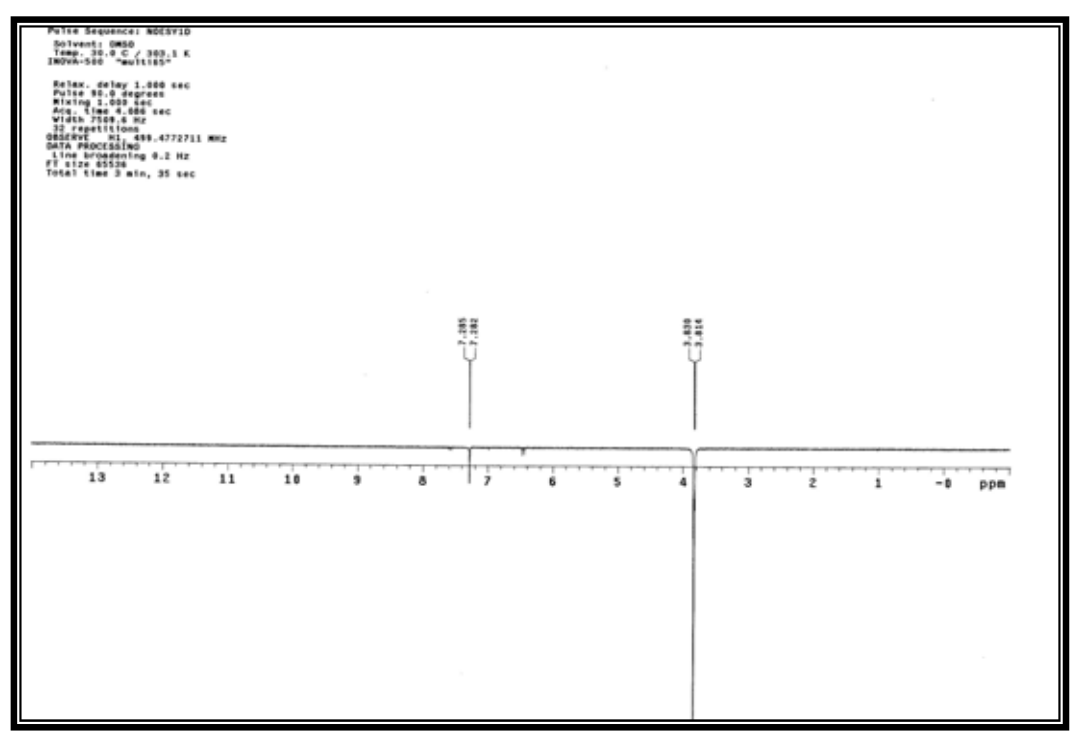
Anexo 42. Ampliação do mapa de contornos gCOSY (δ 4,0 – 7,8) do flavonol **III**



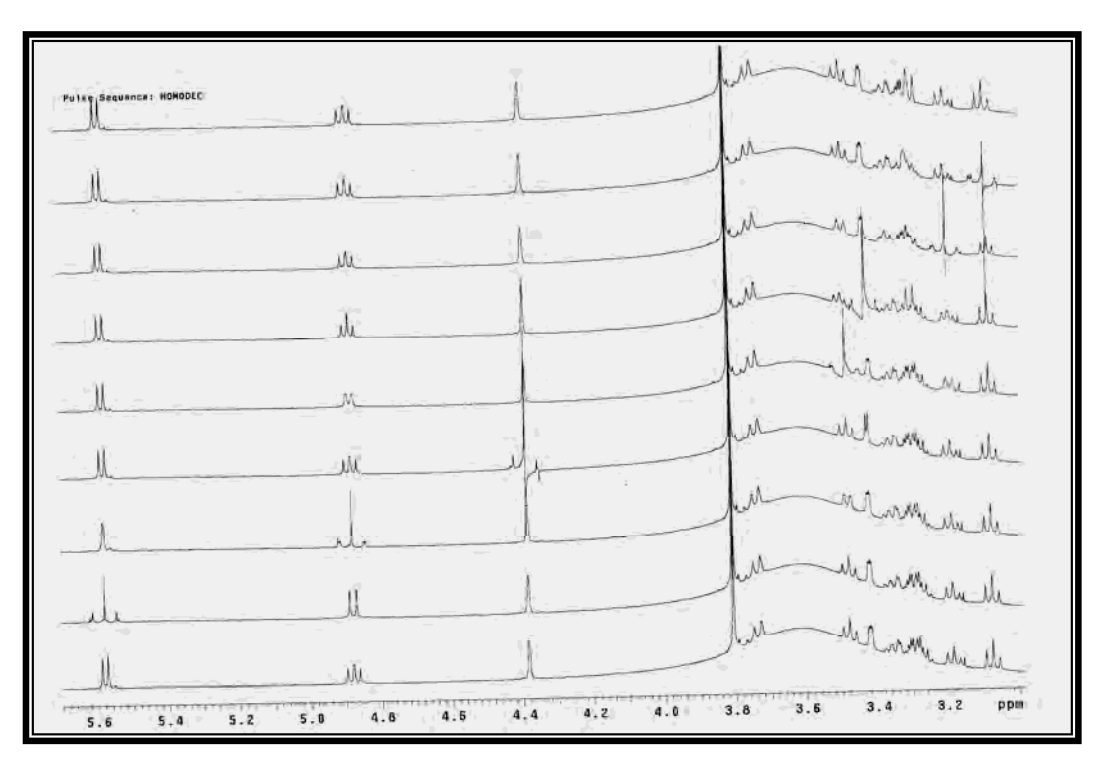
Anexo 43. Ampliação do mapa de contornos gCOSY (δ 6,0 – 7,8) do flavonol **III**



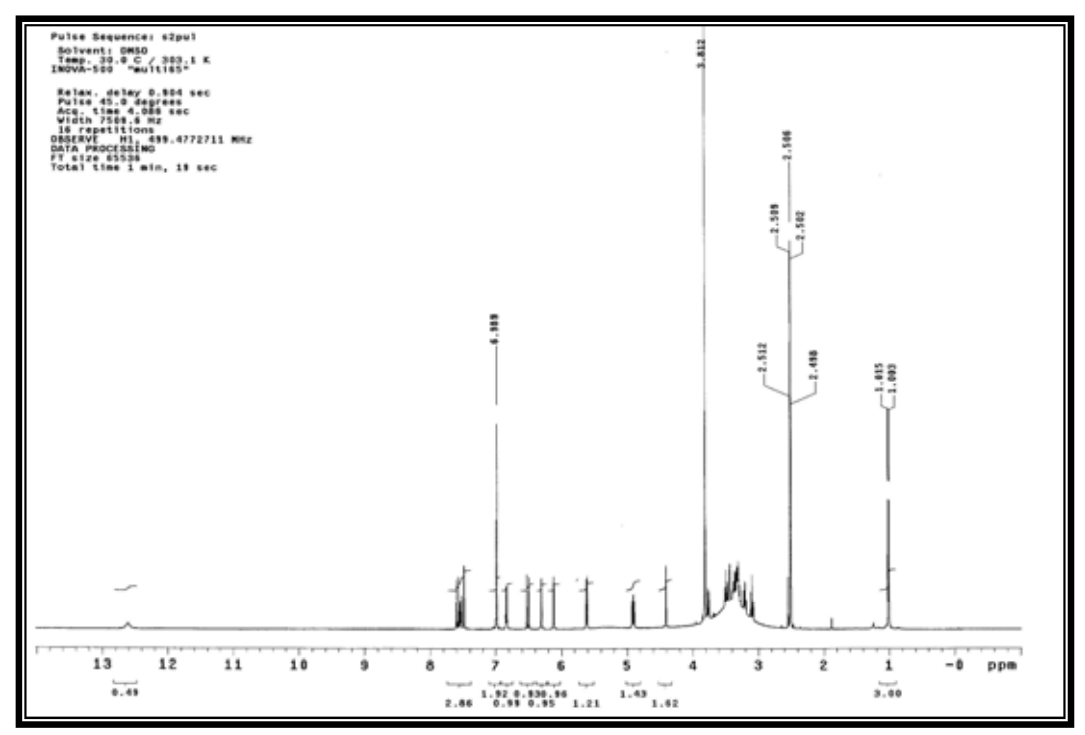
Anexo 44. Espectro de DEPT 135 º do flavonol III (126 MHz - DMSO-d₆)



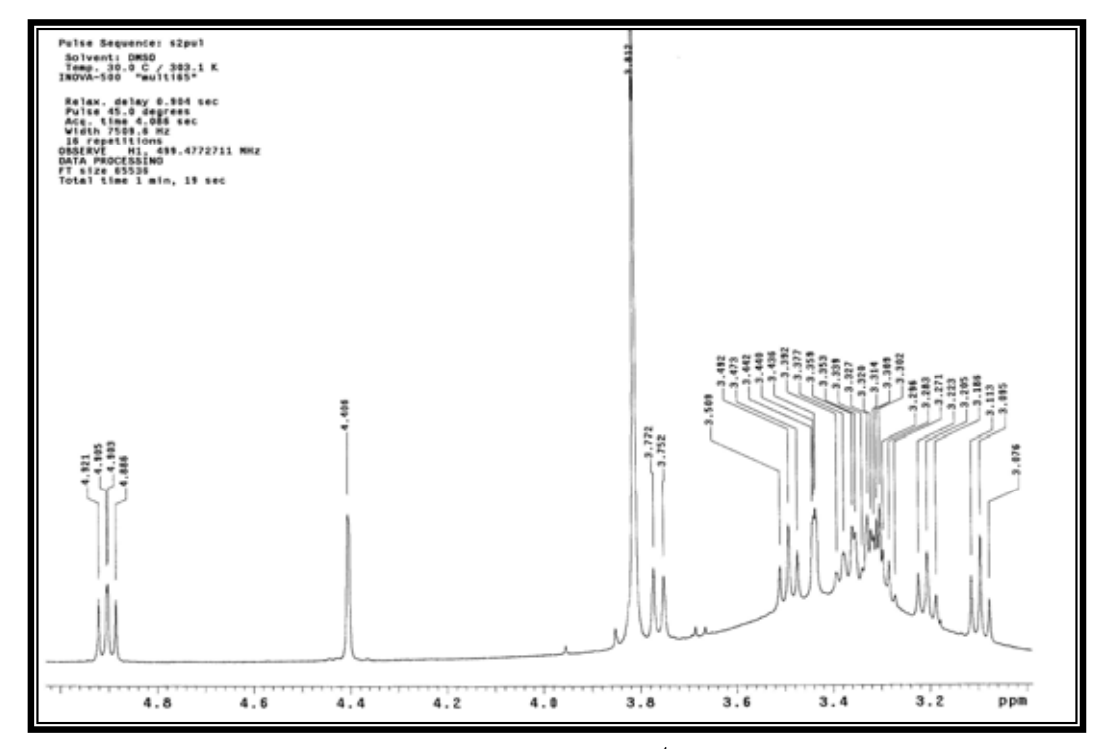
Anexo 45. Espectro de NOESY 1D δ_H 3,83 do flavonol III (500 MHz - DMSO-d₆)



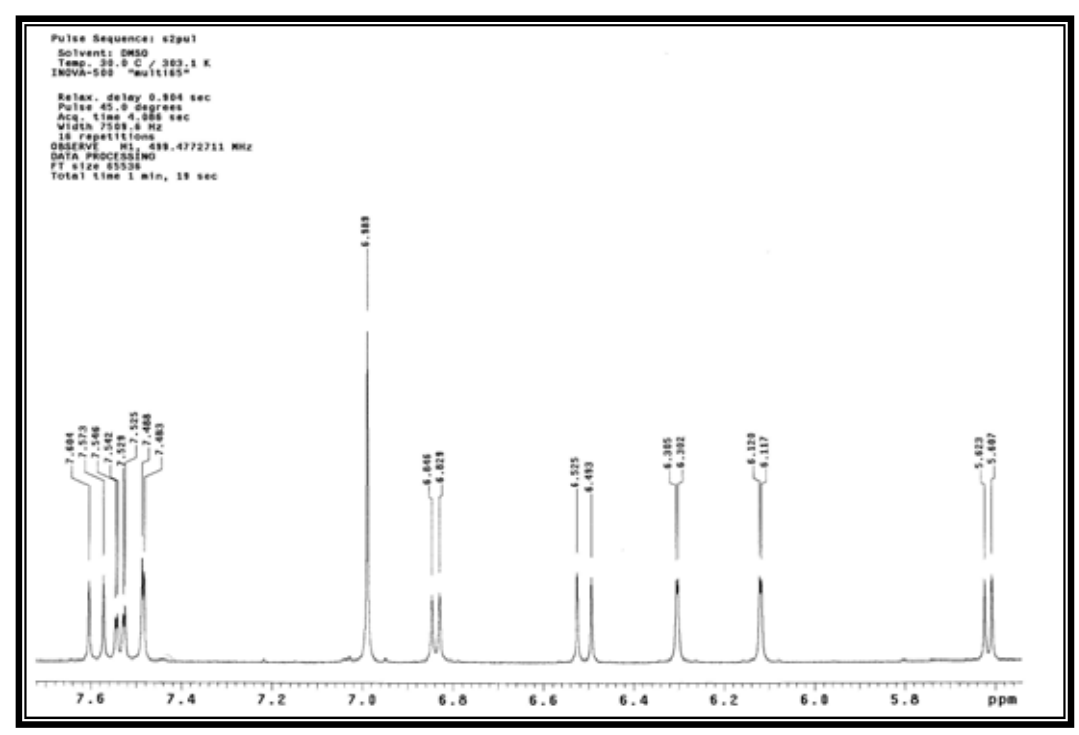
Anexo 46. Espectro de HOMODEC (500 MHz – DMSO- d_6) de δ 5,60; δ 4,90, δ 4,41, δ 3,49, δ 3,31, δ 3,21 e δ 3,10 do flavonol **III**



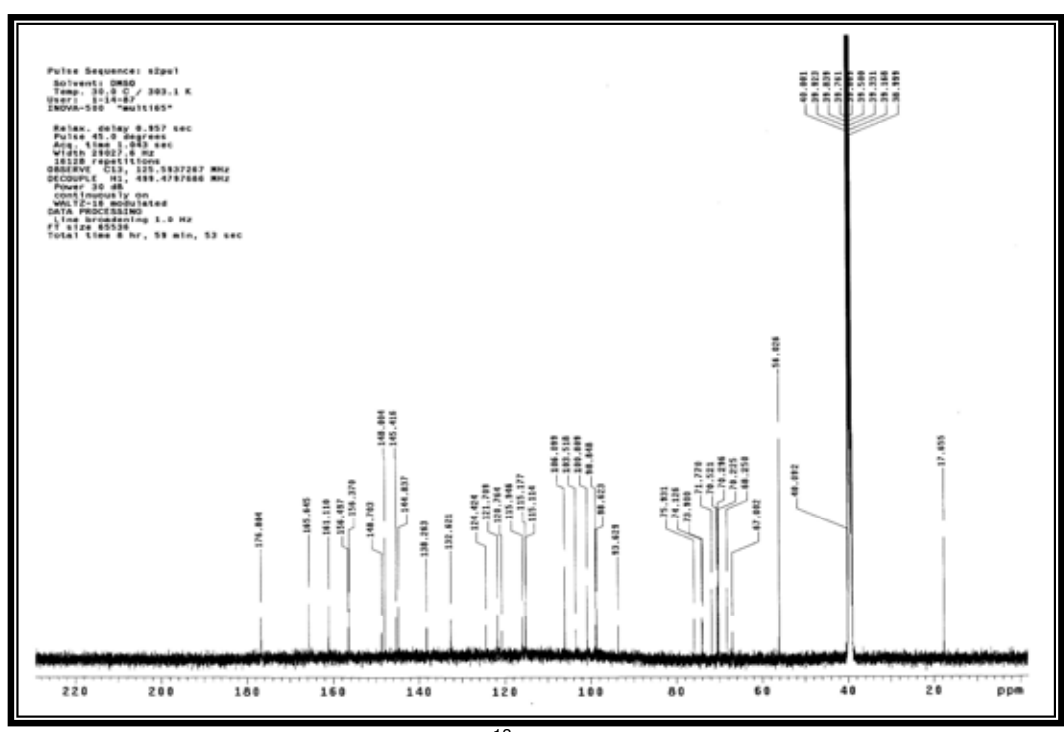
Anexo 47. Espectro de RMN de ¹H do flavonol **IV** (500 MHz - DMSO-*d*₆)



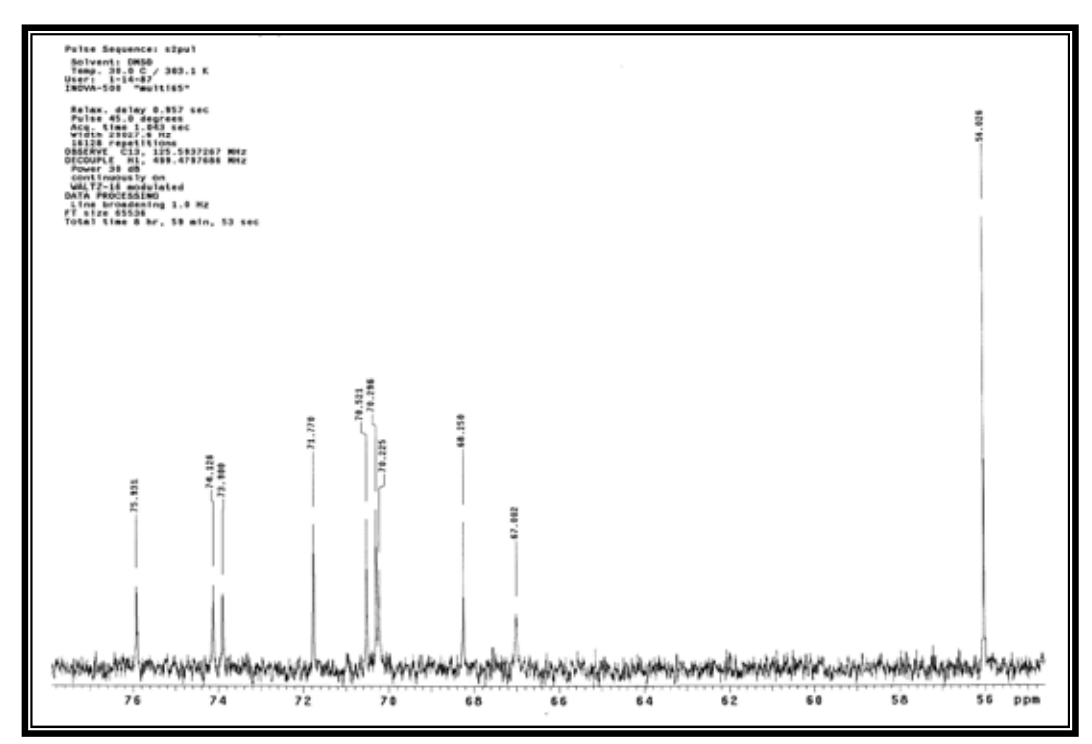
Anexo 48. Ampliação do espectro de RMN de 1 H (δ 3,0 - 5,0) do flavonol **IV**



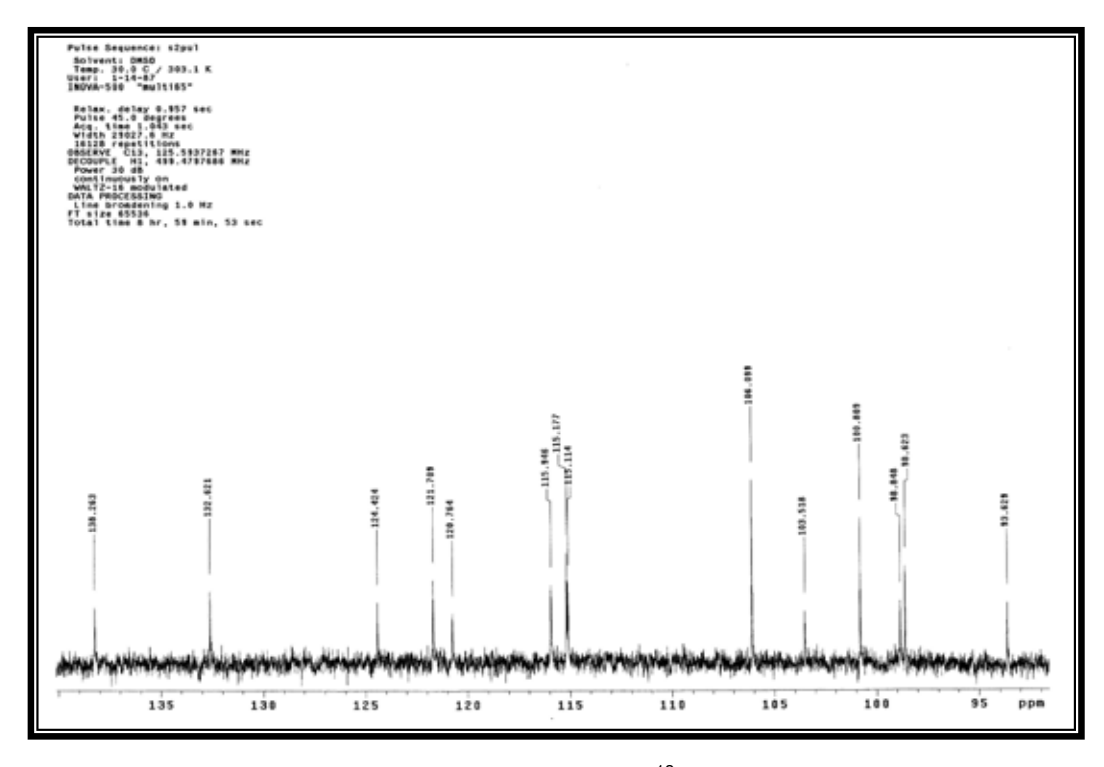
Anexo 49. Ampliação do espectro de RMN de 1 H (δ 5,6 - 7,7) do flavonol **IV**



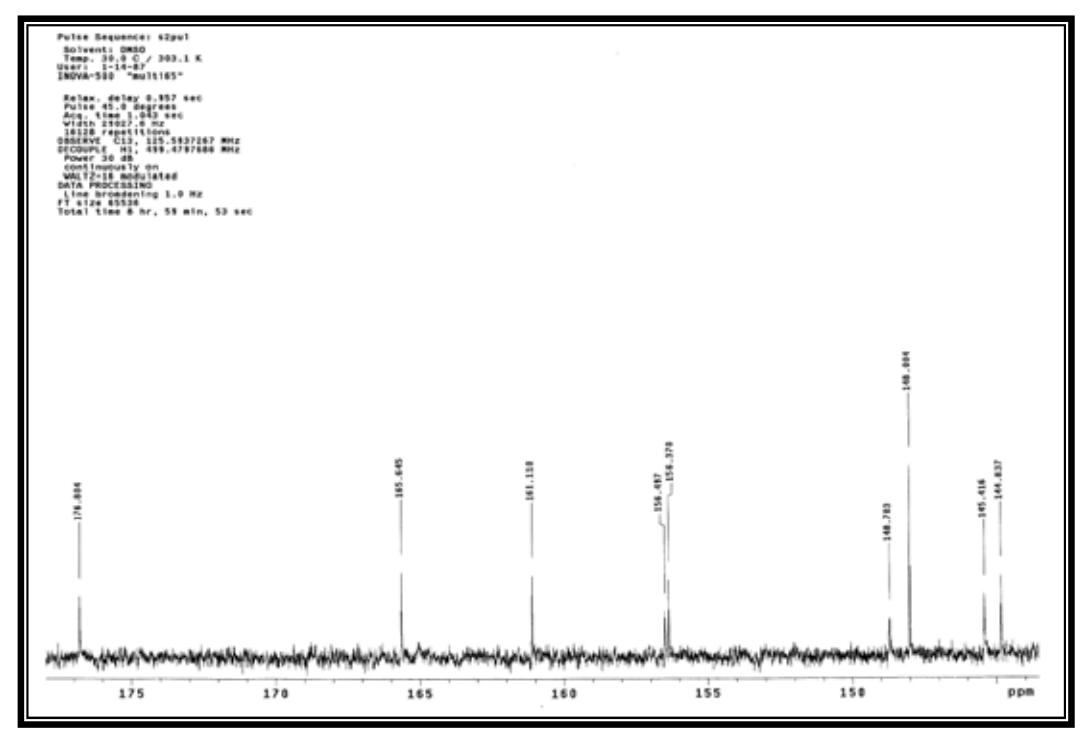
Anexo 50. Espectro de RMN de ¹³C do flavonol IV (126 MHz - DMSO-d₆)



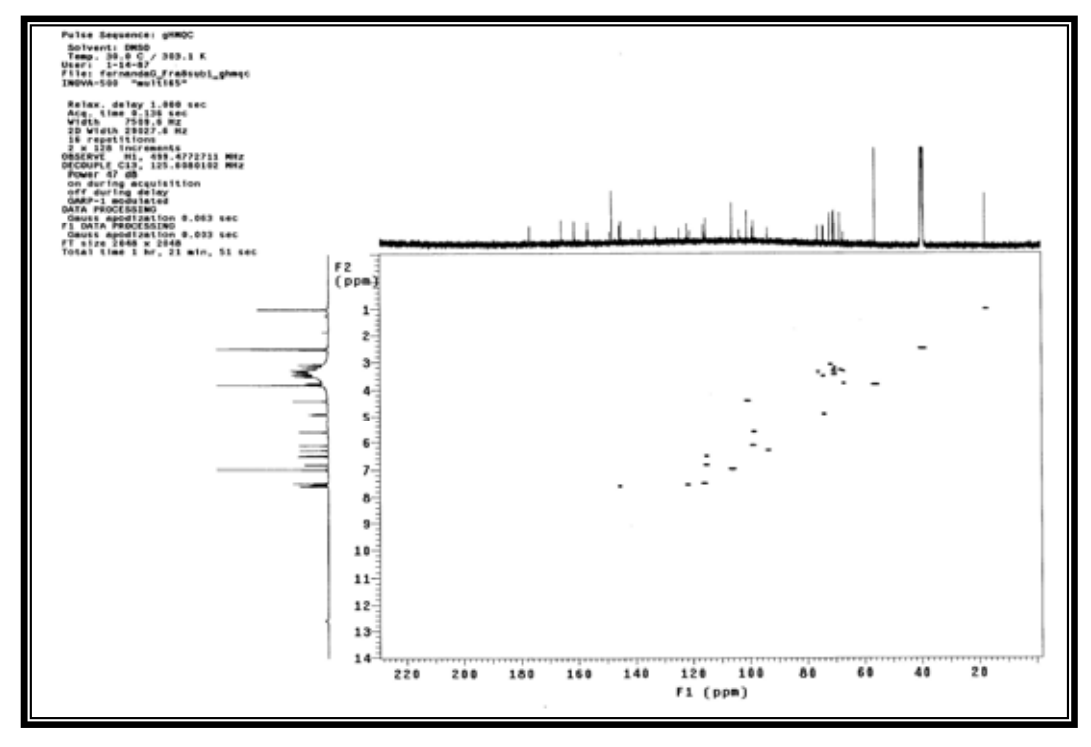
Anexo 51. Ampliação do espectro de RMN de 13 C (δ 55 – 77) do flavonol **IV**



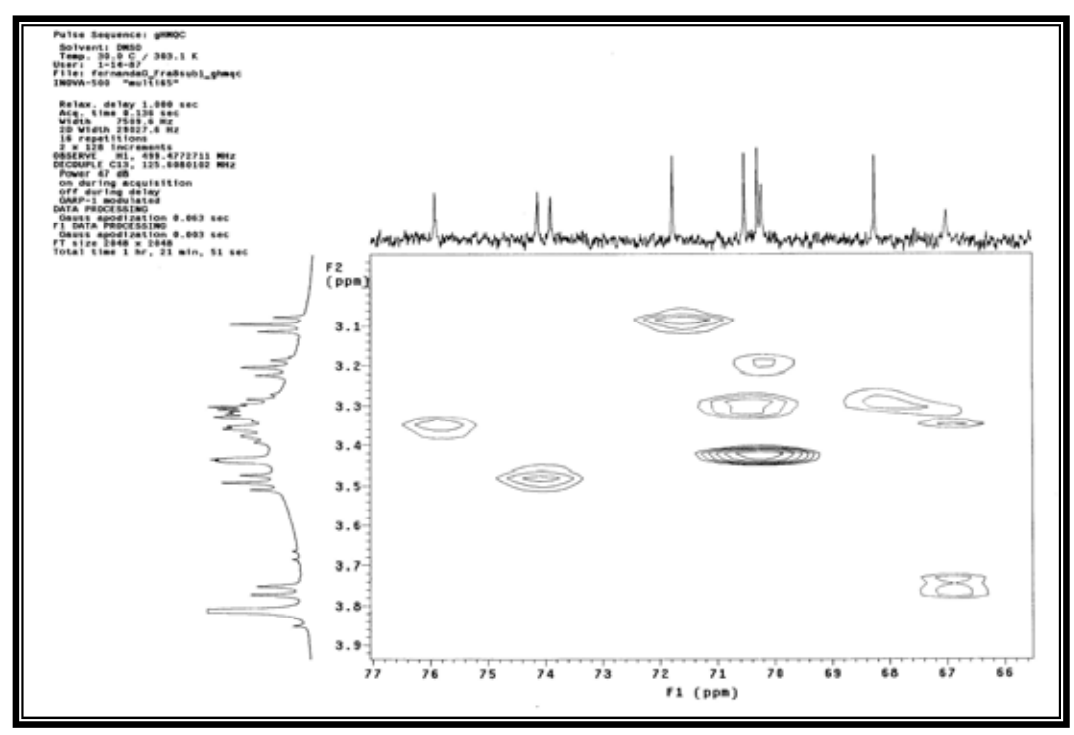
Anexo 52. Ampliação do espectro de RMN de 13 C (δ 90 - 140) do flavonol **IV**



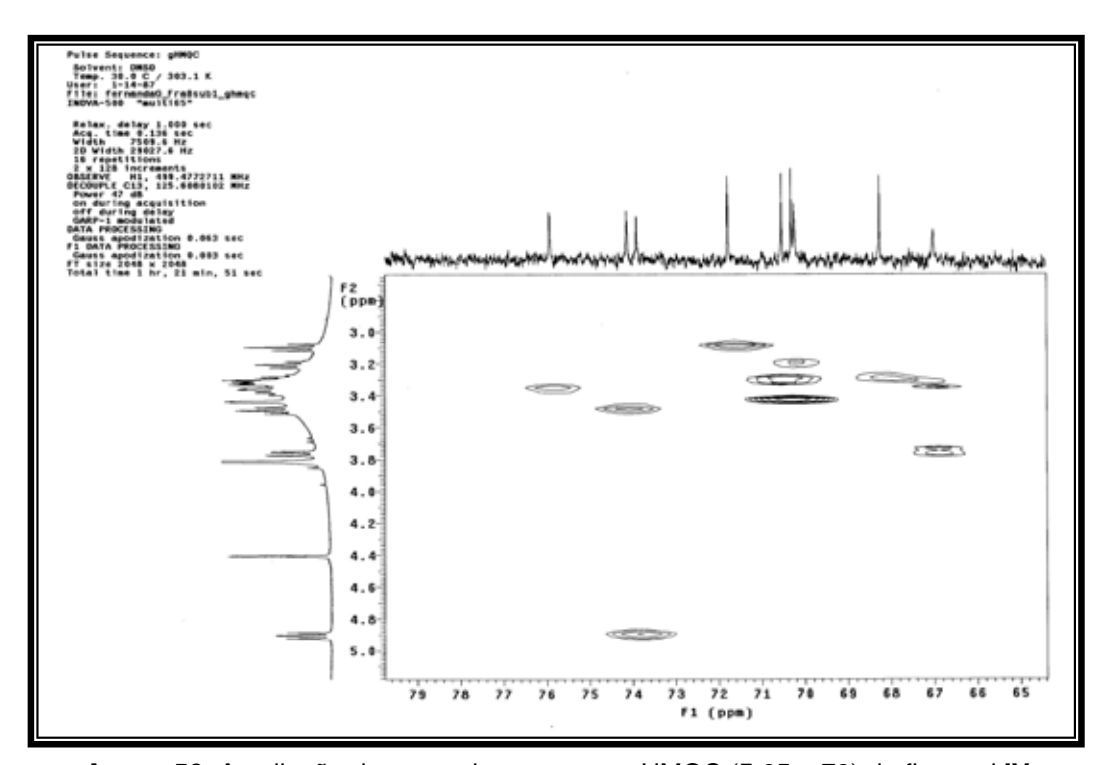
Anexo 53. Ampliação do espectro de RMN de 13 C (δ 140 – 178) do flavonol **IV**



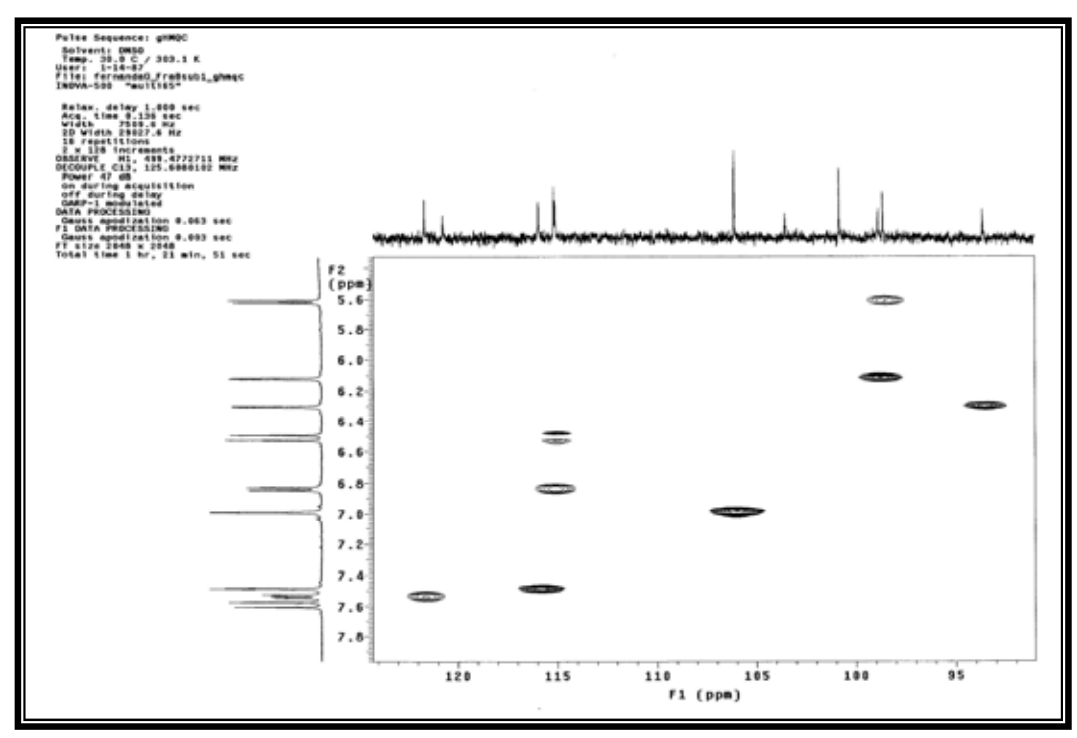
Anexo 54. Mapa de contornos gHMQC do flavonol IV (500 MHz – DMSO-d₆)



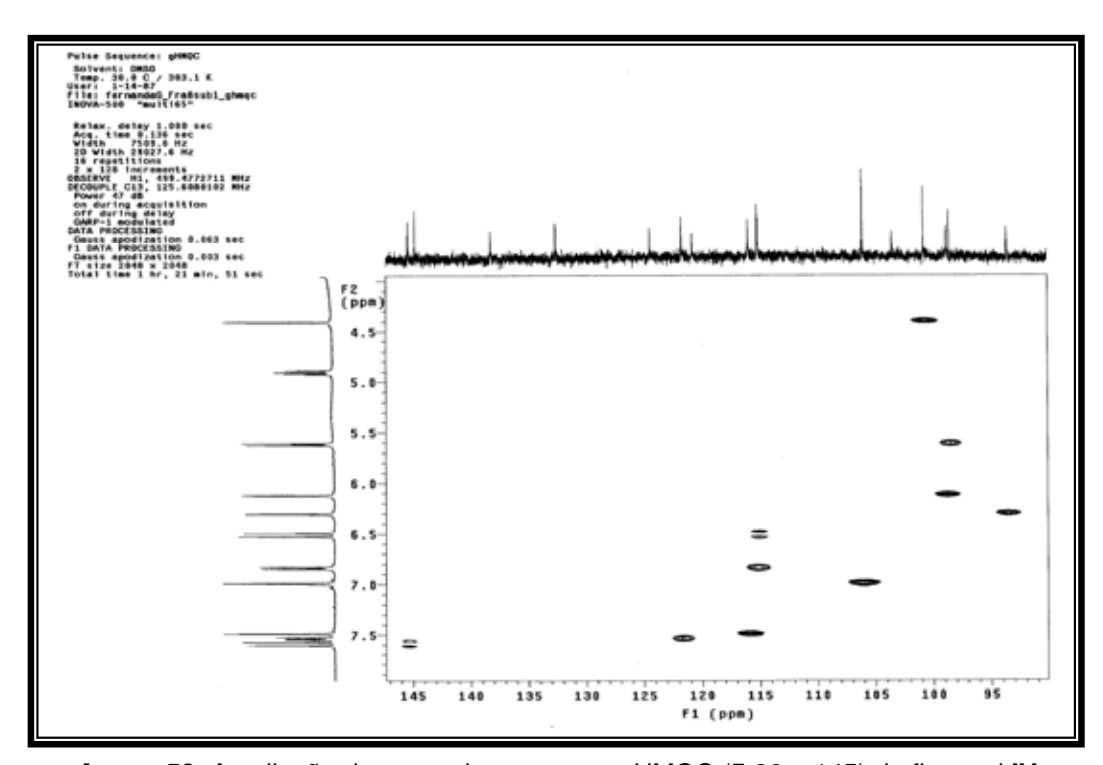
Anexo 55. Ampliação do mapa de contornos gHMQC (δ 66 – 77) do flavonol **IV**



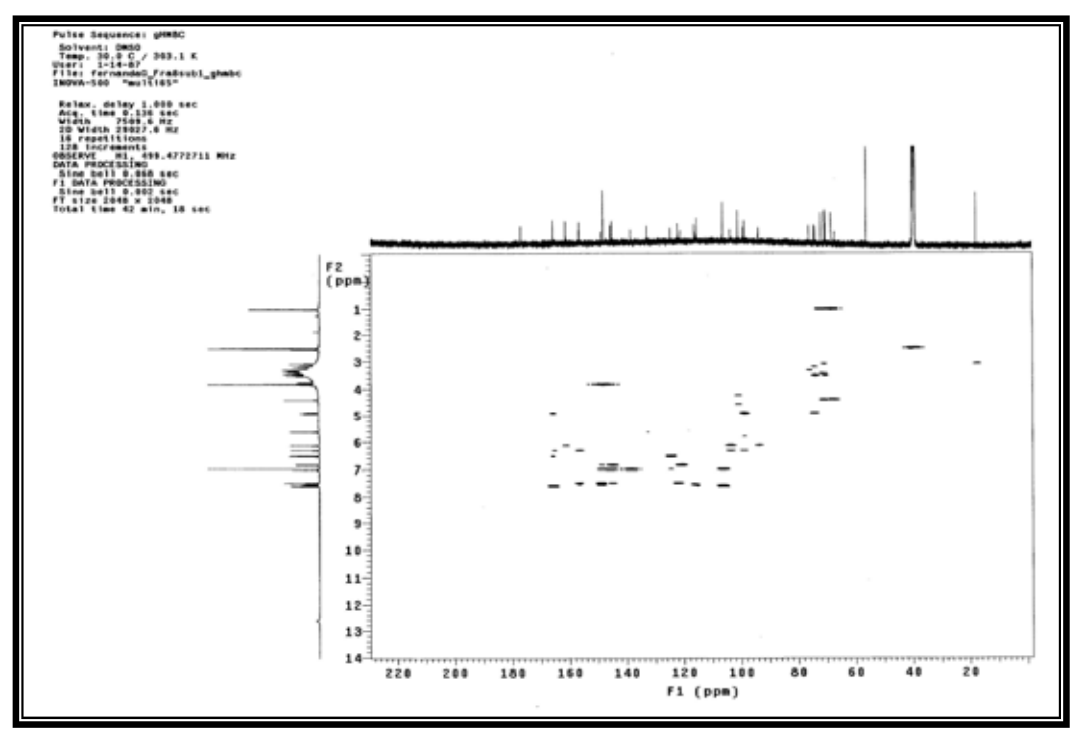
Anexo 56. Ampliação do mapa de contornos gHMQC (δ 65 – 79) do flavonol IV



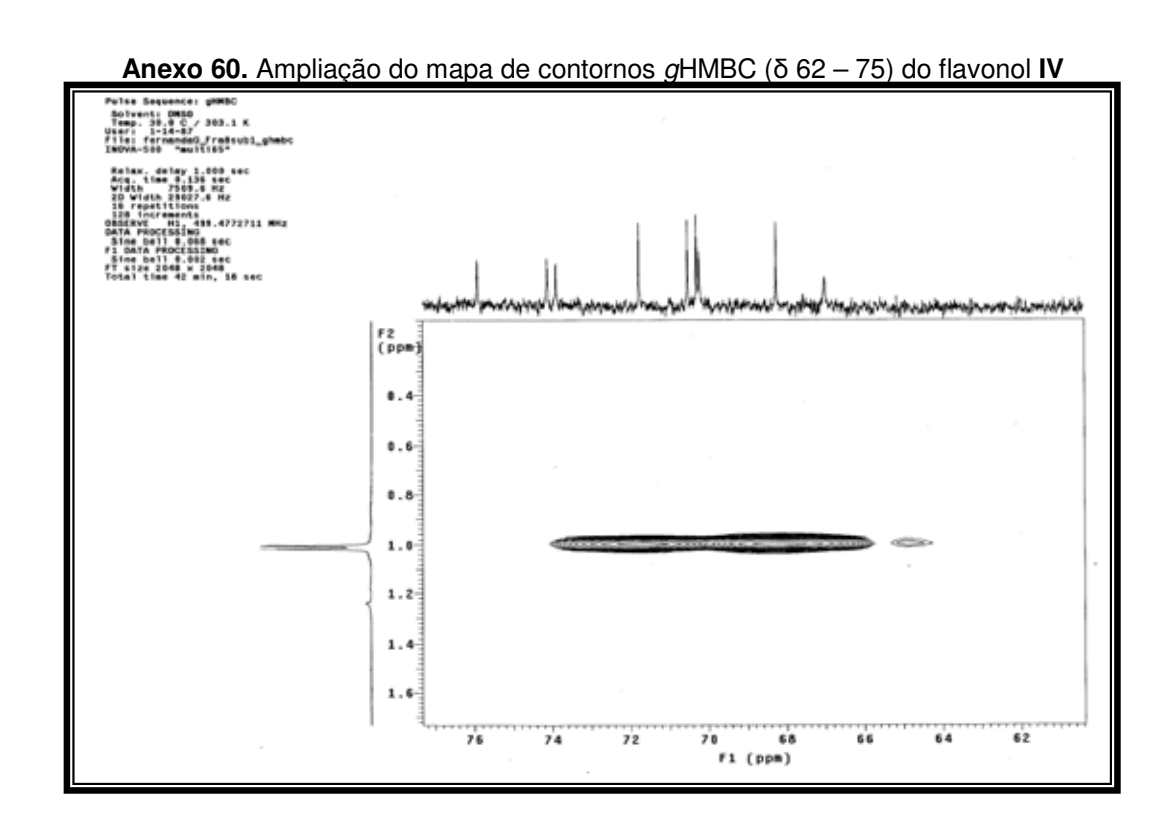
Anexo 57. Ampliação do mapa de contornos gHMQC (δ 90 – 130) do flavonol IV

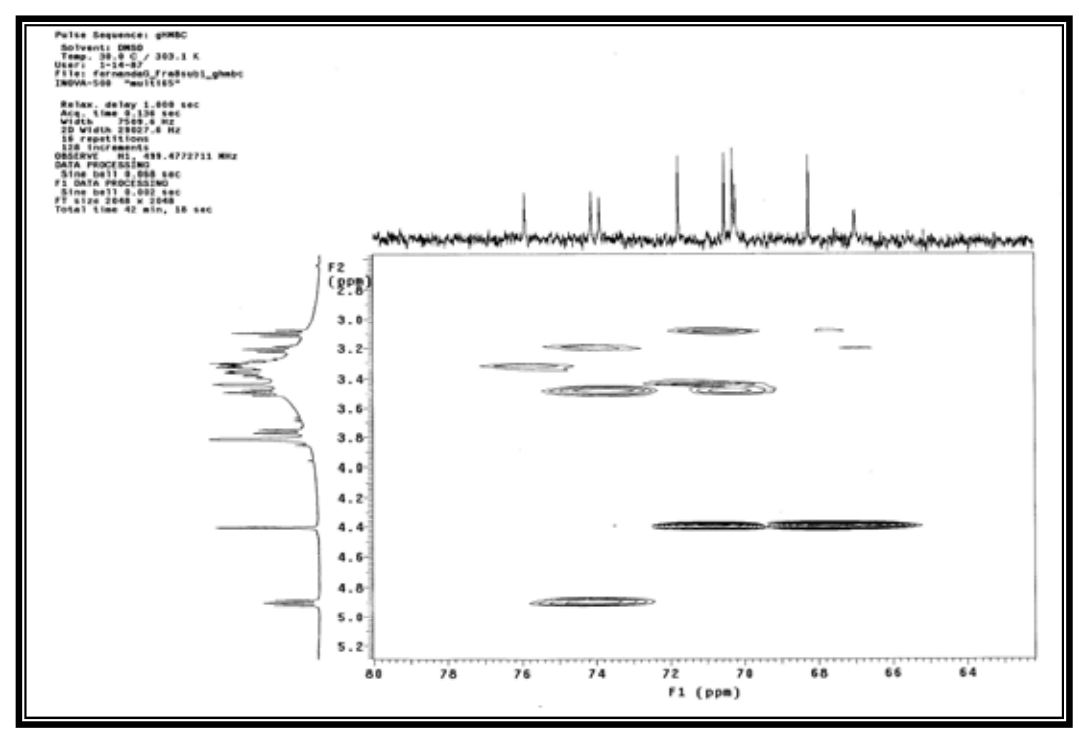


Anexo 58. Ampliação do mapa de contornos gHMQC (δ 90 – 145) do flavonol IV

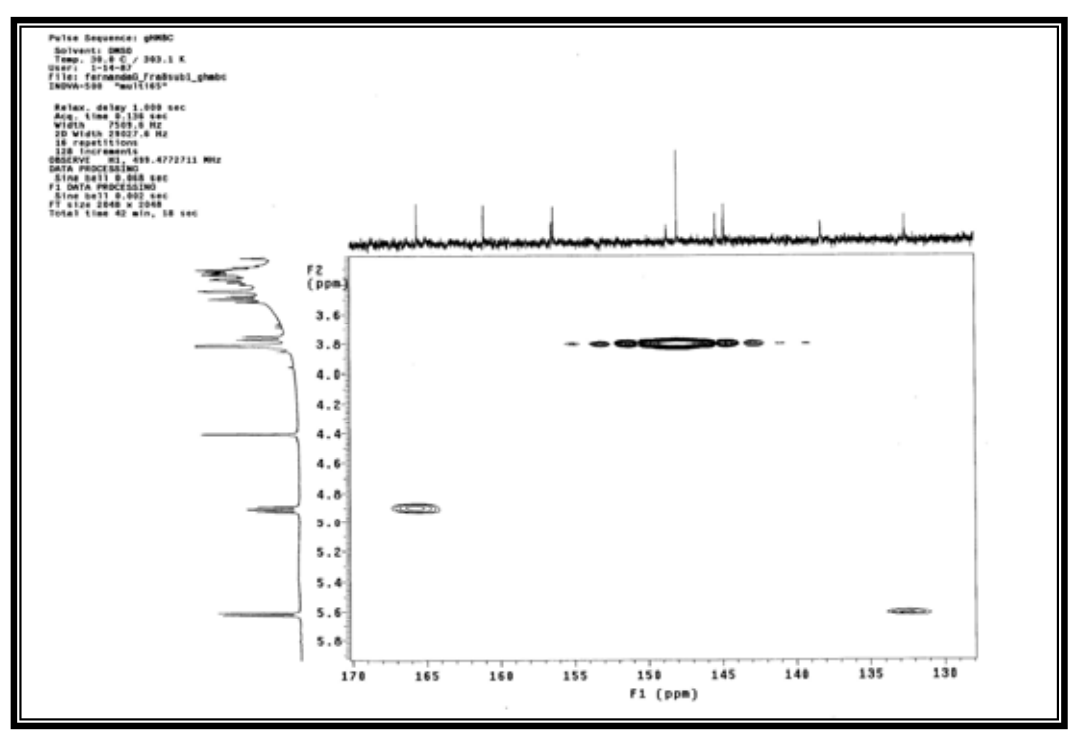


Anexo 59. Mapa de contornos gHMBC do flavonol IV (500 MHz - DMSO-d₆)

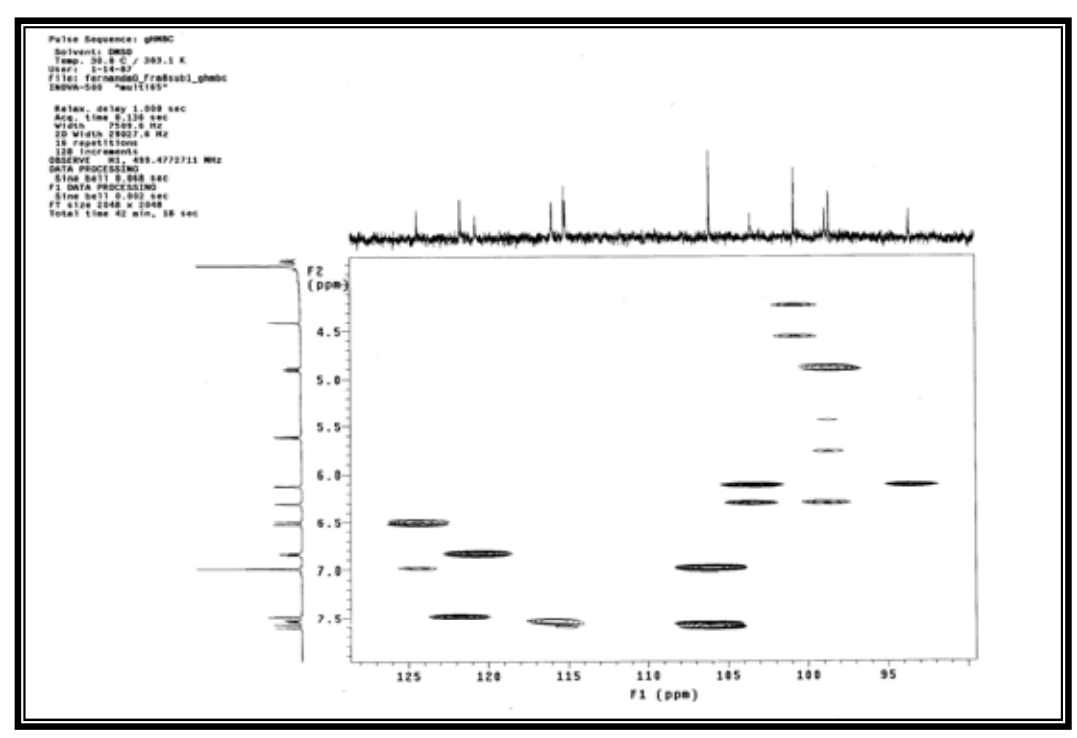




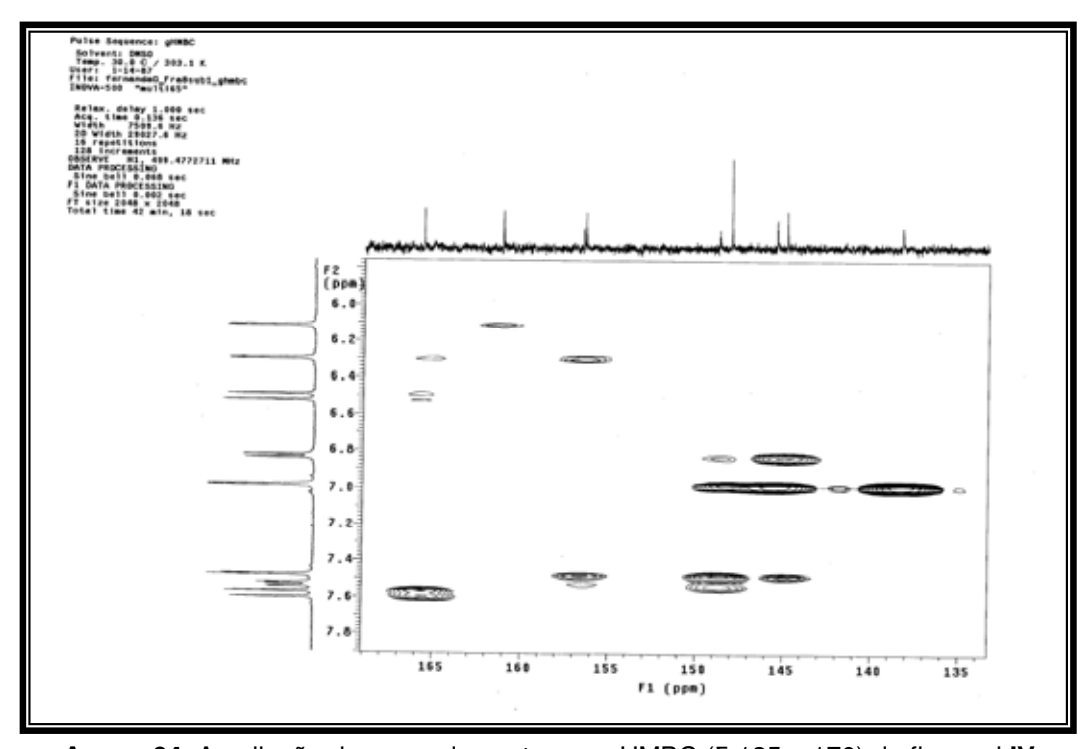
Anexo 61. Ampliação do mapa de contornos gHMBC (δ 64 – 80) do flavonol IV



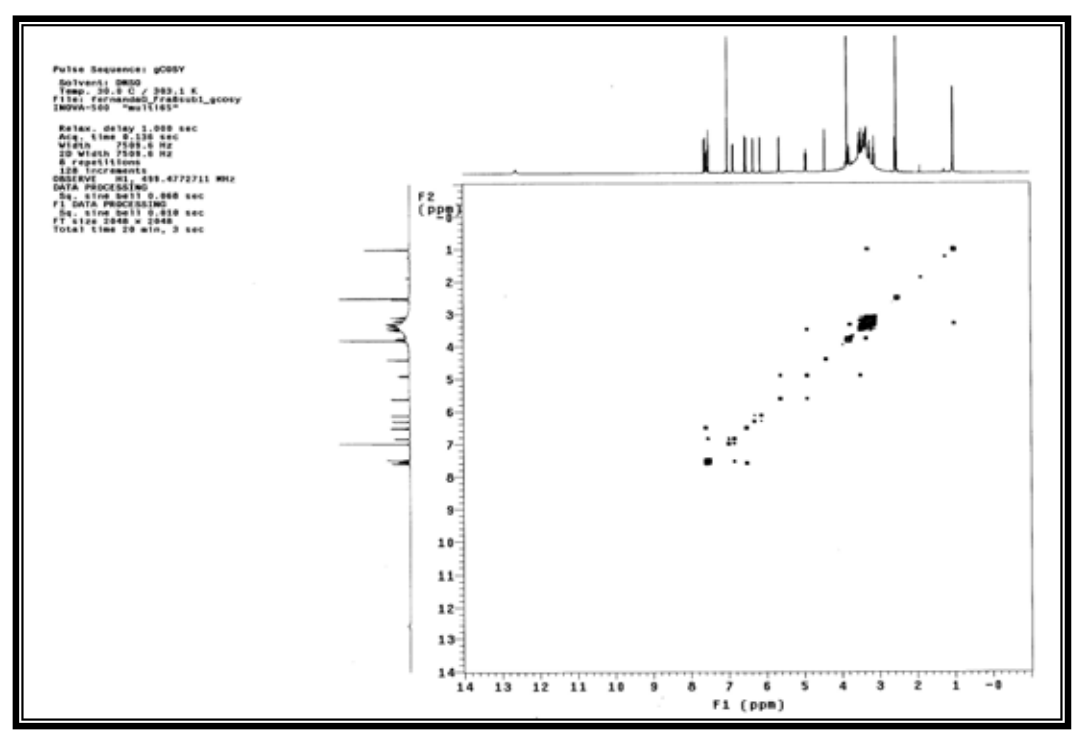
Anexo 62. Ampliação do mapa de contornos gHMBC (δ 130 – 170) do flavonol IV



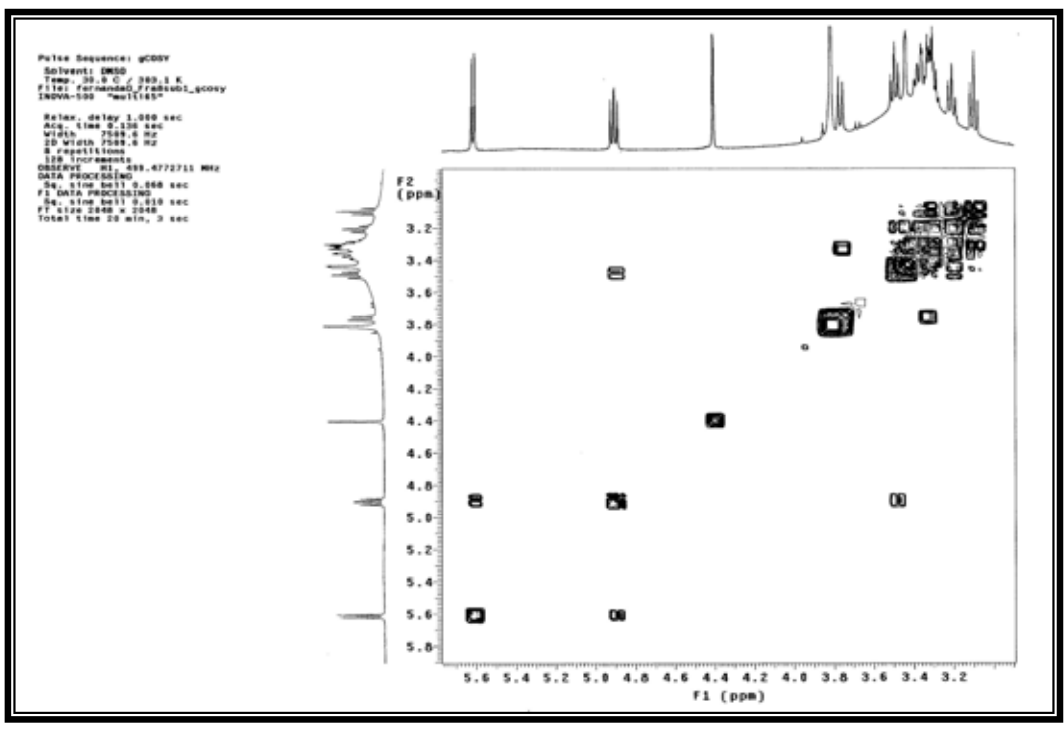
Anexo 63. Ampliação do mapa de contornos gHMBC (δ 90 – 125) do flavonol **IV**



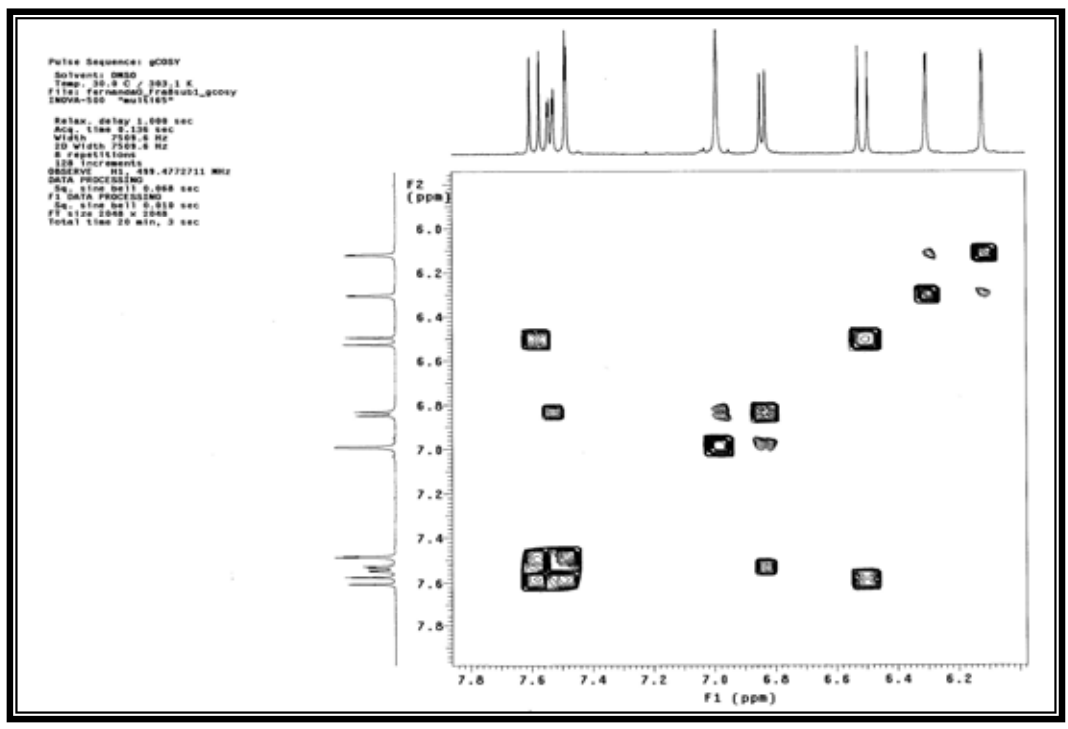
Anexo 64. Ampliação do mapa de contornos gHMBC (δ 135 – 170) do flavonol **IV**



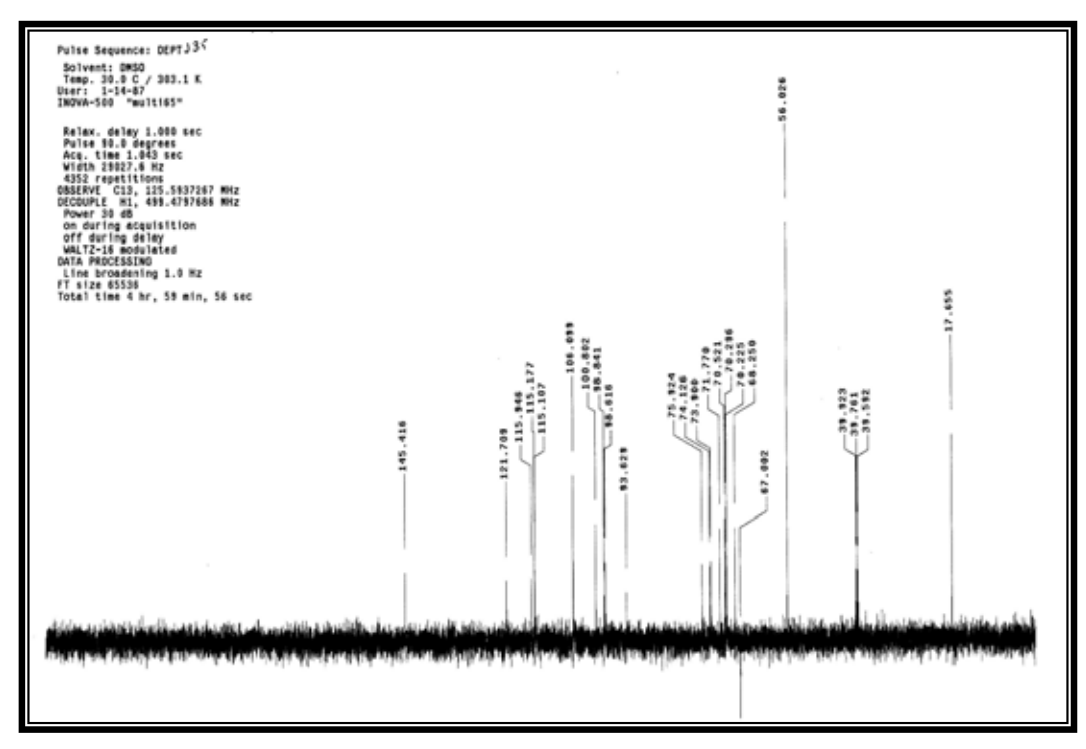
Anexo 65. Mapa de contornos gCOSY do flavonol IV (500 MHz - DMSO-d₆)



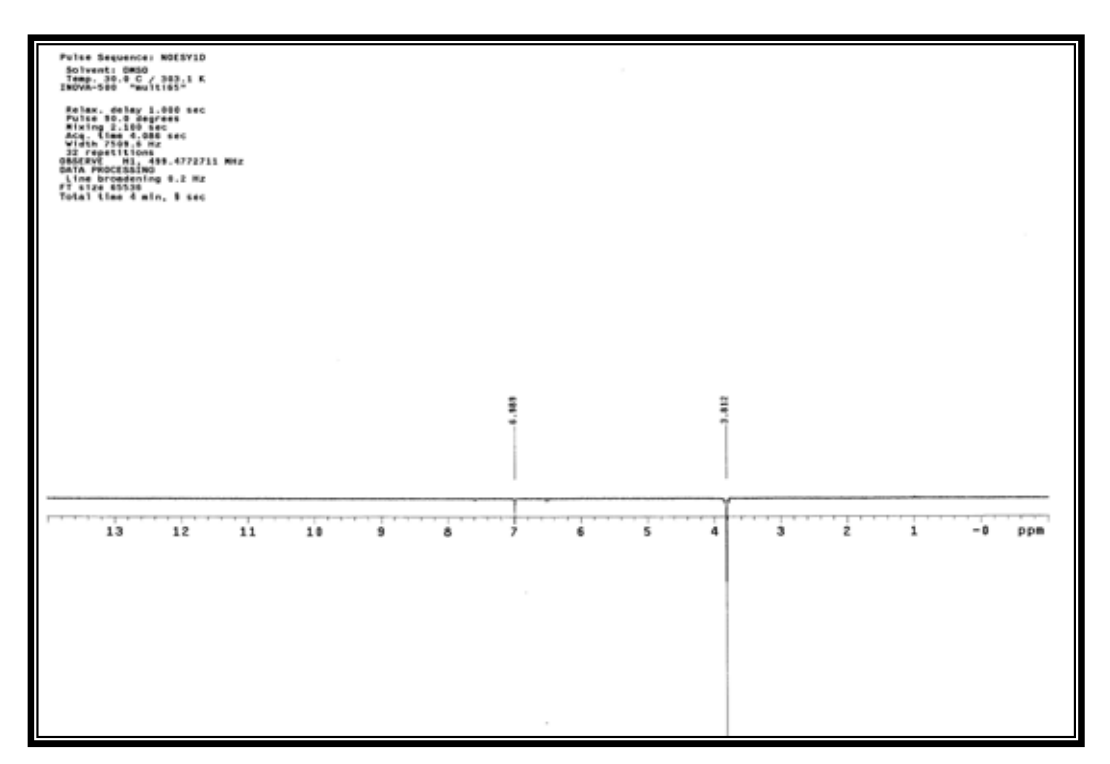
Anexo 66. Ampliação do mapa de contornos gCOSY (δ 3,0 – 5,8) do flavonol **IV**



Anexo 67. Ampliação do mapa de contornos gCOSY (δ 6,0 – 7,8) do flavonol **IV**



Anexo 68. Espectro de DEPT 135 º do flavonol IV (126 MHz – DMSO-d₆)



Anexo 69. Espectro de NOESY 1D δ_{H} 3,80 do flavonol IV (500 MHz – DMSO-d $_{6}$)